

V TOMTO SEŠITĚ

MACRO GROUP představuje  
AMD . . . . . 1

**PŘEVODNÍKY D/A 8 b**

Ideální převodník . . . . .	3
Převodník D/A, jeho konstrukce a funkce . . . . .	4
Nejdůležitější vlastnosti převodníků D/A . . . . .	5
Vlastnosti a použití převodníků D/A . . . . .	7
Převodníky řady MC1408, MC1508 . . . . .	7
Příklady použití MC1408 . . . . .	12
Převodníky D/A řady DAC-08 . . . . .	15
Funkce a vlastnosti . . . . .	15
Doporučená zapojení . . . . .	18
Monolitické převodníky D/A 8 b nestandardních řad . . . . .	26
Převodníky DAC90 . . . . .	26
Bipolární převodníky DAC336-8 . . . . .	28
Hybridní převodník řady HS3020 . . . . .	28
Převodníky řady 5018, 5118 . . . . .	30
Převodníky řady DAC-UP8B . . . . .	33
Převodníky řady NE5118 (5119), SE5118 (5119) . . . . .	34
Zdroje přesného referenčního napětí . . . . .	36
Přesný zdroj referenčního napětí řady REF-01 . . . . .	36
Inzerce . . . . .	40

**AMATÉRSKÉ RADIO ŘADA B**

*Vydavatel:* Vydavatelství MAGNET-PRESS, s. p., 135 66 Praha 1, Vladislavova 26, tel. 26 06 51.

*Redakce:* 113 66 Praha 1, Jungmannova 24, tel. 26 06 51. *Séredaktor L. Kalousek, OK1FAC, linka 354, sekretariát linka 355.*

*Tiskne:* Naše vojsko, tiskárna, závod 08, 160 05 Praha 6, Vlastní ulice 88/23.

*Rozšířuje* Poštovní novinová služba a vydavatelství MAGNET-PRESS s. p., Objednávky příjma každá administrace PNS, pošta, doručovatel a předplatitele sítě a administrace vydavatelství MAGNET-PRESS s. p., 113 66 Praha 1, Vladislavova 26, tel. 26 06 51-9. Poletní předplatné 29,40 Kčs. Objednávky do zahraničí vyrábí ARTIA, a. s., Ve směrcích 30, 111 27 Praha 1.

*Inzerci* přijímá osobně i poštou vydavatelství MAGNET-PRESS, inzerci oddělení, Jungmannova 24, 113 66 Praha 1, tel. 26 06 51-9, linka 294 a redakce AR. Za původnost a správnost příspěvku odpovídá autor. Nevyžádané rukopisy nevracíme.

ISSN 0139-7087, číslo indexu 46 044.  
Toto číslo má výjít podle plánu 22. 1. 1993.  
© Vydavatelství MAGNET-PRESS 1993

**ADVANCED MICRO DEVICES**



Advanced Micro Devices je jednou z pěti největších firem v USA, vyrábějících integrované obvody. Cílem nabídky firmy jsou výrobci zařízení pro personální, výpočetní, komunikační a „sítovou“ činnost (pro komunikační a počítačové sítě). AMD se specializuje na mikroprocesory a jejich periferie, na paměti, programovatelné logické součástky a na obvody pro telekomunikace, kancelářskou automatizaci a „sítové“ aplikace. Výrobky společnosti jsou stavěny na pokrokových technologiích jak CMOS a NMOS, tak bipolárních.

O rozsahu činnosti firmy a její úspěšnosti svědčí to, že na konci účetního roku 1991 (tj. 29. prosince), vykázala firma příjem 1,22 miliard dolarů.

**Historie**

AMD, jež má hlavní stan v Sunnyvale v Kalifornii, byla založena v roce 1969. Společnost byla založena původně s cílem působit jako alternativní „výrobní zdroj“, během času se však těžitě činnosti firmy změnilo – byl kladen důraz na to, aby se její působení přeneslo do těch oblastí, v nichž by byla činnost firmy co nejefektivnější, aby tak byly co nejlépe zhodnoceny investice vlastníků.

Zpočátku byla základní strategie firmy založena na přípravě stavebních bloků pro výrobce počítačových, přistrojových a telekomunikačních zařízení. Od svého vzniku se přitom AMD důsledně snažila o co nejvyšší standard jakosti svých výrobků při nezvýšených nákladech pro zákazníky.

S pokrokem v technologiích a promítnutím možností firmy ve výrobě do obchodních plánů se základní zaměření firmy postupně měnilo. Dnes je základním posláním společnosti zásobovat nejrůznější výrobce přístrojů a součástmi pro personální, komunikační, sítovou a výpočetní práci prostřednictvím vlastních řešení při využití technologií CMOS na křemíku a to v submikronové oblasti. Tato řešení obsahují hardware i software a ostatní podporující prostředky. AMD se prasazuje především svými vlastními patentovanými výrobky, proto je u firmy kladen velký důraz na výzkum a vývoj.

**Přehled činnosti**

AMD navrhuje, vyrábí a dodává velký komplex integrovaných obvodů a k tomu zaměstnává přibližně 11 200 lidí na celém světě.

Jak návrh a vývoj, tak samotná výroba jsou soustředěny do závodů AMD v Sunnyvale v Kalifornii, v Austrálii, v Tesaxu a smluvně i v San Antoniu (Texas). Testovací a montážní operace jsou vykonávány v Penangu v Malajsii, v Bangkoku ve Thajsku a v Singapuru.

Výrobky, které jsou určeny pro dodávky v Evropě a v Asii, se testují na zařízeních v Basingstoku v Anglii a v Atsugi v Japonsku.

Protože si vedení firmy od počátku uvědomovalo důležitost výzkumu a vývoje, bylo za 250 milionů dolarů vybudováno výzkumné středisko Submicron Development Center, které začalo plně pracovat podle plánu v roce 1991. Bylo umístěno blízko budovy vedení firmy v Sunnyvale. Toto výzkumné a vývojové středisko umožňuje AMD využít technologie výroby využitím náhravných prostředků na méně než 3 mikrony (mikrometrech), což dává předpoklady k tomu, že se AMD udrží jako konkurenčně schopná firma i do konce tohoto století.

**Strategie činnosti**

AMD je připravena zakládat a udržovat takové vztahy se zákazníky, které jsou a budou charakteristické pro úspěšné obchodní dodávky integrovaných obvodů v nadcházejících letech. Úspěšnost těchto vztahů, jak je firma praktikovala dosud, dokládá i fakt, že mezinárodní prodej odpovídá (v roce 1991) přibližně 55 % všech příjmů, mezi zákazníky byly světové firmy takových jmen jako NEC, IBM, Siemens, Digital Equipments Corporation, Hewlett-Packard, Apple Computer, AT & T, Sun Microsystems, LM Ericsson atd.

Jádrem úspěšných obchodních vztahů firmy AMD se staly mazatelné programovatelné paměti typu EPROM, programovatelné logické součástky PLD a mikroprocesory řady X86. Firma AMD je předním světovým výrobcem součástek PLD a největším světovým výrobcem paměti EPROM.

AMD vyrábí i průmyslové pětivoltové tranzistorové „buňky“ paměti flash a to za efektivní pořizovací cenu. Do budoucnosti se předpokládá, že k úspěšnému růstu firmy budou významnými přispěvky tři oblasti výrobků:

**Mikroprocesory**

Nabídka na trhu IBM kompatibilních PC obsahuje 32bitový mikroprocesor Am386™, 16bitové mikroprocesory a dvě verze mikroprocesorů s velkou hustotou integrace, ty integrují všechny komponenty originální základní desky počítače AT IBM v jednom integrovaném obvodu CMOS. Výroba mikroprocesoru Am486™ začne v roce 1993.

Procesor Am29000™ s redukovanou 32bitovou řadou instrukcí – výpočetový mikroprocesor RISC – je plánován pro obrovský procesorový trh do budoucna.

Am29000™ je ideálním prvkem pro použití ve velmi výkonných procesorových aplikacích, jako např. v laserových tiskárnách, řadičích grafiky a sítí atd., tj. všude tam, kde se vyžaduje výjimečná rychlosť a co nejvýhodnější poměr cena/výkon. Am29000™ je podpořen množstvím hardwarových a softwarových prostředků a vývojovými prostředky. Součástky RISC jsou průmyslově nejúspěšnějšími 32bitovými mikroprocesory pro pevně dané aplikace.

### Světové sítě

Svět se stává vzájemně propojený, počítače a telefony jsou klíčovými komponenty celosvětové komunikační sítě. Tato síť je sestavena ze vzdálených systémů, schopných přenášet obrazy, hlas i data současně a to s velkou rychlostí. Firma AMD nazývá toto spojování počítačů a sdělovacích prostředků „světový síťový systém“.

AMD pomáhalo razit cestu standardu lokální sítě ETHERNET a v současné době má v této oblasti jedno z vedoucích postavení na trhu. Nové, jednočipové provedení protokolu ETHERNET bude sloužit k řízení sítě ETHERNET na základní desce počítače.

Experti předvídají, že počítačové sítě Fiber Distributed Data Interface (FDDI) se budou těšit stejně explozivnímu rozšíření jako integrované obvody, které dělají tyto „superpevné“ sítě možnými. Sítě FDDI využívají k přenosu dat rychlosť 100 megabitů za sekundu vláknovou optiku (desetinásobné zlepšení oproti dnešním nejpopulárnějším sítím). AMD hraje klíčovou roli v zavádění standardu FDDI a je uznávanou světovou vůdčí firmou v oblasti výroby čipů FDDI. AMD také vybudovala a řídí moderní síťové testovací centrum (Advanced Networking Test Center, ANTC). Toto zařízení dovoluje obchodníkům, aby testovali přístroje FDDI z hlediska kompatibility. Centrum ANTC je jedním z pouze dvou takových zařízení v USA.

### Programovatelné logické součástky CMOS

AMD je největším světovým výrobcem PLD a rovněž vůdčí firmou v technologii. V bipolárních PLD, pracujících s rychlosťí 4,4 ns, nabízí firma AMD součástky, které jsou podrobeny tvrdým testům v celém rozsahu výroby. V CMOS PLD má AMD výrobní kapacity v místě, které firmě umožňuje úspěšně působit v oblasti obchodu s CMOS PLD (stejně jako na úseku bipolárních součástek).

### Filozofie firmy

Aby firma AMD byla na špičce jak po stránce řešení obvodů, tak po stránce jakosti, musí být ve světě na vedoucí pozici v návrhu, vývoji, výrobě, testování a samozřejmě i pokud jde o trh integrovaných obvodů, takže dává dostatečné prostředky jak na vývoj a výrobu, tak

např. na zkracování doby návrhu základních obvodů a snižuje náklady na výrobu důsledným sledováním efektivity práce a řešení vývojových úkolů.

AMD se snaží udržet si a rozšířit vedoucí postavení na trhu integrovaných obvodů inovacemi a zefektivněním nákladů na výrobu a hodlá se zaměřovat především na ty oblasti trhu, v nichž je nebo může být vedoucí firma.

AMD se stala akciovou společností v roce 1972 a od roku 1979 je zapsána do seznamu firem na newyorské burze tradičním symbolem AMD.

### SDC, Submicron Development Center „Submikronové“ vývojové středisko)

Schopnost vyrobit integrované obvody se submikronovým geometricky uspořádaným vedením představuje základní dělicí čáru, která v současné době odděluje dodavatele obchodně velmi úspěšných integrovaných obvodů od méně úspěšných.

Tuto situaci podporují uživatelé integrovaných obvodů, protože věří, že „submikronové geometrie“ jim poskytuje větší prospeč - menší rozdíly mezi vývýhými obvodů totiž dovolují, aby v jakémkoli prostoru daného čipu bylo vykonáváno mnohem více funkcí, což dělá čipy rychlejšími, výkonnějšími a levnějšími. Nižší náklady zabezpečuje i větší výtečnost při výrobě. Jinými slovy: Submikronová technologie umožňuje základním výrobce integrovaných obvodů, že mohou stavět výrobky, které jsou levné, kompaktnější a komplexnější i rychlejší, což ve svém důsledku snadněji vzbuzuje zájem konečného uživatele.

Submicron Development Center (SDC) vzniklo proto, aby předpokládaným výrobčům perzonálních, síťových, výpočetních a komunikačních zařízení mohla firma Advanced Micro Devices poskytnout možnost konstruovat zařízení co nejmodernější a to na submikronové bázi. SDC sousedí s budovou vedení AMD v Sunnyvale. K datu uvedení SDC do provozu přesáhl celkové investice do zařízení a přístrojů 250 miliónů dolarů.

### Proč „submikron“?

Průmyslových polovodičových součástek je počítan mezi základní výrobní odvětví. Snahou SDC je vyvinout co nejprogresivnější technologický proces, který by dovoloval moderní účinnou výrobu a co největší výtečnost. Návrh nového integrovaného obvodu bude samozřejmě po zásluze odměněn vždy, ale i ten nejchytřejší návrh je ve skutečnosti bezcenný bez technologického procesu, vykonávaného složitou litografickou cestou, při níž je možnost přesné podle vzoru leptání mnoha materiálů, nanášením a růstem vytvářet izolační plochy a vodiče, zavádět řízení do materiálů dotující prvky – to vše samozřejmě s vysokým stupněm přesnosti a operačních možností.

Uvedené dílčí operace představují zjednodušené základ výroby integrovaných obvodů. Tento soubor procedur zahrnuje systematické propojení mnoha detailních výrobních kroků, které mohou být úspěšně použity pro predokladu hlubokých znalostí všeho, co se týká výroby integrovaných obvodů a funkčních schopností dosažitelného

přístrojového vybavení. Při splnění posledně jmenovaných předpokladů je potom možné uvažovat o zvýšení výkonu té či oné součástky růstem hustoty jejich komponentů a o současně redukcí výrobních nákladů.

### Budoucnost je ve zmenšování

Centrum se stalo plně funkčním podle plánu v roce 1991. Za dobu (kratší než jeden rok), po níž je v činnosti, se podařilo vyrobit první křemíkové „plátky“ pro mazatelné programovatelné paměti typu EPROM technologií CMOS tzv. 0,85 mikronovou. V současné době SDC je schopné předvést vývojové verze třívrstvové „metalové“ logiky na bázi 0,7 mikronové technologie a paměťové součástky, které jsou charakterizované 0,5 mikronovými rozdíly. K dispozici jsou i vzorky, jejichž případná výroba bude charakterizována rozdíly 0,25 mikronu (1 mikron = 1 mikrometr =  $10^{-6}$  m). Pro představu: Typická průměrná tloušťka lidského vlasu je asi 100 μm, 100 mikronů.

V roce 1975 představovaly průmyslový standard technologické procesy pěti až 8 mikronové. V roce 1975 byla např. standardní výrobtelná šířka spoje obvykle asi 2 mikrony. Dnes jsou průmyslovým standardem technologie submikronové.

O jak složité problémy jde, vysvitne z názorného příkladu: Představme si schopný technologický proces ekvivalentní běžnému leptání, jímž bychom chtěli v jednomikronové technice vytvořit komplexní silniční mapu Manhattenu na hlavičce špendlíku. Když tato „automapa“ byla skutečným integrovaným obvodem, muselo by být „narovnáno“ na sebe několik čipů podobné složitosti, které by pak byly vzájemně propojeny množstvím spojů.

### Specifikace činnosti SDC

SDC kromě toho, že inovuje průběžně existující technologie, aby se mohlo co nejdokonaleji využít jejich možností, věnuje pozornost i zcela novým a netradičním řešením. To, na co je však kladen v SDC největší důraz, je tzv.

#### program budování čistoty.

Největším nepřítelem všech účinných výrobních operací jsou totiž kontaminující částice. Jak se zmenšují geometrické rozdíly, spojují a části integrovaných obvodů, cizí částice, které jsou velmi malé, interferují s méně pokročilými výrobními operacemi a musí s nimi být počítáno. Proto musí mít tzv. čisté prostory Centra méně než jednu částici na krychlovou stopu (1 stopa, foot, ft = 0,3048 m, 1 krychlová stopa, 1 cu.ft = 0,028 m<sup>3</sup>), přitom tyto částice jsou i menší než 0,1 μm. Programu „budování čistoty“ bylo věnováno obrovské úsilí, neboť bylo zřejmé, že čistota je prvním předpokladem úspěšné submikronové výroby. Když pracovníci SDC začali vyrábět první křemíkové plátky, byli oblečeni ve speciálních pracovních úborech a pracovali v nejcistších prostorách na světě.

Stejně jako bylo nutné zajistit „čistotu vzduchu“, musela být zajištěna čistota používané deionizované vody. Extrémní čistoty vody se dosahuje i čištěním vody ozónem, který vodu steriluje a zbabuje ji bakterií, čímž se zabráňuje jejich biologickému růstu, který by mohl probíhat při některých výrobních operacích.

(Dokončení na str. 40)

# PŘEVODNÍKY D/A 8b

Vítězslav Stříž

**Zpracování signálů v analogových systémech se v přibývající mře provádí moderní číslicovou technikou. Tento trend podstatně nabývá na významu v důsledku rozvoje oboru mikroprocesorové techniky. Souhra mezi analogovými vstupními a výstupními funkcemi a číslicovým zpracováním signálů však vyžaduje číslicově-analogové meziobvody, které vyžadují použití zvláštních převodníků.**

Podle „směru“ funkce rozdělujeme analogově-číslicové převodníky, které přeměňují analogové signály na signály číslicové a číslicově-analogové převodníky, které naopak přeměňují číslicové signály na analogové informace.

Podle způsobu, v němž se přivede číslicový signál na vstup číslicově-analogového převodníku (dále jen převodníku D/A), můžeme rozdělit převodníky D/A na paralelní a sériové. Paralelní převodník má totiž vstupu, kolik mají zpracovávaná číslicová slova délku v bitech. Každé slovo bude vloženo paralelně, tj. všechny bity slova budou současně přivedeny na vstup a současně převodníkem zpracovány.

Sériové převodníky naproti tomu potřebují jen jeden vstup, na který se přivádějí jednotlivé a postupně bity číslicového slova bit po bitu. K ohrazení jednotlivých bitů je u tohoto druhu převodníku nutný přídavný hodinový signál.

Do nedávna se používaly převodníky A/D a D/A jen sporadicky a jejich prodej, stejně jako sortiment, byl poměrně malý. Na trhu se vyskytovalo mnoho speciálních typů převodníků, jejichž charakteristikou vlastnosti byla nezvykle vysoká cena. Převodníky se vyráběly téměř výlučně modulovou nebo hybridní technikou v pouzdrech s vnějšími rozměry 100 × 50 × 12 až 15 mm nebo i většími.

Během několika posledních let se tento stav podstatně změnil. Inovace probíhající v elektronice, ale především rychlý rozvoj mikroelektroniky, jednoduché a nenákladné zpracování číslicových signálů současně s rychle se rozvíjejícím trhem mikroprocesorů, vyvolala požadavky na kvalitní a levné převodníky A/D a D/A. Požadavky na vysoké kvalitní systémy bylo možné zajistit jen číslicovým způsobem. Hlavní úkol převazal výrobci integrovaných obvodů. Výsledek na sebe nedal dlouho čekat. Dlouhodobé zkušenosti z výroby monolitických křemíkových integrovaných obvodů se projevily i ve výrobě převodníkových obvodů. Dnes jsou k dispozici převodníkové integrované obvody s rozlišením 8, 10, 12, 16 i více bitů, vyrobené monolitickou bipolární nebo unipolární technologií, tak jako jiné druhy integrovaných obvodů. To vše technicky na vyšší úrovni a za podstatně nižší ceny než výrobků jiných technologií.

## Převodníky D/A

Číslicové analogový převodník je součástka, která převádí číslicové vstupní informace na odpovídající analogovou výstupní in-

formaci. Výstupní informace je k dispozici ve tvaru výstupního napětí nebo výstupního proudu.

V následujících odstavcích budou pojednávány pouze paralelní převodníky D/A, neboť většina současně používaných sběrnicových systémů spolupracuje pouze s paralelními číslicovými informacemi.

Výstup převodníku D/A může na základě přiřazení k číslicovému kódům převzít jen zcela určité pevné hodnoty uvnitř předem daného rozsahu. Jde tedy o kvantizovaný signál. Počet možných analogových výstupních hodnot, popříp. vzdálenost mezi dvěma sousedními hodnotami jsou určeny počtem možných číslicových slov (bitové kombinace).

Ve spojení s převodníky budeme pracovat s nejdůležitějším kódem – jednotlivým bitům číslicového slova se budou přidávat rozdílné faktory. Dále popisované převodníky pracují v binárním kódě, který je nejpoužívanějším a nejdůležitějším kódem vůbec. Binárně kodované slovo má tvar

$$B_N \cdot 2^N + B_{N-1} \cdot 2^{N-1} + \dots + B_2 \cdot 2^2 + B_1 \cdot 2^1 + B_0 \cdot 2^0$$

kde bitové součinitele  $B_N$  až  $B_0$  mohou mít hodnotu 0 nebo 1 (tedy přibližně úroveň L nebo H).

Délka slova u nejpoužívanějších převodníků činí 8 bitů. Tím je možné zobrazit 256 diskrétních hodnot. Je-li např. celkový možný rozsah hodnot analogového výstupu přiřazen napěťovému zdvihu 5 V, bude činit odstup mezi dvěma sousedními analogovými hodnotami 19,6 mV.

Kódy používané ve spojení s převodníky D/A a A/D jsou jen krátce uvedeny v tabulce 1 na příkladu převodníku s rozlišením 3 bitů.

Tab. 1. Používané kódy u převodníků A/D a D/A na příkladu převodníku 3 b

A/D	Vstup	Výstup			Vstup	Výstup		
D/A	Výstup	Vstup			Výstup	Výstup		
Kód	Unipolární	Binární			Bipolární	Offset binární		
		bit 1 (MSB)	bit 2	bit 3 (LSB)		bit 1 (MSB)	bit 2	bit 3 (LSB)
		FS - 1 LSB	1	1	1	+ (FS - 1 LSB)	1	1
		FS - 2 LSB	1	1	0	+1/2 FS	1	1
		1/2 FS + 1 LSB	1	0	1	+1 LSB	1	0
		1/2 FS	1	0	0	0	1	0
		1/2 FS - 1 LSB	0	1	1	-1 LSB	0	1
		1/2 FS - 2 LSB	0	1	0	-1/2 LSB	0	1
		1 LSB	0	0	1	-(FS - 1 LSB)	0	0
		0	0	0	0	-FS	0	0

Zda je číslicová veličina vstupní či výstupní veličinou, určuje druh použitého převodníku (A/D nebo D/A). Kód je jednoduše realizovatelný a může se početně snadno vyjádřit. Má-li převodník zpracovávat analogové hodnoty mezi -FS a +FS - 1 LSB nebo mezi 0 a FS - 1 LSB, lze přímo určit vnějším zapojením použité převodníkové součástky.

## Ideální převodník D/A

Za předpokladu, že převodník D/A dodává unipolární výstupní napětí  $U_0$  a že na jeho vstup je přivedena číslicová informace v binárním kódě, platí

$$U_0 = U_{FS} (B_1 \cdot 2^{-1} + B_2 \cdot 2^{-2} + B_3 \cdot 2^{-3} + \dots + B_n \cdot 2^{-n})$$

kde  $B_1$  je nejvyšší platný bit (MSB),  $B_n$  nejnižší platný bit (LSB). Bity  $B_1$  a  $B_n$  mohou mít hodnotu 1 nebo 0 (úroveň H nebo L). Nejmenší ještě možná velikost napětí (popříp. proudu), kterou může ještě převodník zpracovat, určuje jednotlivé intervaly. Nejmenší možný krok, který je určen tolerancemi součástky, je označován jako LSB (Least Significant Bit) – nejnižší platný bit, tedy údaj nejnižšího stupně. Odtud se rovná

$$1 \text{ LSB} = U_{FS} \cdot 2^{-n}$$

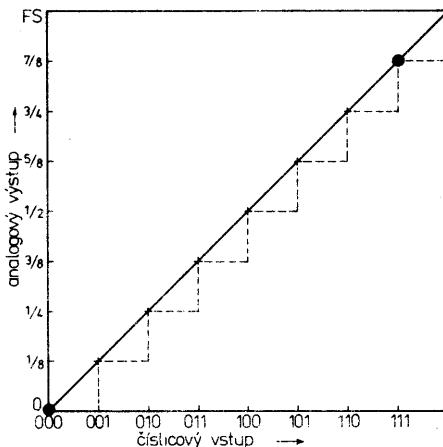
Maximální výstupní napětí dostaneme, jsou-li všechny bity rovny 1:

$$U_0 = U_{FS} \left( \frac{2^n - 1}{2^n} \right) = U_{FS} - 1 \text{ LSB}$$

U převodníku s rozlišením  $n$  bitů dostaneme na výstupu počet stupňů  $2^n - 1$  a plná stupnice tak bude FS - 1 LSB.

Přibližně (kvazi) dosažitelnou analogovou hodnotu (pro plnou stupnici) označujeme FS a vedoucí bit (nejvyšší platný bit) M&B (Most Significant Bit). Po přivedení MSB na vstup převodníku D/A dostaneme na jeho analogovém výstupu stav FS/2.

Přenosová charakteristika ideálního převodníku D/A s rozlišením 3 b je znázorněna na obr. 1. Přivedením každého z osmi čísli-



Obr. 1. Přenosová charakteristika ideálního převodníku D/A 3 b. Oba velké body se v praxi definují vyvážením

cových dat na vstup dostaneme odpovídající analogový výstupní údaj, který představuje jeden bod na přenosové charakteristice. V ideálním případě leží všechny body přesně na čárkováném přímce. Zatím však neuvažujeme vliv doby ustálení, kterou převodník potřebuje ke své funkci.

Máme-li převodník D/A 3 b s konečnou velikostí pro plný rozsah  $U_{FS} = 2,5 \text{ V}$ , jsou dány následující data vztahy:

Za předpokladu, že  $N =$  desítkové číslo na vstupu převodníku přivedeného číslicového kódu, platí:

$$U_{ON} = U_{FS} (B_1 \cdot 2^{-1} + B_2 \cdot 2^{-2} + B_3 \cdot 2^{-3})$$

$$U_{O7} = 2,5 \text{ V} \left( \frac{1}{2} + \frac{1}{4} + \frac{1}{8} \right) =$$

$$= 2,5 \frac{7}{8} \text{ V} = U_{FS} - 1 \text{ LSB}$$

$$U_{O4} = 2,5 \text{ V} \left( \frac{1}{2} + 0 + 0 \right) =$$

$$= 2,5 \frac{1}{2} \text{ V} = \text{MSB}$$

$$1 \text{ LSB} = \frac{U_{FS}}{2^n} = \frac{2,5 \text{ V}}{2^3} = 0,3125 \text{ V.}$$

Počet stupňů převodníku =  $2^n - 1 = 8 - 1 = 7$ .

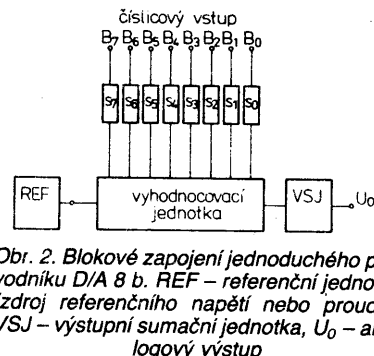
### Převodník D/A, jeho konstrukce a funkce

Převodníky D/A se v podstatě skládají ze čtyř stavebních skupin:

- binární spínací jednotky pro bitové součinitele  $B_N$  až  $B_0$ ,
- zdroje referenčního napětí,
- vyhodnocovací jednotky,
- výstupní součtové jednotky.

Převodníky, slučitelné s mikroprocesorovými systémy, jsou zpravidla rozšířeny ještě o vstupní paměť, popříp. další speciální stupně.

Zdroj referenčního napětí, popříp. proud je v systému převodníku uspořádán vždy jako oddělená část obvodu, která se často realizuje jako samostatný zvláštní obvod. Závisí to především na skutečnosti, že na jedné straně nelze splnit všechna přání uživatele pomocí jediného referenčního napětí, na druhé pak pro mnohá použití (např. násobiče) není referenční napětí případně vůbec potřebné. Všechny ostatní



Obr. 2. Blokové zapojení jednoduchého převodníku D/A 8 b. REF – referenční jednotka (zdroj referenčního napětí nebo proudu), VSJ – výstupní sumární jednotka,  $U_0$  – analogový výstup

imenované jednotky jsou však pevnými součástkami jediného integrovaného obvodu.

Na obr. 2 a 3 jsou znázorněna zjednodušená bloková zapojení jednoduchého převodníku D/A s rozlišovací schopností 8 b a tétož převodníku slučitelného s mikroprocesorovými systémy. Oba obvody se odlišují pouze vstupní záhytnou pamětí. Protože zapojení převodníku podle obr. 3 obsahuje všechny stavební skupiny, poslouží nám jako základ pro výklad konstrukce a funkce převodníkového obvodu.

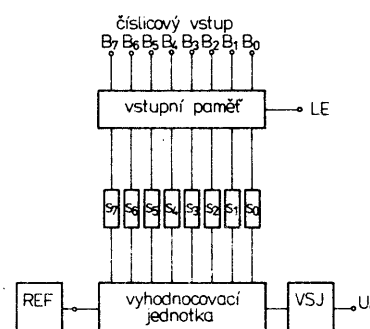
Bitové součinitele  $B_7$  až  $B_0$  vstupního číslicového slova se přivádějí na osm vstupů převodníku. Je-li vstup uvolnění strádače LE ve stavu úrovně H, může projít číslicové slovo přes paměť až na spínací jednotku  $S_7$  až  $S_0$ . Změní-li se nyní úroveň signálu na vstupu LE na nízkou úroveň L, zůstane obsaženo číslicové slovo v paměti a dále působí na spínací jednotku. Právě vstupující změny signálu na vstupy nemají nyní žádný účinek.

Vyhodnocovací jednotka vyrábí osm binárně odstupňovaných dílčích proudů (v poměru 128 : 64 : 32 : 16 : 8 : 4 : 2 : 1), které podle hodnoty bitových součinitelů  $B_7$  až  $B_0$  jsou propojeny přes spínací jednotku  $S_7$  až  $S_0$  buď na výstupní součtovou jednotku ( $B_N$  je v úrovni H) nebo na zem ( $B_N$  v úrovni L). Výstupní součtová jednotka je v nejjednoduším případě uzel obvodu, v němž se vytvoří součet všech dílčích proudů. Může však být použit i operační zesilovač, který přemění výstupní proud na výstupní napětí.

Hodnota dílčích proudů se získává z referenčního proudu  $I_{REF}$ , předávaného referenční jednotkou na vyhodnocovací jednotku. Referenční proud  $I_{REF}$  je závislý na výstupním proudu  $I_0$  podle vztahu

$$I_0 = I_{REF} \left( \frac{B_7}{2} + \frac{B_6}{4} + \dots + \frac{B_2}{64} + \frac{B_1}{128} + \frac{B_0}{256} \right) \quad (1).$$

Bitové součinitele  $B_7$  až  $B_0$  určují svou úrovní (0 nebo 1) výstupní proud. Jsou-li všechny



Obr. 3. Blokové zapojení převodníku D/A 8 b, slučitelného s mikroprocesory. REF – referenční jednotka, VSJ – výstupní sumární jednotka, LE – vstup uvolnění strádače

součinitely v úrovni 0 (úroveň = L), je výstupní proud rovněž 0. Jsou-li všechny součinitely rovny 1 (úroveň = H), platí

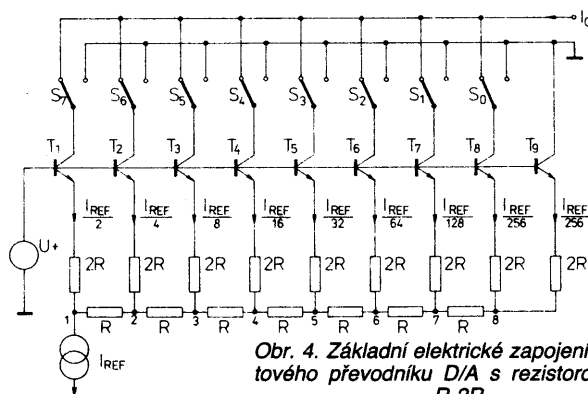
$$I_0 = \frac{255}{256} I_{REF} \quad (2).$$

Popsaným způsobem vzniká na výstupu analogový ekvivalent vstupního číslicového slova.

K realizaci vyhodnocovací jednotky, která v podstatě určuje přesnost funkce převodníku D/A, je možné využít různých možností (vyhodnocovací rezistory, odstupňované dílčí proudy apod.), z nichž se z hlediska technologie integrovaných obvodů jeví jako nejvhodnější rezistorová síť R-2R. Souvise to též s tím, že pro tu jednotku jsou potřebné pouze dva rezistory se vzájemným poměrem 2 : 1. Nejde tedy v tomto případě o absolutní přesnost (toleranci) použitých rezistorů, ale o přesnost relativní. Uvedené řešení má přednost potud, že rezistory stejného rádu s malými relativními tolerancemi je možné integrovanou technikou vyrobit poměrně snadno a dobře.

Na obr. 4 je znázorněno základní zapojení převodníku D/A s rezistorovou sítí R-2R. Protože tranzistory  $T_1$  až  $T_9$  svými rozměry odpovídají proudovému zatížení, dosahuje se ve spojení se společným napětím báze všech tranzistorů toho, že emitor je na stejném potenciálu. Tato úprava slouží k tomu, aby se nastavilo žádané rozdělení proudu v rezistorové jednotce.

Referenční proud  $I_{REF}$  se rozděluje v uzlovém bodě 1 v poměru odporů obou rezistorů, připojených v tomto bodě. Jeden rezistor je zapojen jako diskrétní rezistor 2R, druhý je tvoren zbyvající rezistorovou sítí R-2R. Vydělíme-li z bodu 8, nacházíme upravo vedle každého uzlu rezistor 2R. Ten tvoří spolu s nahoru odbočujícím rezistorem 2R paralelní odpór R. To současně znamená, že v tomto uzlovém bodě doleva protékající proud



Obr. 4. Základní elektrické zapojení osmibitového převodníku D/A s rezistorovou sítí R-2R

bude mít poloviční velikost. K tomuto paralelnímu zapojení se přičítá doleva odbočující sériový rezistor  $R$ , takže od nejbližšího levého uzlového bodu (7) vychází opět odpor  $2R$ . Tedy i v tomto bodě bude mít doleva protékající proud poloviční velikost. Stejným způsobem můžeme pokračovat až k bodu 1. Z toho můžeme odvodit, že se referenční proud rozděluje následovně:

V uzlovém bodu 1 vznikají dva proudy  $I_{REF}/2$ , v bodě 2 dva proudy  $I_{REF}/4$  atd. až do uzlového bodu 8, kde vystupují dva proudy  $I_{REF}/256$ . Tím jsou splněny dva základní vztahy (1) a (2) vzhledem k proudovému rozdělení za podmínky, že poslední dílčí proud  $I_{REF}/256$  musí protékat tranzistorem  $T_9$  k zemi.

Tranzistory  $T_1$  až  $T_8$  zaručují nejen stejný potenciál na rezistorech  $2R$ , ale oddělují též rezistorovou síť od spínačí jednotky  $S_7$  až  $S_0$ . Na kolektorech tranzistorů  $T_1$  až  $T_8$  mohou být libovolná napětí v širokých mezích, aniž by se napětí na rezistorové síti měnilo. Tímto způsobem se zamezí tomu, aby parazitní kapacity ve vyhodnocovací jednotce mohly měnit náboj, což by se mohlo v rušivých špičkách (zvaných též glitches – změny průběhu s krátkým trváním a neurčitého původu) projevovat na výstupním proudu.

Na kolektorech tranzistorů  $T_1$  až  $T_8$  lze odebírat binárně rozdělené dílčí proudy, které v závislosti na stavu sepnutí spínačů  $S_7$  až  $S_0$  mohou protékat přes výstup  $I_O$  nebo zemní vývod. Tím se realizuje rovnici (1) stanovený vztah mezi výstupním a referenčním proudem. Většina převodníků D/A, které budeme dále popisovat, pracuje na popsaném principu funkce. Odlišují se jen konceptem vlastního obvodu.

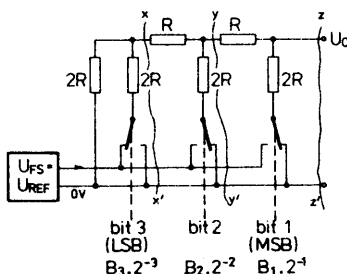
Jak je z obr. 4 patrné, mohou se vývody spínačů  $S_7$  až  $S_0$ , které jsou připojeny na zemní potenciál, sloučit a používat jako invertované výstupy  $I_O$ . Kolektor tranzistoru  $T_9$  musí být nadále připojen na zemní potenciál.

Vedle provozu s pevným referenčním proudem mohou mnohé převodníky D/A pracovat s proměnným referenčním proudem a podle okolnosti případně se střídavým referenčním proudem. Tento druh převodníků je nazýván násobící převodník D/A, neboť dovoluje, což lze na vztahu (1) lehce dokázat, násobení analogových veličin (představovaným proudem  $I_{REF}$ ) číslicovými veličinami (představovanými číslicovým slovem  $B_7$  až  $B_0$ ). Výsledek je pak k dispozici na výstupu převodníku D/A v analogovém tvaru. Násobící převodník je vedle „čistého“ převodníku D/A nejvíce používaným typem převodníku D/A.

### Rezistorová síť tříbitového převodníku

Vraťme se však k našemu tříbitovému převodníku. Praktická realizace převodníku D/A s rezistorovou sítí R-2R pro tříbitový převodník je znázorněna na obr. 5. Přes spínače  $S_1$  až  $S_3$  budou spojeny rezistory  $2R$  buď se zemním potenciálem ( $B_n = 0$ ) nebo s referenčním napětím  $U_{REF}$  ( $B_n = 1$ ). Přenos rezistorové sítě spočívá v technologii integrovaných obvodů v poměru rezistorů 1 : 2. Rezistorová síť R-2R je vhodná pro monolitické obvody až do rozlišovací schopnosti 8 bitů. Referenční napětí  $U_{REF}$ , které je nutné u všech druhů převodníků, odpovídá napětí  $U_{FS}$ .

Přerušíme-li rezistorovou síť v bodech x-x', y-y' a z-z', a pozorujeme-li obvod smě-



Obr. 5. Rezistorová síť R-2R se spínači a zdrojem referenčního napětí tříbitového převodníku

$$I_{OS} = \frac{U_{REF}}{2R}$$

$$U_{ON} = \frac{U_{REF}}{2}$$

$$R_i = R$$

$$I_{OS} = \frac{U_{REF}}{4R}$$

$$U_{ON} = \frac{U_{REF}}{4}$$

$$R_i = R$$

$$I_{OS} = \frac{U_{REF}}{8R}$$

$$U_{ON} = \frac{U_{REF}}{8}$$

$$R_i = R$$

Obr. 6. Náhradní obvody zjednodušených obvodů podle obr. 4. a – v řezu x-x', b – v řezu y-y', c – v řezu z-z'

$I_{OS}$  – zkratový proud obvodu,  $U_{ON}$  – výstupní napětí obvodu naprázdno,  $R_i$  – vnitřní odpor

rem doleva, můžeme odvodit následující náhradní obvody podle obr. 6. Spínač  $S_3$  je připojen na referenční napětí, oba další spínače  $S_2$  a  $S_1$  jsou spojeny se zemí. Tím je dáný výstupní napětí

$$U_O = U_{REF} \cdot 2^{-3}$$

Odtud je možné odvodit, že

$$U_O = U_{REF} \cdot 2^{-2} (S_1 = 0, S_2 = 1, S_3 = 0)$$

$$U_O = U_{REF} \cdot 2^{-1} (S_1 = 1, S_2 = 0, S_3 = 0)$$

Proložíme-li jednotlivá odvozená výstupní napětí, dojde k očekávanému výsledku

$$U_O = U_{REF} (B_1 \cdot 2^{-1} + B_2 \cdot 2^{-2} + B_3 \cdot 2^{-3})$$

Všeobecně pak platí

$$U_O = U_{FS} (B_1 \cdot 2^{-1} + B_2 \cdot 2^{-2} + B_3 \cdot 2^{-3} + x \cdot B_n \cdot 2^{-n})$$

Vnitřní odpor rezistorové sítě  $R_i$  je roven  $R$ . Zatíží-li se rezistorová síť vnějším zatěžovacím odporem  $R_L$ , platí

$$U_O = \frac{R_L}{R + R_L} U_{REF} (B_1 \cdot 2^{-1} + B_2 \cdot 2^{-2} + B_3 \cdot 2^{-3})$$

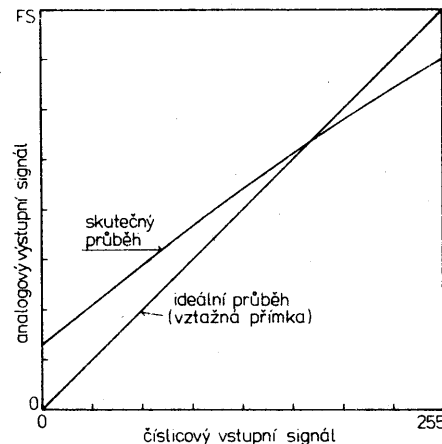
### Nejdůležitější charakteristické vlastnosti převodníků D/A

Charakteristické vlastnosti převodníků D/A jsou určovány několika parametry – přenosností, rychlostí a stabilitou.

#### Přenosnost

Při dosavadním sledování funkcí převodníku D/A jsme vycházeli z vlastností ideálního převodníku. V praxi se však ideální převodník nevykazuje. Naopak, na vlastnosti převodníku působí řada jiných vlivů, které jeho vlastnosti více či méně zhoršují. Jsou to např. tolerance odporu rezistorové sítě R-2R, vnitřní odpory proudových a napěťo-

vých zdrojů a ovšem též odpor v propustném a závěrném směru spínačů  $S_7$  až  $S_0$ . V praxi se tedy vyskytují odchyly výstupní charakteristiky převodníku ve srovnání s ideálním průběhem. Na obr. 7 je znázorněna ideální a pro srovnání v praxi obvyklá skutečná výstupní charakteristika převodníku. Zde je

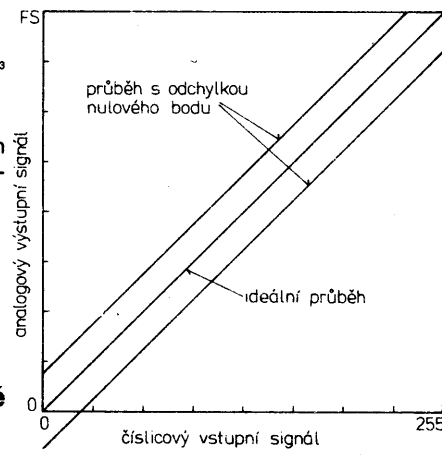


Obr. 7. Praktická výstupní charakteristika nevyváženého systému převodníku D/A

třeba upozornit, že výstupní charakteristika na obr. 7 a dalších obrázcích, znázorněna jako plynulá funkce, má ve skutečnosti jemně odstupňovaný stupňovitý průběh s 255 stupni. Odchyly výstupní charakteristiky se mohou ve srovnání s ideálním průběhem rozdělit do tří skupin:

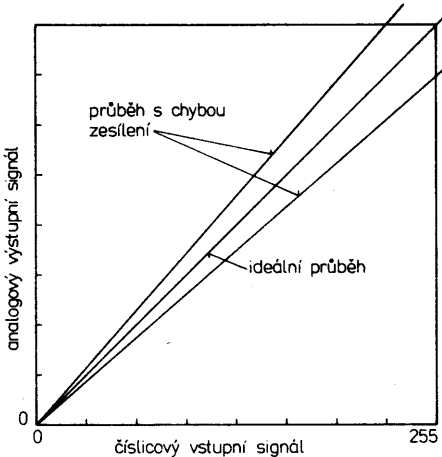
#### 1. Odchylka nulového bodu

Jako odchylku nulového bodu označujeme velikost výstupního napětí, posunutou v nulovém bodě vůči přenosové charakteristice, je-li na vstupu číslicové slovo 0. Odchylku nulového bodu způsobuje paralelní posunutí výstupní charakteristiky vlevo nebo vpravo od nulového bodu (viz obr. 8). Příci-



Obr. 8. Odchylka nulového bodu výstupní charakteristiky

nou jsou přechodové odpory vývodu pouzdra, svaru vývodů a offsetové napětí analogového spínače. Není-li chyba nulového bodu vztažena k úrovni 0, vzniká konstantní absolutní chyba přenosové charakteristiky.



Obr. 9. Pootočení výstupní charakteristiky okolo nulového bodu vlivem chyby zesilovače

### 2. Chyba zesilovače

Chybou zesilovače se označuje odchylka výstupního signálu od ideální velikosti, je-li na vstupu převodníku číslicové slovo 255. Chyba zesilovače způsobuje pootočení výstupní charakteristiky okolo nulového bodu, jak je patrné z obr. 9. Způsobují ji rozdílné velikosti zesilovače a teplotní součinitel součástek. Chyba se udává zpravidla v jednotkách ppm/K, nebo též  $n \cdot 10^{-6}/K$ .

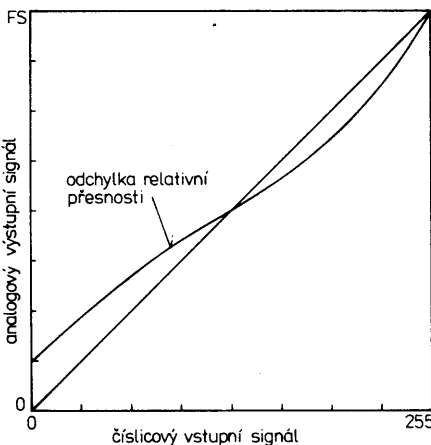
### 3. Nelinearity

O chybě nelinearity se zmíníme pro úplnost. Zavírá ji skutečnost, že výstupní charakteristikou je obecně přímka, ale poněkud zvlněná, popř. navíc zakřivená. Odchylku od nulového bodu a chybu zesilovače můžeme vyvážením vnějšími součástkami vyleminovat. Nelinearitu převodníku však vyrovnat není možné. Pod pojmem nelinearity rozumíme maximální odchylku od ideální přímky v nulovém a konečném bodě. Je-li tato chyba specifikovaná uvnitř rozsahu  $\pm 1/2$  LSB, je převod přípustný uvnitř šrafováného pásma na obr. 10. Bude-li však přenosový bod mimo šrafovovanou oblast, ne splňuje převodník žádané vlastnosti. Může se stát, že převodník ve vztahu k nelinearitě je mimo požadované vlastnosti, přesto však

ještě splňuje požadavek na monotonii (viz obr. 10).

### Relativní přesnost

Pod pojmem relativní přesnost rozumíme maximální odchylku výstupní charakteristiky definovaného převodníku od přímky, která spojuje podle obr. 11 nulový bod s příslušným údajem výstupního signálu a to za podmíny přivedený číslicového slova 255 na vstup převodníku (pro FS). Převodník je při měření provozován s udaným referenčním proudem podle katalogového listu výrobce (např. 2 mA).



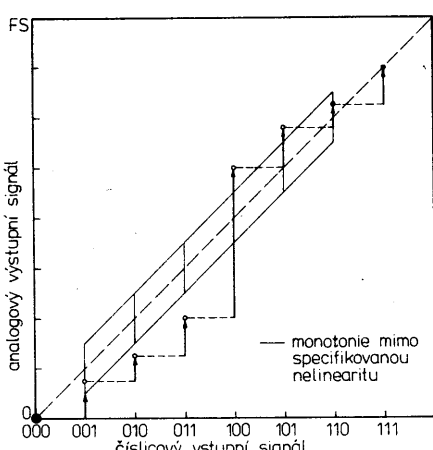
Obr. 11. K definici relativní přesnosti: Maximální odchylka výstupní charakteristiky převodníku D/A od přímky, způsobená přivedením číslicového slova 255 na vstup převodníku

### Linearita

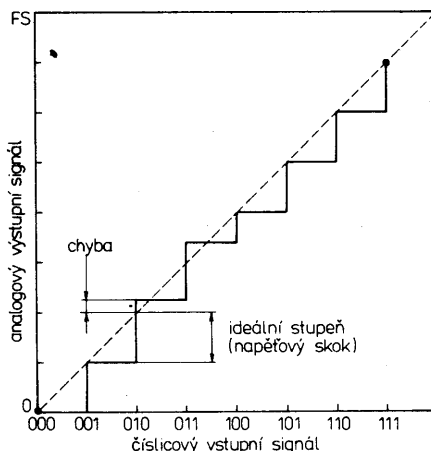
Pojem linearita v podstatě odpovídá pojmu relativní přesnost. Může být stanovena tak, aby se projevila nejmenší odchylka skutečně platné charakteristiky převodníku. V technických údajích převodníků D/A některých výrobců se tento pojem (linearita) nevykazuje (např. v katalogových listech firem Signetics, Valvo, Philips, Motorola aj.).

### Rozdílová nelinearity

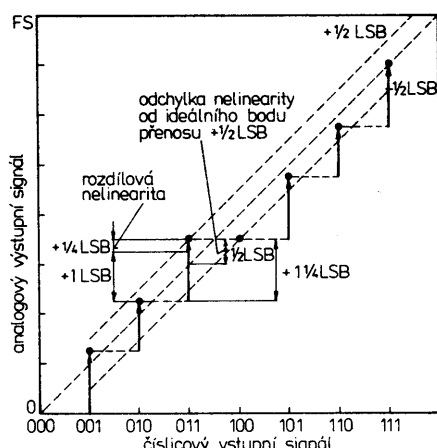
Rozdílová nelinearity udává chybu skutečného výstupního stupňovitého signálu, vztázeného na jmenovitou velikost stupňovitého signálu, vyvolanou změnou na číslicovém vstupu o 1 LSB (tedy o jeden bit s nejnižší platností). Grafické znázornění rozdílové nelinearity je uvedeno na obr. 12.



Obr. 10. Nelinearity na příkladu převodníku D/A 3 b. Tučnou čárou je vyznačena monotonie, která je však mimo specifikovanou oblast nelinearity



Obr. 12. Definice rozdílové nelinearity



Obr. 13. Rozdílová nelinearity ve srovnání s nelinearity. Ačkoliv přenosové body leží uvnitř hranic nelinearity ( $\pm 1/2$  LSB) specifikovaného převodníku D/A, přesto nemá převodník monotonou vlastností

Jinak řečeno, tento údaj specifikuje odchylku dvou sousedních stupňů proti skutečné přenosové funkci. Odchylka se označuje, podobně jako u nelinearity, hodnotou LSB (viz obr. 13). Při zobrazování přenosové charakteristiky se vychází z předpokladu, že převodník má následující chyby:

- bit 1 (MSB)  $-1/2$  LSB,
- bit 2  $+1/4$  LSB,
- bit 3 (LSB)  $+1/4$  LSB.

K lepšemu objasnění rozdílu mezi nelinearity a rozdílovou nelinearity jsou v tabulce 2 sestaveny chyby mezi jednotlivými body přenosové charakteristiky.

Tab. 2. Sestava chyb nelinearity a rozdílové nelinearity pro grafickou závislost podle obr. 13

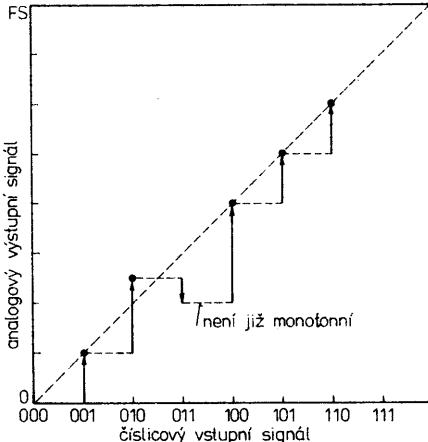
Číslicový kód	Rozdílová nelinearity	Nelinearity
000	-	0
001	$+1/4$ LSB	$+1/4$ LSB
010	0	$+1/4$ LSB
011	$+1/4$ LSB	$+1/2$ LSB
100	$-1$ LSB	$-1/2$ LSB
101	$+1/4$ LSB	$-1/4$ LSB
110	0	$-1/4$ LSB
111	$+1/4$ LSB	0

### Monotonie

Chování převodníku D/A se označuje jako monotonní, jestliže se výstupní signál s přírůstkem velikosti číslicového slova na vstupu trvale zvětšuje, popř. zůstane stejný. Změna výstupního signálu o 1 LSB musí vyvolat zvětšení výstupního signálu, jinak se stává převodník nemonotonním. Podle této definice většina výrobců hodnotí své převodníky pro praktické uplatnění. Průběh výstupního signálu na obr. 14 předvádí monotonní průběh funkce. Převodník se však chová jako nemonotonní, jestliže se při změně vstupního signálu o 1 LSB (např. při změně číslicového vstupního slova z 010 na 011) výstupní signál nezvětší. S jistotou se může očekávat, že monotonou vlastnosti převodníku nastanou vždy, bude-li rozdílová nelinearity menší než 1 LSB.

### Rozlišovací schopnost

Rozlišovací schopnost závisí na nejmenším možném kroku (LSB), při němž může převodník D/A (stejně jako převodník A/D)

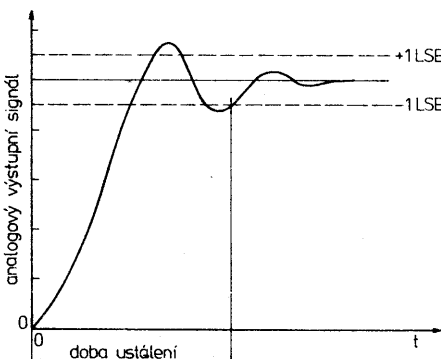


Obr. 14. Nemonotonní průběh výstupní charakteristiky

ještě zpracovávat signál. Se stoupajícím počtem bitů převodníku se zvětšuje jeho rozlišovací schopnost. Rozlišovací schopnost však vůbec nic neříká o odchylkách od ideální přenosové charakteristiky.

### Rychlosť

Úkolem převodníku D/A není jen pokud možno co nejpresněji přeměnit vstupní číslicový signál na signál analogový, ale tento převod má proběhnout v co nejkratším čase. Zpoždění signálu, které při převodu signálů vzniká, je označováno jako doba ustálení. Pod tímto pojmem se udává časový úsek od okamžiku přivedení číslicového slovního kódu až do doby, kdy se na výstupním signálu již více nemění stanovená hranice **toleranci**. Ponejvíce to bývá omezeno tolerancí  $\pm 1$  LSB. Doba ustálení je graficky definována na obr. 15. Údaj doby ustálení se vždy vztahuje na určité zkušební podmínky a je podle okolnosti závislý na zapojení výstupu převodníku.

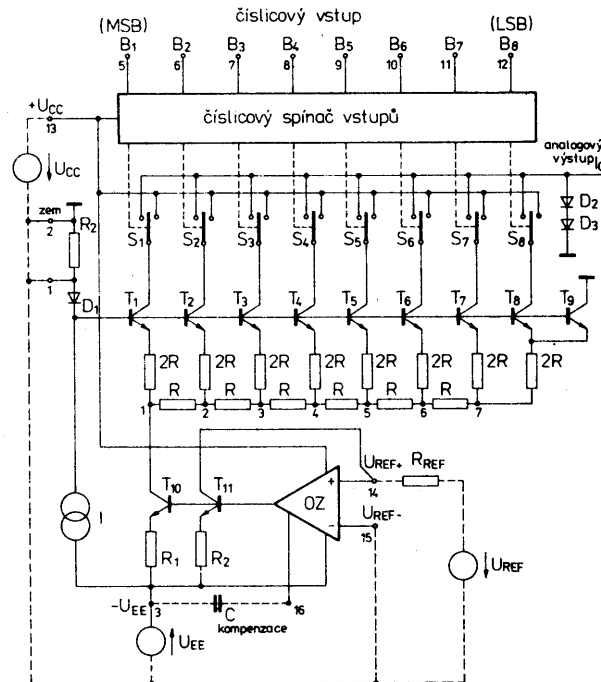


Obr. 15. Definice doby ustálení

### Stabilita

Údaje o stabilitě se u převodníků D/A vztahují na analogový výstupní signál. Přitom se rozeznává závislost tohoto signálu na teplotě a na napájecím napětí, popříp. na obou těchto veličinách a jejich změnách.

Vliv teploty se udává v jednotkách ppm/K (nebo  $n \cdot 10^{-6}/K$ ), vliv napájecího napětí v mV/V, popříp.  $\mu$ V/V, vztázeno ke konečné velikosti stupnice použitého měřicího přístroje. Jako doplňující údaj o stabilitě převodníku udávají výrobci někdy též podíl procentuální změny konečné velikosti stupnice (FS) a procentuální změny napájecího napětí.



Obr. 16. Vnitřní elektrické a funkční skupinové zapojení převodníků D/A řady MC1408, MC1508

### Vlastnosti a použití převodníků D/A

Mezi nejrozšířenější převodníky D/A patří před základních řad převodníků násobicího typu s rozlišením 8 bitů, které zahrnují součástky levné pro méně náročná zapojení, ale i přesné převodníky pro ty nejnáročnější účely.

#### Převodníky řady MC1408, MC1508

Monolitické převodníky D/A řady MC1408, MC1508 sdružují zesilovač referenčního proudu, rezistorovou jednotku R-2R a osm rychlých proudových spínačů. Jejich zjednodušené elektrické a funkční skupinové zapojení je uvedeno na obr. 16, z něhož lze odvodit hlavní funkce.

Číslicové vstupy B<sub>1</sub> až B<sub>8</sub> řídí přes osm číslicových vstupních spínačů spínače S<sub>1</sub> až S<sub>8</sub>. Obvodové uspořádání je neinvertující, signál úrovně H na vstupu proto spína příslušný výstupní proud odpovoré jednotky ze zdroje U<sub>CC</sub> na analogový výstup  $I_0$ . Výstup  $I_0$  tedy vede součet dílčích proudů, jejichž číslicové vstupy jsou ve stavu úrovně H. Proud protéká směrem do vývodu  $I_0$  (do obvodu), což samozřejmě podmínuje z vnějšku uzavřený proudový obvod, např. rezistorom proti zemi nebo připojeným operačním zesilovačem.

Rezistorová síť R-2R je v podstatě konstruována stejně jako na obr. 4. Malou změnou bylo však dosaženo úspory dvou rezistorů. Přitom se využívá skutečnosti, že v integrovaném obvodu jsou dva tranzistory (T<sub>8</sub> a T<sub>9</sub> na obr. 16) navzájem propojeny bázemi a emitory, proto jim protéká stejný kolektorský proud. Vnutí-li se tomuto zapojení společný emitorový proud (bod označený číslicí 8), rozdělí se na poloviční velikost na kolektorech tranzistorů T<sub>8</sub> a T<sub>9</sub>. Pořádám poslední změnu proudu v bodě 8 nastane díky oběma jmenovaným tranzistorům, rezistory mohou tedy odpadnout. Popsané uspořádání má přednost v tom, že se v systému integrovaného obvodu ušetří místo (rezistory na čipu zabírají prakticky větší plochu než tranzistory).

Proudové poměry v rezistorové jednotce R-2R jsou určeny proudem tranzistoru T<sub>10</sub>, který tvoří výstup zesilovače referenčního proudu. Tranzistorové seskupení T<sub>10</sub>, T<sub>11</sub> tvoří proudové zrcadlo, obdobné tomu, které známe u tranzistorů T<sub>8</sub>, T<sub>9</sub>. Rezistory R<sub>1</sub> v emitorech obou tranzistorů tuto funkci nemění. Slouží k tomu, aby kolektorové proudy byly zcela nezávislé na napěti kolektor-emitor a přitom se zmenší vliv změn napájecího napětí.

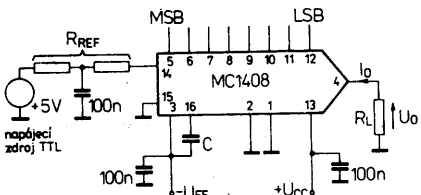
Zesilovač referenčního proudu se skládá z operačního zesilovače a tranzistorů T<sub>10</sub>, T<sub>11</sub>. Z vnějšího zdroje referenčního napětí U<sub>REF</sub> protéká proud přes rezistor R<sub>REF</sub> do vývodu U<sub>REF</sub>. V důsledku tohoto uspořádání nařizuje operační zesilovač svůj výstup tak, že se rozdíl vstupního napětí U<sub>REF+</sub> - U<sub>REF-</sub> - vztahuje proti nule. To tedy znamená, že celkové referenční napětí U<sub>REF</sub> leží na rezistoru R<sub>REF</sub>. Vývod U<sub>REF+</sub> proto musí odebírat proud

$$I_{REF} = U_{REF} / R_{REF} \quad (1)$$

Protože vstupní proud operačního zesilovače je nyní zanedbatelně malý, přejímá kolektor tranzistoru T<sub>11</sub> prakticky celý proud I<sub>REF</sub>. Proud stejně velikosti protéká též kolektorem tranzistoru T<sub>10</sub>. Na rezistorovou jednotku se přivede proud, který závisí podle vztahu (1) jen na vnějších součástkách. Současně se musí zabezpečit taková omezení, aby se v důsledku reálných vlastností použitých součástek proud v rezistorové jednotce odlišoval od referenčního proudu. Rozhodující jsou proto především chyby v tranzistorovém obvodu T<sub>10</sub>, T<sub>11</sub>. Katalogový list převodníku MC1408, MC1508 udává pro vstupní podmínky U<sub>REF</sub> = 2,000 V a U<sub>REF</sub> = 1000  $\Omega$  maximální výstup proud 1,9 až 2,1 mA, přičemž typický má být proud 1,99 mA. Teplotní závislost tohoto proudu je velmi malá. Vztaženo na teplotu +25 °C se udává z tepl-

lotního součinitele  $-20 \text{ ppm/K}$  chyba u MC1408 v rozsahu  $+0,5$  až  $-1,0\%$  (tj. přibližně  $\pm \frac{1}{4} \text{ LSB}$ ), u MC1508 v rozsahu  $+1,6$  až  $-2,0\%$  (tj.  $\pm \frac{1}{2} \text{ LSB}$ ). Teplotní závislost vnějších součástek  $U_{\text{REF}}$  a  $R_{\text{REF}}$  není v tom obrazena a musí se v daném případě příslušně respektovat.

Zdroj referenčního napětí se má, pokud jde o stejnosměrné napětí, trvale přemostit kondenzátorem s kapacitou  $0,1 \mu\text{F}$ . Používat napájecí napětí pro ostatní logické obvody (např. +5 V) jako referenční napětí není vhodné, protože na toto napětí mohou působit rušivá špičková napětí průchodem zesilovačem referenčního proudu a rezistorovou jednotkou přímo na analogový výstup převodníku D/A. Pokud je nevyhnutelné nutné použít (dobře vyfiltrované) napájecí napětí logických obvodů jako referenční napětí, má být referenční rezistor  $R_{REF}$  podle obr. 17 rozdělen do dvou částí a spojovací bod blokován kondenzátorem  $0,1 \mu\text{F}$  proti zemi. Touto úpravou se potlačí vliv střídavého napětí ze zesilovače referenčního proudu na referenční napětí.



Obr. 17. Vnější zapojení obvodů MC1408, MC1508 při použití napájecího napětí logic- kých obvodů TTL (+5 V) jako referenčního napětí

Při referenčních napěťích větších než 5 V se doporučuje zapojit mezi vývod  $U_{\text{REF+}}$  a zem diodu, pólovanou v propustném směru. Vývody napájecího napětí  $U_{\text{CC}}$  a  $U_{\text{EE}}$  mají být vždy blokovány proti zemi kvalitním kondenzátorem, jehož kapacita zpravidla postačí 0,1  $\mu\text{F}$ .

Bude-li analogový výstup (vývod 4) uzavřen vnějším rezistorem  $R_L$  proti zemi, bude maximální výstupní napětí dáno vztahem

$$U_{0\max} = I_{0\max} \cdot R_L$$

popříp.

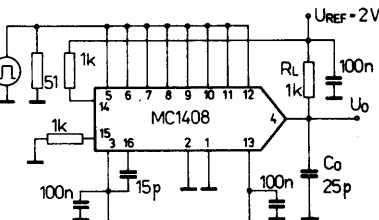
$$U_{O\max} = \frac{255}{256} \cdot \frac{U_{REF}}{R_{REF}} \cdot R_L$$

Uvedené vztahy platí jen pro rozsah výstupního napětí v daném zapojení podle obr. 16. Převodníky MC1408, MC1508 mají jeden vývod (vývod č. 1) označen RC (output range control), „řízení výstupního rozsahu“. Pomocí tohoto vývodu je možné v určitých hranicích reguloval rozsah výstupního napětí. Funkci vývodu si můžeme vysvetlit na příkladu funkčního skupinového zapojení na obr. 16. Horní hranice je dána napětím  $+0,5$  V. Určují ji diody  $D_2$ ,  $D_3$ , které jsou vodičové nad hraničním napětím  $0,5$  V a mohou odebírat znatelné proudy. Dolní hranice napětí závisí na zapojení vývodu č. 1. Je-li tento vývod spojen se zemí (podle obr. 16), protéká proud  $I$  ze zemního potenciálu přes diodu  $D_1$  do zdroje  $U_{EE}$ . Na bázi tranzistorů  $T_1$  až  $T_8$  je  $-0,6$  V. Vycházíme-li z toho, že tranzistory  $T_1$  až  $T_9$  jsou spolehlivě v lineární oblasti jen do napětí kolektor-báze  $0$  V, udává se dolní hranice vybužení do  $-0,6$  V. Tuto hranici je možné rozšířit směrem k záporným

velikostem napětí, ponechá-li se vývod č. 1 volný, tedy nebude-li připojen k zemnímu potenciálu. Proud /protéká nejen diodou D<sub>1</sub>, ale též rezistorem R<sub>2</sub>, na němž vzniká dodatečný úbytek napětí. Potenciál na bázích tranzistorů T<sub>1</sub> až T<sub>9</sub> bude nyní  $-(I \cdot R_2 + 0,6 \text{ V})$ , takže je možnost vybuzeny až do napětí  $-5 \text{ V}$ . Napájecí napětí U<sub>EE</sub> musí být v tomto případě zápornější než  $-10 \text{ V}$ .

Hranici budicího napětí je možné volit libovolně v napěťovém rozmezí od  $-0,5$  V do  $-5$  V, jestliže se přivede na vývod č. 1 regulovatelné napětí 0 až  $-5$  V (vůči zemi).

Pro dobu ustálení  $t_s$  je rozhodující zatížení analogového výstupu, popříp. takto podmíněný zdvih výstupního napětí. Způsob zapojení vývodu č. 1 němá na dobu ustálení žádný vliv. Doba ustálení se měří v zapojení podle obr. 18. Pro nejhorší možné provozní



Obr. 18. Zapojení pro měření doby ustálení převodníků řady MC1408, MC1508

podmínky se udává, jsou-li všechny číslicové vstupy přepnuty z úrovni L do úrovni H. V tomto případě je doba ustálení typicky 300 ns pro  $\pm \frac{1}{2}$  LSB při rozlišení 8 b a 200 ns pro  $\pm \frac{1}{2}$  LSB při rozlišení 7 b. Doba vypnutí je typicky kratší než 100 ns. Uvedené údaje platí při použití převodníku se zatěžovacím odporem do 500  $\Omega$  a zatěžovací kapacitou 25 pF.

Převodníkové obvody MC1408, MC1508 se napájejí kladným napětím 5,0 V s tolerancí  $\pm 0,5$  V a záporným napětím -15 V, kde platí rozmezí od -4,5 V do -16,5 V. Obě napětí se vztahují vůči vývodu země (GND). K vlastnímu provozu je zapotřebí pouze zdroj referenčního napětí  $U_{REF}$  (např. integrovaný obvod REF-01), referenční rezistor  $R_{REF}$  a kompenzační kondenzátor C pro referenční zesilovač. Vnější zapojení převodníkového obvodu je vyznačeno na obr. 16 čárkovaně.

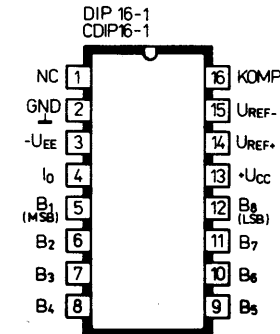
Převodníkové obvody MC1408, MC1508 se mohou používat rovněž jako osmibitové násobiče, které jsou popsány dále. Referenční proud bude v tomto případě kolísat mezi 4 mA a 16  $\mu$ A. Monotonní chování převodníku bude průměrně mezi 0,5 mA a 4 mA. Maximální výstupní proud činí 4,2 mA. Využít se může pouze tehdy, bude-li napájecí napětí záporné  $U_{EE}$  zápornější než -7 V. Musí se však přivést nazpět na úbytky napětí na rezistoru  $R_1$  a rezistorové sítě  $R-2R$ . Má-li se využít plného zdvihu výstupního napětí od +0,6 V do -5 V, musí být záporné napájecí napětí  $U_{EE}$  nejméně -12 V.

V tabulce 3 je souhrnný přehled převodníkových obvodů řady MC1408, MC1508 několika hlavních výrobců se základními údaji. Ve sloupci „Z“ je uvedeno zapojení vývodů jednotlivých typů součástek, které jsou na obr. 19 až 21. **Funkce vývodů:** RC – řízení rozsahu výstupního napětí (jen u některých součástek); GND – zemníní bod;  $-U_{EE}$  – přívod záporného napájecího napětí;  $+U_{CC}$

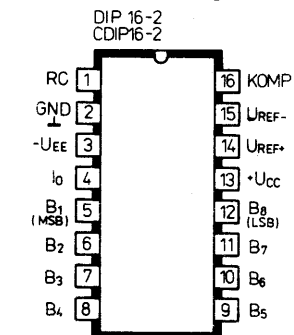
- přívod kladného napájecího napětí;  $I_0$
- analogový proudový výstup;  $B_1$  až  $B_8$  - číslicové vstupy;  $U_{REF+}$  - přívod kladného referenčního napětí;  $U_{REF-}$  - přívod záporného referenčního napětí; KOMP - kompenzace, přípoj vnějšího kompenzačního kondenzátoru 15 až 75 pF (viz obr. 34).

K usnadnění orientace s prací převodníků je uvedeno na obr. 22 funkční skupinové zapojení převodníkových obvodů řady MC1408, MC1508, které platí pro všechny součástky různých výrobců s jediným rozdílem v zapojení vývodu č. 1.

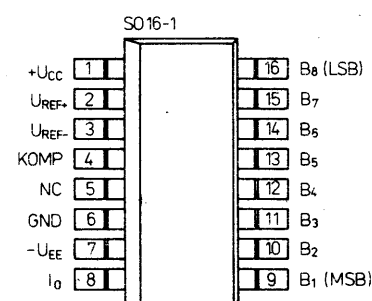
Jedním z prvních výrobců monolitických převodníkových obvodů řady MC1408, MC 1508 je firma Motorola. Řada MC1408 má celkem tři podtypy, které se navzájem odlišují jen velikostí relativní přesnosti, MC1508 dovoleným rozsahem teploty okolí, popříp. použitým pouzdem. Typy MC1408L6, MC1408P6 mají poměrně malou relativní přesnost  $\pm 0,78\%$ , proto se používají pro nejméně náročná použití, MC1408L7, MC1408P7 pracují s přesností  $\pm 0,39\%$ , MC1408L8, MC1408P8 mají velkou přes-



Obr. 19. Zapojení vývodů DIP16-1 převodníků D/A 8 bit DAC1408A, DAC1508A Precision Monolithic, MC 1408, MC1408 Philips, AD1408, AD1508 Analog Devices



Obr. 20. Zapojení vývodů DIP16-2 převodníků D/A 8 b MC1408, MC1508 Motorola, SSS1408A, SSS1508A Precision Monolithics, μA0802 Fairchild, DAC-IC8B Datel



Obr. 21. Zapojení vývodů S016-1 převodníku D/A 8 b MC1408-8D Philips v pouzdru SO-16

Tab. 3. Přehled základních vlastností převodníků D/A řady MC1408, MC1508

Typ	Rozlišení b	Rel. přesnost ±% FS	Doba ustálení ns	Napájecí napětí V	Ztrátový výkon mV	Teplotní rozsah	Pouzdro	Výrobce	Zapojení vývodů obr. č.
AD1408-7D	8	0,39	250	+5; -4,5 až -16,5	265	D75	CDIP16	AD	DIP16-1 19
AD1408-8D	8	0,19	250	+5; -4,5 až -16,5	265	D75	CDIP16	AD	DIP16-1 19
AD1408-9D	8	0,10	250	+5; -4,5 až -16,5	265	D75	CDIP16	AD	DIP16-1 19
AD1508-8D	8	0,19	250	+5; -4,5 až -16,5	265	A	CDIP16	AD	DIP16-1 19
AD1508-9D	8	0,10	250	+5; -4,5 až -16,5	265	A	CDIP16	AD	DIP16-1 19
DAC-IC8BC	8	0,19	300	+5; -4,5 až -16,5		D	DIP16	Datel	DIP16-2 20
DAC-IC8BM	8	0,19	300	+5; -4,5 až -16,5		A	CDIP16	Datel	DIP16-2 20
DAC1408A-6P	8	0,78	250	+5; -5 až -15	265	D75	DIP16	PMI	DIP16-1 19
DAC1408A-6Q	8	0,78	250	+5; -5 až -15	265	D75	CDIP16	PMI	DIP16-1 19
DAC1408A-7P	8	0,39	250	+5; -5 až -15	265	D75	DIP16	PMI	DIP16-1 19
DAC1408A-7Q	8	0,39	250	+5; -5 až -15	265	D75	CDIP16	PMI	DIP16-1 19
DAC1408A-8P	8	0,19	250	+5; -5 až -15	265	D75	DIP16	PMI	DIP16-1 19
DAC1408A-8Q	8	0,19	250	+5; -5 až -15	265	D75	CDIP16	PMI	DIP16-1 19
DAC1508A-8Q	8	0,19	250	+5; -5 až -15	265	A	CDIP16	PMI	DIP16-1 19
MC1408-7F	8	0,39	70	+5; -4,5 až -16,5	305	D	CDIP16	P	DIP16-1 19
MC1408-7N	8	0,39	70	+5; -4,5 až -16,5	305	D	DIP16	P	DIP-16-1 19
MC1408-8D	8	0,19	70	+5; -4,5 až -16,5	305	D	SO16	P	SO16-1 21
MC1408L6	8	0,78	300	+5; -5 až -15	305	D75	CDIP16	Mo	DIP16-2 20
MC1408L7	8	0,39	300	+5; -5 až -15	305	D75	CDIP16	Mo	DIP16-2 20
MC1408L8	8	0,19	300	+5; -5 až -15	305	D75	CDIP16	Mo	DIP16-2 20
MC1408P6	8	0,78	300	+5; -5 až -15	305	D75	DIP16	Mo	DIP16-2 20
MC1408P7	8	0,39	300	+5; -5 až -15	305	D75	DIP16	Mo	DIP16-2 20
MC1408P8	8	0,19	300	+5; -5 až -15	305	D75	DIP16	Mo	DIP16-2 20
MC1508-8F	8	0,19	70	+5; -4,5 až -16,5	305	A	CDIP16	P	DIP16-1 19
MC1508L8	8	0,19	300	+5; -5 až -15	305	A	CDIP16	Mo	DIP16-2 20
SSS1408A-6P	8	0,78	250	+5; -4,5 až -16,5	265	D75	DIP16	PMI	DIP16-2 20
SSS1408A-6Q	8	0,78	250	+5; -4,5 až -16,5	265	D75	CDIP16	PMI	DIP16-2 20
SSS1408A-7P	8	0,39	250	+5; -4,5 až -16,5	265	D75	DIP16	PMI	DIP16-2 20
SSS1408A-7Q	8	0,39	250	+5; -4,5 až -16,5	265	D75	CDIP16	PMI	DIP16-2 20
SSS1408A-8P	8	0,19	250	+5; -4,5 až -16,5	265	D75	DIP16	PMI	DIP16-2 20
SSS1408A-8Q	8	0,19	250	+5; -4,5 až -16,5	265	D75	CDIP16	PMI	DIP16-2 20
SSS1508A-8Q	8	0,19	250	+5; -4,5 až -16,5	265	A	CDIP16	PMI	DIP16-2 20
μA0802ADC	8	0,19	135	+5; -4,5 až -16,5	305	D	CDIP16	FSC	DIP16-2 20
μA0802APC	8	0,19	135	+5; -4,5 až -16,5	305	D	DIP16	FSC	DIP16-2 20
μA0802BDC	8	0,39	135	+5; -4,5 až -16,5	305	D	CDIP16	FSC	DIP16-2 20
μA0802BPC	8	0,39	135	+5; -4,5 až -16,5	305	D	DIP16	FSC	DIP16-2 20
μA0802CDC	8	0,78	135	+5; -4,5 až -16,5	305	D	CDIP16	FSC	DIP16-2 20
μA0802CPC	8	0,78	135	+5; -4,5 až -16,5	305	D	DIP16	FSC	DIP16-2 20
μA0802DM	8	0,19	135	+5; -4,5 až -16,5	305	A	CDIP16	FSC	DIP-16-2 20
μA0802HC	8	0,10	135	+5; -4,5 až -16,5	305	A	CDIP16	FSC	DIP16-2 20

Teplotní rozsah: A – -55 až +125 °C; D – 0 až +70 °C; D75 – 0 až +75 °C

Výrobce: AD – Analog Devices, D – Datel; FSC – Fairchild Semiconductor Corp.; Mo – Motorola; P – Philips Components; PMI – Presicion Monolithics Inc.

nost ±0,19 %, jsou proto určeny pro nejnáročnější zapojení. Rozdíl mezi oběma uváděnými převodníky je v použitém pouzdro. Součástky s písmenem „L“ v typovém znaku jsou v keramickém pouzdro, písmeno „P“ udává plastové pouzdro DIP16 s 2× osmi vývody ve dvou řadách. Převodníky mohou pracovat v dovoleném rozsahu provozních teplot od 0 do +75 °C.

V keramickém pouzdro DIP-16 je převodník MC1508L8, který se vyznačuje přesností ±0,19 % a možností provozu v širokém rozsahu provozních teplot okolo od -55 do +125 °C. Ve srovnání s jinými výrobky platí u všech popsaných součástek Motorola používání záporného napájecího napětí od -5 V do -15 V. Dalším rozdílem je obsazený vývod č. 1, kterým se může regulovat rozsah výstupního napětí, jak již bylo uvedeno v předchozích odstavcích. Elektrické údaje součástek této řady výrobky Motorola jsou obsaženy v tabulce 4.

Druhým, velmi známým výrobcem převodníkových obvodů řady MC1408 je americká firma Precision Monolithic, Inc. Obvody tohoto výrobce jsou označeny odlišným ty-

povým znakem DAC1408A, DAC1508A. Elektrické rozdíly proti součástkám Motorola nejsou velké a jsou patrné z údajů v tabulce 4. Obvody PMI nemají zapojen vývod č. 1, proto o nich neplatí informace o možnosti regulace rozsahu výstupního napětí.

Firma PMI vyráběla do roku 1980 jako vedoucí výrobce speciálních integrovaných obvodů převodníky řady 1408A, 1508A s označením SSS1408A, SSS1508A, u nichž vývod č. 1 byl obsazen jako u součástek Motorola pro řízení výstupního rozsahu. Základní údaje takto označených součástek jsou v tabulce 3. Protože se již nevyrobějí, není nutné uvádět jejich údaje samostatně, možné je převzít obdobně označené údaje součástek Motorola. V plné míře je nahrazují moderní převodníkové obvody řady DAC1408A, DAC1508A.

Holandský multinárodní koncern Philips Components-Signetics-Valvo vyrábí omezenou řadu převodníků 1408 pod označením MC1408. V podstatě se dodávají tři podtypy součástek, které se odlišují přesností a rozsahem dovolené teploty okolo. Novinkou je ovšem typ MC1408-8D, který je

v plastovém pouzdro SO16 se zmenšenými rozměry a dvěma řadami vývodů, rozloženými v rastru 1,27 mm, odstup řad vývodů je 6 mm. Pouzdro je vhodné pro povrchovou montáž SMT a pro montáž do plošných spojů s jemnými vodivými cestami. Elektrické údaje převodníků výroby Philips se od ostatních poněkud odlišují a jsou uvedeny v tabulce 5.

Americký výrobce speciálních integrovaných obvodů Analog Devices vyrábí převodníky řady 1408 ve složení podle tabulky 3. Jsou označeny typovým znakem AD1408, AD1508. Elektrické údaje těchto součástek jsou v podstatě shodné s převodníky DAC1408A. Řada obsahuje součástky AD1408-9D a AD1508-9D, které se vyznačují relativní přesností ±0,1 %, a které u jiných výrobčů nejsou k dispozici. Součástky jsou v keramickém pouzdro DIP 16. Vývod č. 1 není obsazen.

Tab. 4 . Elektrické údaje převodníku D/A 8 b MC1408, MC1508 Motorola, DAC1408A, DAC1508A PMI

Mezní údaje			
Napájecí napětí kladné	$U_{CC} \leq +5,5$	V	
Napájecí napětí záporné	$U_{EE} \leq -16,5$	V	
Vstupní napětí číslicové			
vývody 5 až 12	$U_5 \text{ až } U_{12} = 0 \text{ až } +5,5$	V	
Výstupní napětí	$U_O = +0,5 \text{ až } -5,2$	V	
Referenční proud	$I_{14 \text{ REF}} \leq 5$	mA	
Vstupní napětí referenčního zesilovače			
vývod 14	$U_{14} = U_{CC}, U_{EE}$	V	
vývod 15	$U_{15} = U_{CC}, U_{EE}$	V	
Rozsah pracovní teploty okolí			
MC1408, DAC1408A	$\vartheta_a = 0 \text{ až } +75$	°C	
MC1508, DAC1508A	$\vartheta_a = -55 \text{ až } +125$	°C	
Rozsah skladovací teploty	$\vartheta_{tg} = -65 \text{ až } +150$	°C	

#### Charakteristické údaje

Pletí při  $U_{CC} = +5 \text{ V}$ ,  $U_{EE} = -15 \text{ V}$ ,  $U_{REF}/R_{14} = 2 \text{ mA}$ , všechny číslicové vstupy v logické úrovni H.

MC1408, DAC1408A:  $\vartheta_a = 0 \text{ až } +75 \text{ °C}$   
 MC1508, DAC1508A:  $\vartheta_a = -55 \text{ až } +125 \text{ °C}$ , není-li uvedeno jinak.

Relativní přesnost			
(relativní chyba včetně plné stupnice $I_0$ )			
MC1508L8, MC1408L8, MC1408P8, DAC1408A-8, DAC1508A-8	$E_r \leq \pm 0,19$	%	
MC1408L7, MC1408P7, DAC1408A-7	$E_r \leq \pm 0,39$	%	
MC1408L6, MC1408P6, DAC1408A-6	$E_r \leq \pm 0,78$	%	
Doba ustálení			
všechny hity sepnuty, $\vartheta_a = +25 \text{ °C}$ , na 1/2 LSI včetně $t_{PLH}$	$t_S = \text{jmen. } 300$	ns	
DAC1408A, DAC1508A	$t_S = \text{jmen. } 250$	ns	
Doba zpoždění přechodu signálu $\vartheta_a = +25 \text{ °C}$			
$t_{PLH} = \text{jmen. } 30; \leq 100$	ns		
$t_{PHL} = \text{jmen. } 30; \leq 100$	ns		
$TK_{IO} = \text{jmen. } \pm 20$	ppm/K		
Tepelná závislost výstupního proudu pro plnou stupnicí číslicové vstupní logické úrovně (MSB)			
úroveň H - log. 1	$U_{IH} \geq 2,0$	V	
úroveň L - log. 0	$U_{IL} \leq 0,8$	V	
Číslicový vstupní proud			
úroveň H, $U_{IH} = 5 \text{ V}$	$I_{IH} = \text{jmen. } 0; \leq 0,04$	mA	
úroveň L, $U_{IL} = 0,8 \text{ V}$	$I_{IL} = \text{jmen. } -0,4; \leq -0,8$	mA	
Proud referenčního vstupu			
vývod 15	$I_{15} = \text{jmen. } -1; \leq -5$	µA	
DAC1408A	$I_{15} = \text{jmen. } -1; \leq -3$	µA	
Rozsah výstupního proudu			
$U_{EE} = -5 \text{ V}$	$I_{OR} = \text{jmen. } 2; 0 \text{ až } 2,1$	mA	
$U_{EE} = -15 \text{ V}$ , $\vartheta_a = 25 \text{ °C}$	$I_{OR} = \text{jmen. } 2; 0 \text{ až } 4,2$	mA	
Výstupní proud			
$U_{REF} = 2,000 \text{ V}$ , $R_{14} = 1 \text{ k}\Omega$	$I_O = \text{jmen. } 1,99; 1,9 \text{ až } 2,1$	mA	
Výstupní proud			
všechny hity v úrovni L	$I_O \text{ min} = \text{jmen. } 0; \leq 4$	µA	
Pružnost výstupního napětí			
$E_r \leq 0,19 \%$ , $\vartheta_a = +25 \text{ °C}$	$U_O \leq -0,55 \text{ až } +0,4$	V	
vývod 1 uzemněn	$U_O \leq -5,0 \text{ až } +0,4$	V	
vývod 1 volný, $U_{EE} \leq -10 \text{ V}$	$U_O \leq -0,6 \text{ až } +0,5$	V	
vývod 1 volný, $U_{EE} \leq -5 \text{ V}$ , DAC1408A			
Rychlosť přehlídku referenčního proudu			
Citlivost výstupního proudu na změnu napájecího napětí (záporného)	$SRI_{REF} = \text{jmen. } 4$	mA/us	
Spotřeba napájecího proudu všechny hity v úrovni L	$PSRR = \text{jmen. } 0,5; \leq 2,7$	µA/V	
z kladného zdroje	$I_{CC} = \text{jmen. } +13,5; \leq +22$	mA	
DAC1408A	$I_{CC} = \text{jmen. } +9; \leq +14$	mA	
ze záporného zdroje	$I_{EE} = \text{jmen. } -7,5; \leq -13$	mA	

#### Rozsah napájecího napětí

$$\vartheta_a = +25 \text{ °C}$$

kladného napětí

záporného napětí

ztrátový výkon celkový

všechny hity v úrovni L:

$$U_{EE} = -5 \text{ V}$$

$U_{EE} = -5 \text{ V}$ , DAC1408A

$$U_{EE} = -15 \text{ V}$$

$U_{EE} = -15 \text{ V}$ , DAC1408A

všechny hity v úrovni H:

$$U_{EE} = -5 \text{ V}$$

$U_{EE} = -5 \text{ V}$ , DAC1408A

$$U_{EE} = -15 \text{ V}$$

$U_{EE} = -15 \text{ V}$ , DAC1408A

$$U_{CC} = \text{jmen. } +5,0; +4,5 \text{ až } +5,5 \text{ V}$$

$$U_{EE} = \text{jmen. } -15; -4,5 \text{ až } +16,5 \text{ V}$$

$$P_{tot} = \text{jmen. } 105; \leq 170 \text{ mW}$$

$$P_{tot} = \text{jmen. } 82; \leq 135 \text{ mW}$$

$$P_{tot} = \text{jmen. } 190; \leq 305 \text{ mW}$$

$$P_{tot} = \text{jmen. } 157; \leq 265 \text{ mW}$$

$$P_{tot} = \text{jmen. } 90 \text{ mW}$$

$$P_{tot} = \text{jmen. } 70 \text{ mW}$$

$$P_{tot} = \text{jmen. } 160 \text{ mW}$$

$$P_{tot} = \text{jmen. } 132 \text{ mW}$$

Tab. 5 . Elektrické údaje převodníku D/A 8 b MC1408, MC1508 Philips

Mezní údaje			
Pletí při $\vartheta_a = +25 \text{ °C}$ , není-li uvedeno jinak.			
Napájecí napětí kladné	$U_{CC} \leq +5,5$	V	
Napájecí napětí záporné	$U_{EE} \leq -16,5$	V	
Vstupní napětí číslicové			
vývody 5 až 12	$U_5 \text{ až } U_{12} = 0 \text{ až } U_{CC}$	V	
Výstupní napětí	$U_O = -5,2 \text{ až } +18$	V	
Vstupní referenční proud	$I_{14 \text{ REF}} \leq 5$	mA	
Vstupní napětí referenčního zesilovače			
vstup 14	$U_{14} = U_{EE} \text{ až } U_{CC}$	V	
vstup 15	$U_{15} = U_{EE} \text{ až } U_{CC}$	V	
Ztrátový výkon celkový			
MC1408-7F, MC1508-6F	$P_{tot} \leq 1190 \text{ mW}$		
MC1408-7N	$P_{tot} \leq 1450 \text{ mW}$		
MC1408-8D	$P_{tot} \leq 1080 \text{ mW}$		
Snížení ztrátového výkonu			
při $\vartheta_a \geq 25 \text{ °C}$	$\alpha = \text{jmen. } 9,5 \text{ W/K}$		
MC1408-7F, MC1508-6F	$\alpha = \text{jmen. } 11,6 \text{ W/K}$		
MC1408-7N	$\alpha = \text{jmen. } 8,6 \text{ W/K}$		
Rozsah pracovní teploty okolí			
MC1408	$\vartheta_a = 0 \text{ až } +75 \text{ °C}$		
MC1508	$\vartheta_a = -55 \text{ až } +125 \text{ °C}$		
Rozsah skladovací teploty			
Doba pájení vývodů ( $t = 10 \text{ s}$ )	$\vartheta_L \leq 300$	°C	
Charakteristické údaje			
Pletí při $U_{CC} = +5 \text{ V}$ , $U_{EE} = -15 \text{ V}$ , $U_{REF}/R_{14} = 2,0 \text{ mA}$ , není-li uvedeno jinak; všechny hity sepnuty, vývod 3 musí být o 3 v zápornější než poloha na rezistoru $R_{15}$ .			
MC1408: $\vartheta_a = 0 \text{ až } +75 \text{ °C}$ , MC1508: $\vartheta_a = -55 \text{ až } +125 \text{ °C}$ , není-li uvedeno jinak.			

Relativní přesnost			
(relativní chyba při plné stupnici $I_0$ )			
MC1408-8, MC1508-8	$E_r \leq \pm 0,19$	%	
MC1408-7	$E_r \leq \pm 0,39$	%	
Doba ustálení			
na 1/2 LSI včetně $t_{PLH}$ , všechny hity sepnuty			
$\vartheta_a = +25 \text{ °C}$	$t_S = \text{jmen. } 70$	ns	
Doba zpoždění signálu $\vartheta_a = +25 \text{ °C}$			
z úrovni L do H	$t_{PLH} = \text{jmen. } 35; \leq 100$	ns	
z úrovni H do L	$t_{PHL} = \text{jmen. } 35; \leq 100$	ns	
Tepelná závislost výstupního proudu pro plnou stupnicí			
výstupní proud	$TK_{IO} = \text{jmen. } -20$	ppm/K	
Logické úrovně číslicových vstupů (MSB)			
úroveň H	$U_{IH} \geq 2,0$	V	
úroveň L	$U_{IL} \leq 0,8$	V	
Vstupní proud číslicových vstupů			
úroveň H, $U_{IH} = 5 \text{ V}$	$I_{IH} = \text{jmen. } 0; \leq 0,04$	mA	
úroveň L, $U_{IL} = 0,8 \text{ V}$	$I_{IL} = \text{jmen. } -0,4; \leq -0,8$	mA	

Proud referenčního vstupu		Doba zpoždění příchodu signálu	
vývod 15	$I_{15} = \text{jmen. } -1; \leq -5$	$t_{PLH} = \text{jmen. } 30; \leq 100$	ns
Rozsah výstupního proudu		$t_{PHL} = \text{jmen. } 30; \leq 100$	ns
$U_{EE} = -5 \text{ V}$	$I_{OR} = \text{jmen. } 2,0; 0 \text{ až } 2,1$		
$U_{EE} = -7 \text{ až } -15 \text{ V}$	$I_{OR} = \text{jmen. } 2,0; 0 \text{ až } 4,2$		
Výstupní proud		Tepelná závislost výstupního proudu pro plnou stupnice	
$U_{REF} = 2,000 \text{ V}, R_{14} = 1000 \Omega$	$I_0 = \text{jmen. } 1,99; 1,9 \text{ až } 2,1$	$TKI_0 = \text{jmen. } \pm 20$	ppm/K
Výstupní proud minimální		Vstupní napětí číslicových vstupů	
všechny bity v úrovni L		úroveň H, log. 1	V
$U_{REF} = 2,000 \text{ V}, R_{14} = 1000 \Omega$	$I_0 \text{ min} = \text{jmen. } 0; \leq 4$	úroveň L, log. 0	V
Pružnost výstupního napětí		Vstupní proud číslicových vstupů	
$E_r \leq 0,19 \%, \vartheta_a = +25^\circ\text{C}$		úroveň H, $U_{IH} = 5 \text{ V}$	$I_{IH} = \text{jmen. } 0; \leq 0,04$
$U_{EE} = -5 \text{ V}$	$-U_0 = \text{jmen. } 0,6; \leq 0,55$	úroveň L, $U_{IL} = 0,8 \text{ V}$	$I_{IL} = \text{jmen. } -0,4; \leq -0,8$
$U_{EE} = -5 \text{ V}$	$+U_0 = \text{jmen. } 10; \leq 0,5$		
$U_{EE} = -10 \text{ V}$	$-U_0 = \text{jmen. } 5,5; \leq 5,0$		
$U_{EE} = -10 \text{ V}$	$+U_0 = \text{jmen. } 10; \leq 0,5$		
Rychlosť přehoru referenčního proudu	$SRI_{REF} = \text{jmen. } 8$	Proud vstupu referenčního zesilovače, vývod 15	
Citlivost výstupního proudu na změnu napájecího napětí (-)		$I_{15} = \text{jmen. } -1; \leq -5$	mA
$I_{REF} = 1 \text{ mA}$	$PSRR = \text{jmen. } 0,5; \leq 2,7$	Rozsah výstupního proudu	
Spotřeba napájecího proudu všechny bity v úrovni L		$U_{EE} = -5 \text{ V}$	$I_{OR} = \text{jmen. } 2,0; 0 \text{ až } 2,1$
z kladného zdroje	$I_{CC} = \text{jmen. } 2,5; \leq 22$	$U_{EE} = -6 \text{ až } -15 \text{ V}$	$I_{OR} = \text{jmen. } 2,0; 0 \text{ až } 4,2$
ze záporného zdroje	$I_{EE} = \text{jmen. } -6,5; \leq -13$	Výstupní proud	
Rozsah napájecího napětí		$U_{REF} = 2,000 \text{ V}, R_{14} = 1000 \Omega$	$I_0 = \text{jmen. } 1,99; 1,9 \text{ až } 2,1$
$\vartheta_a = +25^\circ\text{C}$		Výstupní proud minimální	
kladného napětí	$U_{CC} = \text{jmen. } 5; 4,5 \text{ až } 5,5$	všechny bity v úrovni L	
záporného napětí	$U_{EE} = \text{jmen. } -15; -4,5 \text{ až } -16,5 \text{ V}$	$I_0 \text{ min} = \text{jmen. } 0; \leq 4$	mA
Ztrátový výkon		Pružnost výstupního napětí	
všechny bity v úrovni L		$E_r \leq 0,19 \%, \vartheta_a = +25^\circ\text{C}$	
$U_{EE} = -5 \text{ V}$	$P = \text{jmen. } 34; \leq 170$	$U_0 = -0,55 \text{ až } +0,4$	V
$U_{EE} = -15 \text{ V}$	$P = \text{jmen. } 110; \leq 305$	$U_0 = -5 \text{ až } +0,5$	V

Tab. 6. Elektrické údaje převodníku D/A 8 b řady μA0802 Fairchild

Mezní údaje		
Platí při $\vartheta_a = +25^\circ\text{C}$ , není-li uvedeno jinak.		
Napájecí napětí kladné	$+U_{CC} \leq 5,5$	V
Napájecí napětí záporné	$-U_{EE} \leq 16,5$	V
Vstupní napětí číslicové vývody 5 až 12	$+U_I \leq 5,5$	V
Výstupní napětí	$U_0 = +0,5 \text{ až } -5,2$	V
Proud referenčního vstupu vývod 14	$I_{14 \text{ REF}} \leq 5$	mA
Vstupní napětí referenčního zesilovače		
vývod 14	$U_{14} = +5,5 \text{ až } -16,5$	V
vývod 15	$U_{15} = +5,5 \text{ až } -16,5$	V
Rozsah provozní teploty okolí μA0802	$\vartheta_a = -55 \text{ až } +125$	°C
μA0802A, μA0802B, μA0802C	$\vartheta_a = 0 \text{ až } +70$	°C
Teplota vývodů při pájení		
$t \leq 10 \text{ s}$		
keramické pouzdro	$\vartheta_L \leq 300$	°C
plastové pouzdro	$\vartheta_L \leq 260$	°C

## Charakteristické údaje

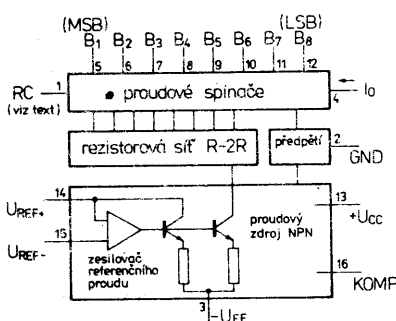
Platí při  $U_{CC} = +5 \text{ V}$ ,  $U_{EE} = -15 \text{ V}$ ,  $U_{REF}/R_{14} = 2 \text{ mA}$ , všechny číslicové vstupy v logické úrovni H.  
μA0802:  $\vartheta_a = -55 \text{ až } +125^\circ\text{C}$ ; μA0802A, μA0802B, μA0802C:  $\vartheta_a = 0 \text{ až } 70^\circ\text{C}$ , není-li uvedeno jinak.

Relativní přesnost	
relativní chyba vztažená k plné stupnici $I_0$	
μA0802HC	$E_r \leq \pm 0,1$
μA0802LM, μA0802ADC, APC	$E_r \leq \pm 0,19$
μA0802EPC, μA0802RFC	$E_r \leq \pm 0,39$
μA0802CDC, μA0802CFS	$E_r \leq \pm 0,78$
Doba ustálení	
na 1/2 LSB v kategorii $t_{PLH}$	
$\vartheta_a = +25^\circ\text{C}$	$t_S = \text{jmen. } 85; \leq 135$
	ns

Tab. 7. Elektrické údaje převodníku D/A 8 b DAC-IC8PC, DAC-IC8PM firmy Datel

Mezní údaje		
Napájecí napětí kladné	$+U_{CC} \leq 5,5$	V
Napájecí napětí záporné	$-U_{CC} \leq 16,5$	V
Vstupní napětí číslicových vstupů vývody 5 až 12	$+U_I \leq 5,5$	V
Proud referenčního vstupu vývod 14	$I_{14 \text{ REF}} \leq 5$	mA
Vstupní napětí referenčního zesilovače		
vývod 14	$U_{14} = +U_{CC}; -U_{EE}$	V
vývod 15	$U_{15} = +U_{CC}; -U_{EE}$	V
Ztrátový výkon celkový	$P_{tot} \leq 1$	W
Rozsah pracovní teploty okolí DAC-IC8PC	$\vartheta_a = 0 \text{ až } +70$	°C
DAC-IC8PM	$\vartheta_a = -55 \text{ až } +125$	°C
Rozsah skladovací teploty	$\vartheta_{stg} = -65 \text{ až } +125$	°C
Charakteristické údaje		
Platí při $\vartheta_a = +25^\circ\text{C}$ , $U_{CC} = +5 \text{ V}$ , $U_{EE} = -15 \text{ V}$ , $I_{REF} = 2 \text{ mA}$ , není-li uvedeno jinak.		
Relativní přesnost		
$\pm 0,19 \%$	$\leq \pm 1/2 \text{ LSB}$	
Nelinearity		
$\pm 0,19 \%$	$\leq \pm 1/2 \text{ LSB}$	

Diferenční nonlinearity			Rozsah výstupního proudu	
$\pm 0,1\%$	= jmen. $\pm 1/2$ TSP		$U_{EE} = -5$ V	$I_0 = 0$ až 2,1 mA
Terplotní součinitel zisku	TKA = jmen. -20	npm/K	$U_{EE} = -6$ až -15 V	$I_0 = 0$ až 4,2 mA
Vliv změny záporného napájecího			Výstupní proud	
napětí na výstupní proud	PSRR = 2,7	µA/V	všechny bity vypnuty	$I_0 \leq 4$ mA
Doba ustálení			Frušnost výstupního napětí	
$I_0 = 2$ mA, na 1/2 LSR	$t_S =$ jmen. 300	ns	vývod 1 uzemněn	$U_0 = -0,6$ až +0,5 V
Rychlosť převodu	$f =$ jmen. 3,3	MHz	vývod 1 otevřen, $U_{EE} \leq -10$ V	$U_0 = -5,0$ až +0,5 V
Rychlosť některého referenčního proudu	$I_{REF} =$ jmen. 4	mA/µs	Rozsah napájecího napětí	
Vstupní napětí číslicových vstupů			kladného	$U_{CC} =$ jmen. +5; +4,5 až +5,5 V
úroveň H, $I_{IH} = 40$ µA	$U_{IH} = 2,0$ až 5,5	V	záporného	$U_{EE} =$ jmen. -15; -4,5 až -16,5 V
úroveň L, $I_{IL} = -0,8$ mA	$U_{IL} \leq 0$ až 0,8	V	Spotřeba napájecího proudu	
Proud referenčního vstupu	$I_{REF} =$ jmen. 2; 0 až 4,2	mA	z kladného zdroje	$I_{CC+} \leq 22$ mA
Frakční proud referenčního vstupu	$I_{REF} \leq -3$	µA	ze záporného zdroje	$I_{EE-} \leq 13$ mA
Výstupní proud				
$I_{PPL} = 2$ mA	$I_0 =$ jmen. 2; 1,5 až 2,1	mA		
			působí proti nulovému potenciálu. Protože	



Obr. 22. Funkční skupinové zapojení převodníků D/A 8 b řady MC1408, MC1508

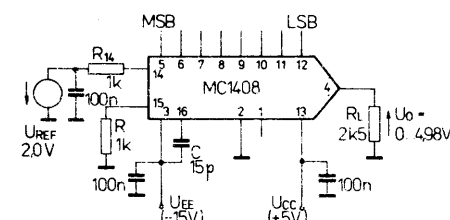
Americká firma Fairchild, která v minulých letech přešla do vlastnictví koncernu Harris, vyráběla převodníky řady 1408 pod označením μA0802. Jejich základní údaje jsou v tabulce 3, úplné elektrické údaje v tabulce 6. Zapojení vývodů je shodné s výrobky Motorola, vývod č. 1 je obsazen pro řízení výstupního rozsahu. Výrobce je dodával v plastových a keramických pouzdrách DIP-16 pro práci v komerčním a širokém rozsahu teplot okolí.

Pozornost si zaslouží převodníky D/A 8 b popsané řady, označené DAC-IC8BC a DAC-IC8BM z výroby specializované firmy Datel. Jsou velmi přesné ( $\pm 0,19\%$ ), doba ustálení je 300 ns, vstupy jsou slučitelné s logikou TTL a DTL. Jejich předností je poměrně nízká cena. Oba obvody mají stejná elektrická data, která jsou uvedena v tabulkách 3 a 7. Rozdíl je v dovoleném pracovním teplotě a použitím pouzdra. DAC-IC8BC v plastovém pouzdru DIP-16 je určen pro práci v komerčním rozsahu teploty 0 až +70 °C, typ DAC-IC8BM v keramickém pouzdru DIP-16 pro rozsah teploty od -55 do +125 °C. Zapojení vývodů je shodné se součástkami Motorola, vývod č. 1 je obsazen s určením pro řízení rozsahu.

## Příklady použití převodníků D/A řady MC1408

#### Převodník D/A s kladným referenčním napětím

**Napětím.** Na obr. 23 je uveden příklad typického zapojení obvodu MC 1408 jako převodník D/A s kládým referenčním napětím a zatěžovacím rezistorem proti zemi. Toto zapojení je



Obr. 23. Převodník D/A řady MC1408 s kladným referenčním a záporným výstupním napětím

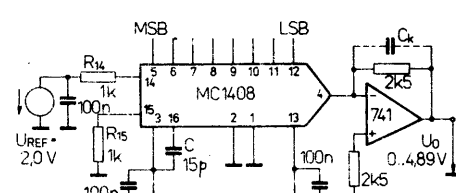
obdobné tomu, které jsme poznali při výkladu funkce převodníku. Novým je zde rezistor  $R_{15}$ , připojený mezi vývod 15 a zem. Rezistor kompenzuje vliv vstupního klidového proudu zesilovače referenčního proudu. V mnoha případech se však může vynechat. Výsledkem je menší ztráta přesnosti a poněkud vyšší teplotní závislost. Vynechá-li se rezistor  $R_{15}$ , musí se spojit vývod 15 se zemí.

Zatěžovací rezistor na analogovém výstupu (vývod č. 4) slouží k transformaci proudu a napětí. Typické výstupní napětí  $U_o$  v tomto zapojení je 4,98 V. Má-li se dosáhnout velmi přesné konečné velikosti výstupního napětí, musí se použít referenční rezistor  $R_{14}$  s regulovatelným odporem (trimr). Napětí  $U_o$  je proti zemi záporné. Určuje se podle vztahu

$$U_Q = U_{\text{REF}} \frac{R_{14}}{R_L} \left( \frac{B_7}{2} + \frac{B_6}{4} + \dots + \frac{B_1}{128} + \right. \\ \left. + \frac{B_0}{256} \right) \quad (4).$$

Zatižení výstupu zatěžovacím rezistorem s odporem větším než  $500\ \Omega$  prodlouží dobu ustálení. V katalogových listech převodníků se uvádí doba ustálení  $1,2\ \mu\text{s}$  při odporu  $2,5\ \text{k}\Omega$ .

Často není výhodné záporné napětí převodníku D/A. Tuto nevýhodu může odstranit připojený operační zesilovač (podle obr. 24) tak, že vstupní rozdílové napětí



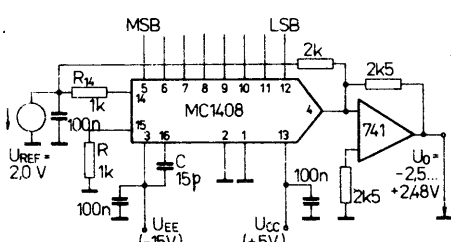
Obr. 24. Převodník D/A řady MC1408 s kladným referenčním a kladným výstupním napětím

působí proti nulovému potenciálu. Protože vstupní proud zesilovače působí rovněž proti rozdílovému potenciálu, protéká celkový výstupní proud převodníku zpětnovazebním rezistorem  $2,5\text{ k}\Omega$ . Výstupní napětí zesilovače má pak stejnou velikost jako výstupní napětí v předchozím zapojení, ale opačnou polaritu.

Rezistor 2,5 k $\Omega$ , připojený k neinvertujícímu vstupu operačního zesilovače, kompenzuje známým způsobem látv klidového proudu na přesnost. Protože výstupní potenciál převodníku (vývod 4) zůstává v tomto případě na potenciálu země, je obvod poměrně rychlý. Doba ustálení systému je určena strmostí náběžné hrany výstupního zesilovače. Experimentálně se prokázalo, že se doba ustálení zkrátí, bude-li vývod č. 1 připojen na nulový potenciál (pouze u součástek, které vývod č. 1 mají obsazen). Případné zákmity na výstupu jsou zpravidla zaviněny nevhodnou konstrukcí převodníkového systému. Zákmity se mohou potlačit kondenzátorem s malou kapacitou, připojeným parallelně k zatěžovacímu rezistoru (na obr. 24 je kondenzátor zakreslen čárkováně). Výsledek jen ovšem též prodloužení doby ustálení systému převodníku.

### Převodník D/A 8 b s bipolárním výstupním napětím

V některých případech se vyžaduje převezení číslicového slova na analogový signál s kladnou nebo zápornou hodnotou. V tomto případě je vstup B<sub>7</sub> bitem znaménka. Chceme-li tuto informaci převést bipolárně, použijeme doporučené zapojení podle obr. 26, které je upravenou verzí předchozího zapojení. Rezistorom 2 k $\Omega$  se navíc přivádí ofsetové napětí -2,5 V na výstup operačního

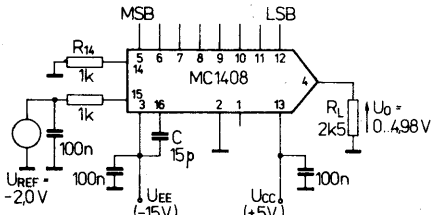


Obr. 25. Převodník D/A řady MC1408 s kladným referenčním a bipolárním výstupním napětím

zesilovače. Výstupní napětí překrývá nyní rozsah od  $-2,5\text{ V}$  do  $+3,48\text{ V}$ . Při bitové vstupní kombinaci **HLLLLLLL** dostaneme výstupní napětí  $0\text{ V}$ .

## Převodník D/A se záporným referenčním napětím.

Velmi často je k dispozici pouze jedno záporné napětí jako referenční napětí. V tomto případě je přiváděme přes rezistor na vstup (vývod 15) zesilovače referenčního proudu,  $U_{REF-}$ , jak je to znázorněno v zapojení



Obr. 26. Převodník D/A řady MC1408 se záporným referenčním a záporným výstupním napětím

ní na obr. 26. Referenční rezistor je jako dříve připojen na vývod 14, druhým koncem musí se spojit se zemí. Rozdílový vstup zesilovače referenčního proudu (vývody 14 a 15) bude mít záporný potenciál velikosti jako referenční napětí (v našem zapojení bude mít napětí  $-2\text{ V}$ ). To znamená, že referenční proud nyní protéká ze zemního potenciálu přes rezistor  $1\text{ k}\Omega$  do vývodu 14 V. V předřadném rezistoru ve vývodu 15 protéká pouze vstupní klidový proud zesilovače referenčního proudu. Zdroj referenčního napětí pracuje v tomto případě na velmi velkém vstupním odporu, což je v mnoha případech velmi žádání. Důležité však je, aby záporné referenční napětí bylo kladněji nejméně o  $3\text{ V}$  než záporné napájecí napětí  $U_{EE}$ . Jinak by nebyla zaručena funkce zesilovače referenčního proudu.

Kompenzace zesilovače referenčního proudu je nezávislá na polaritě referenčního napětí. Závisí pouze na odporu rezistoru, připojeného k vývodu 14. V této souvislosti je nutné připomenout, že proud vývodu 14 musí vždy protékat směrem do integrovaného obvodu. Práce se zápornými referenčními proudy není možná. Obdobně to platí pro všechny bipolární převodníky D/A.

### Násobení

Obvody řady MC1408, MC1508 se mohou rovněž používat se dvěma zdroji referenčního napětí v zapojení podle obr. 27. Jak je možné odvodit z již popsaných příkladů zapojení, je pro referenční proud rozhodující rozdíl obou napětí podle vztahu

$$I_{REF} = \frac{U_{REF1} - U_{REF2}}{R_{REF}} \quad (5).$$

Protože referenční proud nesmí být záporný, platí podmínka

$$U_{REF1} \geq U_{REF2}.$$

Napětí  $U_{REF2}$  musí být z již dříve uvedených důvodů nejméně o  $3\text{ V}$  kladněji než záporné napětí  $U_{EE}$ .

Předností zapojení na obr. 27 je možnost zpracovávat bipolární referenční napětí, tedy i napětí střídavé. Při zachování podmínek vztázených ke znaménku referenčního proudu dostaneme dvě možnosti:

1. Zvolit pro  $U_{REF1}$  kladné napětí velikosti, která se rovná maximální amplitudě střídavého napětí  $U_{REF2}(t)$ .

2. Zvolit pro  $U_{REF2}$  záporné napětí velikosti, která se rovná maximální amplitudě střídavého napětí  $U_{REF1}(t)$ .

V případě 1 platí analogicky se vztahem (5)

$$I_{REF}(t) = \frac{U_{REF1} - U_{REF2}(t)}{R_{REF}} \quad (6),$$

kde  $U_{REF2}(t)$  je v kladném maximu rovno  $U_{REF1}$ , v záporném maximu je rovno  $-U_{REF1}$ . V důsledku toho se pohybuje referenční proud v následujících mezích

$$0 \leq I_{REF}(t) \leq \frac{2U_{REF1}}{R_{REF}} \quad (7).$$

Tím je požadovaná vstupní podmínka splňena vzhledem k polaritě referenčního proudu. Rozbor případu 2 vede ke stejně hranici referenčního proudu. Obě obvodové varianty se odlišují pouze ve vstupním odporu pro zdroj střídavého napětí a v poloze fáze výstupního signálu. Případ 1 je s malou impedancí (vstupní odpor odpovídá  $R_{REF}$ ) a neinvertuje vstupní signál  $U_{REF}(t)$ . Kladné maximum napětí  $U_{REF2}$  vede podle vztahu (6) k nulovému referenčnímu proudu a tím k výstupnímu napětí  $0\text{ V}$ , které odpovídá kladnému maximu.

Případ 2 je naproti tomu s velkou impedancí a invertuje vstupní signál.

Uvedeným způsobem je možné přenášet převodníkem střídavé napětí, jejichž kmitočet směrem nahoru je omezen jen náběhovou strmostí zesilovače referenčního proudu ( $4\text{ mA}/\mu\text{s}$ ). Amplituda na výstupu může být ovlivněna pouze přivedeným číslicovým slovem na vstupu.

Bude-li číslicové slovo na vstupech  $B_8$  až  $B_1$  v dekadickém tvaru, bude platit

$$I_0 = I_{REF} \frac{N}{256} \quad (8),$$

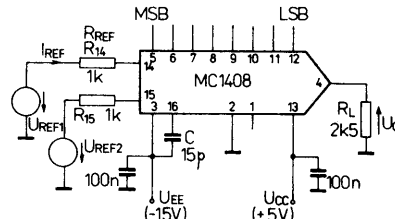
kde za  $N$  můžeme zvolit hodnotu od 0 do 255. Pomocí vztahu (1) dostaneme

$$I_0 = \frac{N \cdot U_{REF}}{256 \cdot R_{REF}} \quad (9),$$

a napětí

$$U_0 = \frac{R_L}{256 \cdot R_{REF}} \cdot N \cdot U_{REF} \quad (10).$$

Poslední rovnice stanoví, že výstupní napětí  $U_0$  je výsledkem digitálního čísla  $N$  a referenčního napětí  $U_{REF}$ . Platí jen pro kladná napětí  $U_{REF}$ , v zapojení podle obr. 27 je však možné zpracovávat i bipolární napětí. Za



Obr. 27. Převodník D/A řady MC1408 se dvěma kladnými referenčními napětími a záporným výstupním napětím

předpokladu, že  $U_{REF1}$  je stejnosměrné napětí a  $U_{REF2}(t)$  napětí střídavé, je možné ze vztahu (10) určit

$$U_0(t) = \frac{R_L}{256 \cdot R_{REF}} (U_{REF1} - U_{REF2}(t)) \cdot N \quad (11).$$

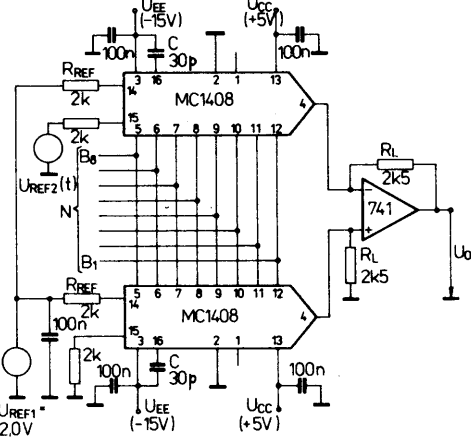
Zapojení podle obr. 27 může proto násobit střídavé napětí  $U_{REF2}(t)$  s binárním číslem  $N$ . Podle okolností je nevýhodné, že mimo střídavou složku, definovanou podle vztahu

$$\frac{R_L \cdot U_{REF2}(t) \cdot N}{256 \cdot R_{REF}} \quad (12)$$

vzniká ještě i stejnosměrná složka

$$\frac{R_L \cdot U_{REF1} \cdot N}{256 \cdot R_{REF}} \quad (13),$$

která se mění s binárním číslem  $N$ . Tuto složku můžeme potlačit tak, že druhým převodníkem D/A stejněho typu vytvoříme opět



Obr. 28. Dva převodníkové obvody D/A MC1408 v zapojení jako dvoukvadrantová násobička

další stejnosměrnou složku s opačným znaménkem, celkovou funkcí je odečteme, takže nakonec zbude pouze střídavá složka. Popsané zapojení nazýváme dvoukvadrantový násobiček. Jeho elektrické zapojení je uvedeno na obr. 28.

Horní převodník na obr. 28 vytváří výstupní signál odpovídající (11), dolní převodník signál, odpovídající vztahu (13), takže bude platit

$$\frac{R_L \cdot U_{REF1} \cdot N}{256 \cdot R_{REF}}$$

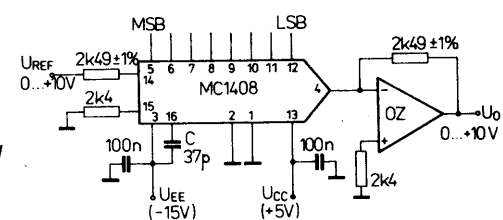
Na výstupu operačního zesilovače bude k dispozici rozdíl obou vztahů, tedy

$$U_0(t) = -\frac{R_L}{256 \cdot R_{REF}} U_{REF2}(t) \cdot N \quad (14).$$

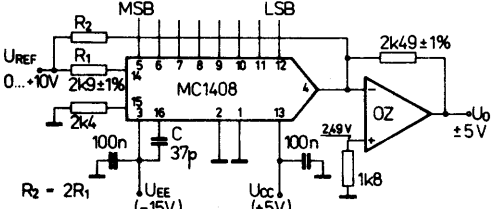
Tento vztah obsahuje pouze střídavé složky napětí. Znaménko – (minus) znamená, že při přenosu následuje otočení fáze.

### Jedno a dvoukvadrantový násobičí převodník D/A

Na obr. 29 a 30 jsou uvedeny další příklady použití převodníkových obvodů MC1408 jako jedno a dvoukvadrantový násobičí převodník. Kladné referenční napětí 0 až  $-10\text{ V}$  se přivádí na vývod 14 přes sériový rezistor  $2.5\text{ k}\Omega$ . Vstupní referenční napětí, avšak záporné, může se přivést případně na vývod 15 při velké vstupní impedance. U dvoukvadrantového násobičího převodníku je vstupní



Obr. 29. Zapojení jednoduchého jednokvadrantového násobičího převodníku D/A s obvodem MC1408 s výstupním napětím od 0 do  $10\text{ V}$

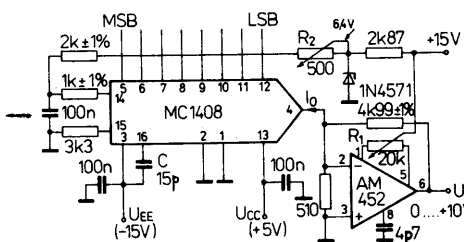


Obr. 30. Zapojení jednoduchého dvoukvalitativního násobicího převodníku D/A s obvodem MC1408 s bipolárním výstupním napětím  $\pm 5$  V

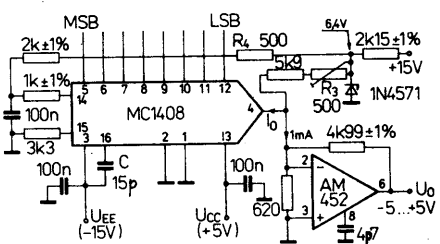
napětí  $U_{REF}$  unipolární, číslicový vstup je bipolární s ofsetovým binárním kódováním. Výstupní napětí je pak bipolární proměnné v rozsahu  $\pm 5$  V. V násobicím zapojení se doporučuje, aby při plném rozsahu byl referenční proud  $R_{REF}$  max. 4 mA. Výstup je pak monotonní s proměnným referenčním proudem 0,5 až 4 mA.

#### Převodník s rychlým unipolárním a bipolárním napěťovým výstupem

Požaduje-li se velmi krátká doba ustálení převodníku v jakémkoliv unipolárním nebo bipolárním provozu, doporučuje se použít ve spojení s převodníkem MC1408 velmi rychlý monolitický operační zesilovač (např. AM452 výrobce Datel) se šírkou přenášeného pásma 20 MHz, dobou ustálení 200 ns a vstupním odporem 100 M $\Omega$ . Praktické zapojení rychlých převodníků je na obr. 31



Obr. 31. Velmi rychlý převodník D/A s obvodem MC1408 s unipolárním výstupním napětím 0 až +10 V a dobou ustálení průměrně 600 ns na 1 LSB. Trimr  $R_1$  slouží k nastavení nuly,  $R_2$  k nastavení plného rozsahu



Obr. 32. Velmi rychlý převodník D/A s obvodem MC1408 s výstupním napětím v rozsahu −5 V až +5 V a dobou ustálení průměrně 600 ns na 1 LSB. Trimr  $R_3$  slouží k nastavení nesymetrie,  $R_4$  k nastavení zisku

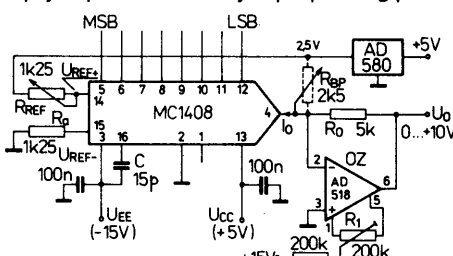
a 32. Obě zapojení se zavedeným způsobem kompenzace mají dobu ustálení výstupu průměrně 600 ns pro změnu napětí 10 V na 1 LSB. Platí to pro nejhorší případ doby ustálení, kdy na všechny vstupy převodníku se přivede signál s úrovní H. Při proudovém výstupu a zatěžovacím odporem menším než 500  $\Omega$  činí doba ustálení asi polovinu – průměrně 300 ns. Jestliže se přivede na všechny vstupy signál s úrovní L, je doba ustálení kratší – průměrně 100 ns. Zapojení na obou obrázcích ukazují jednoduchou metodu odvození referenčního a ofsetového proudu z přesného stabilizovaného zdroje napětí 6,4 V se Zenerovou diodou 1N4571 s napětím 6,4 V.

K využívání obvodů s převodníky se používají kódovací tabulky. Nejdříve se však musí vybrat žádaný výstupní rozsah pomocí zpětnovazebního odporu vnějšího operačního zesilovače a vnějšího programovatelného referenčního proudu. Nula a ofsetový proud operačního zesilovače se nastavují podle druhu provozu. Při unipolárním provozu se přivede na všechny vstupy signál s úrovní L (0 V až +0,8 V) a výstupní zesilovač se nastaví potenciometrem  $R_1$  (nastavení nuly) na nulové výstupní napětí. Při bipolárním provozu se přivede na vstupy převodníku rovněž signál s úrovní L, avšak potenciometrem  $R_3$  (nastavení ofsetu) se nařídí záporné napětí výstupního zesilovače pro plný rozsah podle kódovací tabulky.

Zisk pro oba druhy provozu (unipolární a bipolární) se nastavuje přivedením signálu s úrovní H (+2,0 až +5,5 V) na všechny číslicové vstupy převodníku. Potenciometrem  $R_4$  (nastavení zisku) se nastaví kladné napětí pro plný rozsah podle kódovací tabulky 8.

#### Převodník s pevným výstupním napětím

Malá impedance výstupního napětí může být odvozena z výstupního proudu převodníku D/A použitím výstupního zesilovače v zapojení podle obr. 33. Výstupní proud  $I_0$  pro-



Obr. 33. Převodník D/A s obvodem MC1408 s pevným výstupním a referenčním napětím. Jako zdroj přesného referenčního napětí 2,5 V s přesností  $\pm 0,4\%$  slouží integrovaný obvod AD580

téká rezistorem  $R_0$  a vytváří kladné napětí na výstupu operačního zesilovače OZ1. Rezistor  $R_0$  se zvolí pro žádaný rozsah výstup-

ního napětí podle vztahu

$$U_0 = \frac{U_{REF}}{R_{REF}} \cdot R_0 \left( \frac{B_7}{2} + \frac{B_6}{4} + \frac{B_5}{8} + \frac{B_4}{16} + \frac{B_3}{32} + \frac{B_2}{64} + \frac{B_1}{128} + \frac{B_0}{256} \right)$$

Nastavením referenčního napětí, referenčního odporu nebo odporu  $R_0$  tak, aby na všech číslicových vstupech byla logická úroveň H, dostaneme po dosazení do výše uvedeného vztahu výstupní napětí  $U_O$ . Tak např. pro napětí  $U_O = 9,961$  V zvolíme

$$U_0 = \frac{2,5 \text{ V}}{1,25 \text{ k}\Omega} \cdot 5 \text{ k}\Omega \left( \frac{1}{2} + \frac{1}{4} + \frac{1}{8} + \frac{1}{16} + \frac{1}{32} + \frac{1}{64} + \frac{1}{128} + \frac{1}{256} \right) = 961 \text{ V.}$$

Požadujeme-li bipolární výstupní napětí, doplníme popsaný obvod přidavným rezistorem  $R_{BP}$  (v obrázku vyznačen čárkovaně). Jeho úkolem je zajistit na ofsetu polovinu napětí na výstupu operačního zesilovače OZ1 při plné stupnici. Postup při kalibrování obvodu podle obr. 33 následuje.

#### Kalibrace unipolárního výstupního napětí (bez rezistoru $R_{BP}$ ):

a – Na všech vstupech převodníku bude signál s úrovní L, využívající potenciometr  $R_1$  operačního zesilovače nastavíme tak, aby na výstupu zesilovače bylo nulové napětí  $U_O = 0,00$  V.

b – Na všechny vstupy převodníku přivedeme signál s úrovní H, referenční rezistor  $R_{REF}$  nastavíme tak, aby pro výstupní napětí při jmenovitém plném rozsahu minus 1 LSB bylo napětí právě  $U_O = +9,961$  V.

#### Kalibrace bipolárního výstupního napětí (rezistor $R_{BP}$ připojen, potenciometr $R_1$ není zapotřebí):

a – Na všech vstupech převodníku zajistíme signál s úrovní L, rezistor  $R_{BP}$  nastavíme tak, aby na výstupu bylo napětí  $U_O = -FS = -5,000$  V.

b – Na vstup  $B_8$  (MSB) se přivede signál s úrovní H, všechny ostatní vstupy budou na úrovni L, referenční rezistor  $R_{REF}$  se nastaví tak, aby na výstupu bylo nulové napětí  $U_O = 0,000$  V.

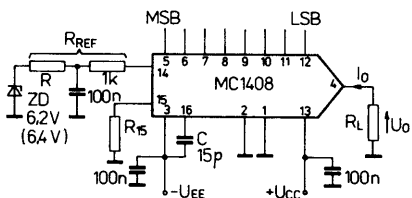
c – Na všechny vstupy převodníku se přivede signál s úrovní H, tím se potvrdí, že výstupní napětí  $U_O = +5,000$  V – 1 LSB = +4,961 V.

Referenční zesilovač se musí externě kompenzovat kondenzátorem C, připojeným z vývodu 16 na přívod záporného napájecího napětí  $-U_{CC}$  (vývod 3). Kompenzační kondenzátor se může připojit rovněž mezi vývod 16 a zemní potenciál. Připojení k vývodu 3 však zlepšuje závislost ovlivňování při změnách záporného napájecího napětí. Kapacita kondenzátoru C závisí na odporu rezistoru  $R_{14}$ . Pro typický odpor rezistoru  $R_{14}$

Tab. 8. Kódovací a využívající tabulky  
Unipolární provoz – přímé binární kódování

Vstupní kód	Rozsah unipolárního výstupu			
	MSB	LSB	0...+5 V	0...+10 V
H H H H H H H H	+4,980 V	+9,961 V	-1,992 mA	-3,984 mA
H H H L L L L L L	+4,375 V	+8,750 V	-1,750 mA	-3,500 mA
H H L L L L L L L	+3,750 V	+7,500 V	-1,500 mA	-3,000 mA
H L L L L L L L L	+2,500 V	+5,000 V	-1,000 mA	-2,000 mA
L H L L L L L L L	+1,250 V	+2,500 V	-0,500 mA	-1,000 mA
L L L L L L L L H	+0,020 V	+0,039 V	-0,008 mA	-0,016 mA
L L L L L L L L L L	0,000 V	0,000 V	0,000 mA	0,000 mA

Vstupní kód	Rozsah bipolárního výstupu			
	MSB	LSB	±5 V	±10 V
H H H H H H H H	+4,961 V	+9,922 V	-0,992 mA	-1,984 mA
H H H L L L L L L	+3,750 V	+7,500 V	-0,750 mA	-1,500 mA
H H L L L L L L L	+2,500 V	+5,000 V	-0,500 mA	-1,000 mA
H L L L L L L L L	0,000 V	0,000 V	0,000 mA	0,000 mA
L H L L L L L L L	-2,500 V	-5,000 V	+0,500 mA	+1,000 mA
L L L L L L L L H	-4,961 V	-9,922 V	+0,992 mA	+1,984 mA
L L L L L L L L L L	-5,000 V	-10,000 V	+1,000 mA	+2,000 mA



Obr. 34. Kompenzační zapojení převodníku D/A MC1408

platí typická kapacita C:

$$R_{14} = 1000, 2500, 5000 \Omega$$

$$C = 15, 37, 75 \text{ pF}$$

Kompenzace referenčního zesilovače se doporučuje především při použití převodníků MC1408 jako násobících převodníků D/A. Vhodná kompenzace zabezpečuje, že výstupní „špičky“ se neprojeví škodlivě, jestliže referenční napětí změní skokově svou velikost. Jestliže je vývod 14 buzen z prourového zdroje s velkou impedancí, např. z kolektoru tranzistoru, musí se použít kompenzační kondenzátor s větší kapacitou než udává výše uvedená tabulka. Úprava se projeví nezádoucím podstatným zmenšením šířky pásma referenčního zesilovače.

Jiný způsob kompenzace je uveden v zapojení na obr. 34. Rezistor 1 kΩ je vždy zapojen ve vývodu 14, sériově je však s ním zapojen další rezistor R, který vede ke zdroji referenčního napětí. Bod spojení obou rezistorů je blokován vůči zemi kondenzátorem s kapacitou 100 nF. Z hlediska vysokých kmitočtů má vývod 14 vždy odpor 1 kΩ, proto se musí používat kondenzátor C s kapacitou 15 pF. Použije-li se rezistor R<sub>15</sub>, jeho odpor se má rovnat součtu odporu 1 kΩ a R. Jako zdroj referenčního napětí se doporučuje používat Zenerovu diodu s napětím 6,2 nebo 6,4 V.

Doba ustálení závisí do jisté míry na odporu zatěžovacího rezistoru R<sub>L</sub>. Při odporu od 0 do 500 Ω je doba ustálení typicky 300 ns a v tomto rozsahu se prakticky nemění. Při odporu 1 kΩ se typická doba ustálení prodlouží asi na 400 ns. Zvětší-li se zatěžovací odpor na 2500 Ω, prodlouží se doba ustálení až na 1200 ns.

## Převodníky D/A 8 b řady DAC-08

Řada převodníkových integrovaných obvodů obsahuje několik typů, které se navzájem odlišují rychlosťí, přesností a dovoleným rozsahem teplot. Funkčně jsou konstruovány obdobně s převodníkovými obvody řady MC1408, mohou je proto prakticky bez problémů nahradit. V některých vlastnostech se od nich odlišují, především v těchto bodech:

- navíc jsou vybaveny invertujícím výstupem,
- rozsah výstupního napětí je podstatně větší,
- obvody nemají vývod pro řízení výstupního rozsahu; místo něj je možné pomocí vývodu LC (řízení prahové logiky) optimalizovat budící číslicový obvod s ohledem na rušivý odstup,
- rychlosť převodu je větší, teplotní vlastnosti jsou příznivější a vazba mezi referenčním proudem a konečnou hodnotou rozsahu je pevná,
- strmost náběžné hrany (spínací poměr) referenčního proudu je větší,
- připouští se větší napájecí napětí, což usnadňuje slučitelnost s různými řadami logických obvodů, jejichž napájecí napětí je větší než 5,5 V.

Základní provedení převodníkových obvodů DAC-08C má relativní přesnost ±0,39 %, dovolený rozsah provozních teplot okolo je od 0 do +70 °C.

Výběrové převodníkové obvody DAC-08C se vyznačují ve stejném dovoleném rozsahu provozních teplot relativní přesností ±0,19 %, navíc mají lepší symetrii konečné hodnoty rozsahu obou výstupních proudů, a menším maximálním zbytkovým výstupním proudem za předpokladu, že všechn osm vstupů bude mít úroveň L. Převodník DAC-08Q má při stejných vlastnostech jako DAC-08E dovolen provoz v širokém rozsahu provozních teplot okolo od -55 do +125 °C.

Pro elektronické obvody, u nichž se vyžaduje zvláště velká rychlosť a přesnost, jsou určeny převodníkové obvody DAC-08H a DAC-08AQ, které mohou pracovat v rozsahu teplot od 0 do +70 °C a v rozšířeném rozsahu od -55 do +125 °C. Oba obvody mají relativní přesnost ±0,1 %. Ve srovnání s již popisovanými typy uvádí výrobce v jejich katalogovém listu též rozdílovou linearitu (prům. 0,1 %, max. 0,19 %), údaje při nejhorších pracovních podmínkách pro teplotní součinitel max. ±50 ppm/K a náběhové strmosti zesilovače referenčního proudu (min. 4 mA/μs). Navíc mají tyto součástky lepší symetrii konečné hodnoty rozsahu obou výstupních proudů, dále menší maximální zbytkový proud, lepší potlačení změn záporného napájecího napětí a kratší dobu ustálení.

## Funkce a vlastnosti převodníků řady DAC-08

Převodníkové obvody řady DAC-08 jsou složeny ze tří funkčních jednotek: referenčního zesilovače, rezistorové jednotky R-2R

a osmi rychlých proudových spínačů. Konstrukce je obdobná jako u převodníků MC1408. Funkční skupinové zapojení převodníkových obvodů řady DAC-08 všech výrobců je uvedeno na obr. 35, a to bez ohledu na to, jaký typový znak mají přidělen.

Porovnáním skupinových zapojení zjistíme, že oba vývody proudových spínačů S<sub>8</sub> až S<sub>1</sub> jsou vyvedeny jako normální výstup I<sub>0</sub> a jako invertující výstup Ī<sub>0</sub>. Jak vyplývá z funkčního skupinového zapojení, je součet obou proudů vázán s referenčním proudem vztahem

$$I_0 + I_{\bar{0}} = I_{\text{REF}} \frac{255}{256}$$

Součet obou proudů se označuje jako I<sub>FS</sub>, tedy proud po plný rozsah.

Jiný je způsob vazby referenčního proudu ze zesilovače referenčního proudu do rezistorové jednotky R-2R. Zatímco u převodníků MC1408 se odebírá proud ze základního bodu rezistorové jednotky pomocí generátoru proudu, u převodníků DAC-08 je vazba provedena rozdělením proudu z vazebního tranzistoru T<sub>10</sub> do sítě vodičů (tranzistory T<sub>1</sub> až T<sub>9</sub>).

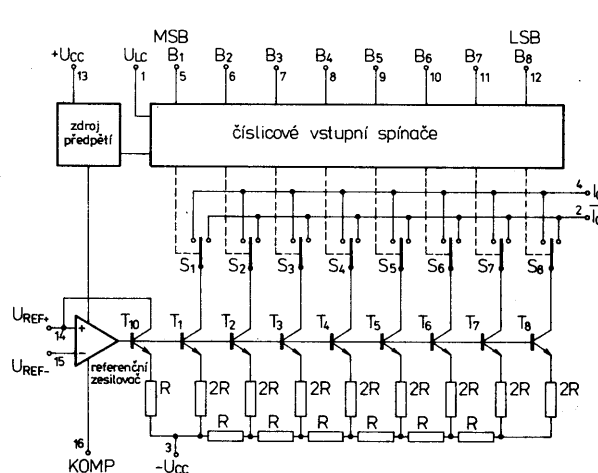
Všechny integrované obvody převodníků řady DAC-08 se napájejí symetrickým napětím, vlastní převodník nemusí být připojen k zemnímu potenciálu. Vztažný potenciál je však žádoucí pro vnější připojené spolupracující logické obvody, proto se převodníky pojednávají se dvěma napájecími napětěmi (+U<sub>CC</sub> a -U<sub>CC</sub>) vůči vztažnému potenciálu. Symetrické napájení však není nutné, neboť převodníky jsou necitlivé vůči změnám napájecích napětí. Dovolené je rovněž napájení z baterie s virtuálním zemním bodem bez jakéhokoli omezení.

Napětí mezi vývody +U<sub>CC</sub> a -U<sub>CC</sub> se však nesmí zmenšit pod hranici 8 V, neboť při menším napětí vypadne funkce vnitřního proudového napájení. Při provozu s malým napájecím napětím se doporučuje používat referenční proud max. 1 mA, protože záporná maximální odchylka klesá s narůstajícím referenčním proudem. Doporučené napájecí napětí převodníků řady DAC-08 je ±15 V, referenční proud 2 mA.

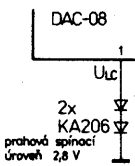
Vývody pro připojení napájecích napětí +U<sub>CC</sub> a -U<sub>CC</sub> se doporučuje vždy přemostit kvalitním kondenzátorem 100 nF proti zemi. Číslicové vstupy B<sub>8</sub> až B<sub>1</sub> řídí přes osm vstupních spínačů proudové spínače S<sub>8</sub> až S<sub>1</sub>. Rozhoduje, zda výstupní proud rezistorové jednotky má být odebírány z normálního nebo invertujícího výstupu. Uspořádání spínačů je vůči normálnímu výstupu I<sub>0</sub> neinvertující. Signál s úrovní H na číslicovém vstupu přepíná příslušný dílčí proud z invertujícího výstupu Ī<sub>0</sub> na normální výstup I<sub>0</sub> (neinvertující).

Připojením napětí vhodné velikosti k vývodu LC je možné změnit prahovou úroveň spínání ve velmi širokém rozmezí. Prahové spínací napětí je větší o dva úbytky napětí na diodách (1,4 V), než napětí na vývodu LC. Horní hranice napětí U<sub>LC</sub> je o 1,5 V menší než napájecí napětí +U<sub>CC</sub>. Dolní hranice tohoto napětí závisí v důsledku úbytku napětí na rezistorové jednotce na velikost referenčního proudu. Platí vztah

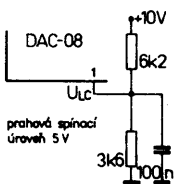
$$+U_{CC} - 1,5 \text{ V} \geq U_{LC} \geq -U_{EE} + I_{\text{REF}} \cdot 1 \text{ k}\Omega + 2,5 \text{ V}$$



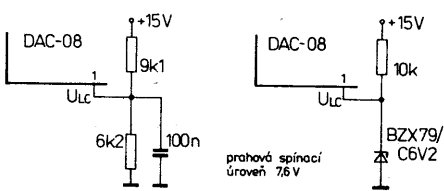
Obr. 35. Funkční skupinové zapojení převodníků D/A 8 b řady DAC-08



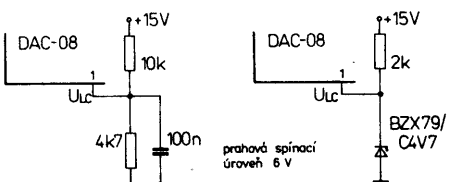
Obr. 36. Zapojení vývodu LC obvodu DAC-08 při spolupráci s logikou CMOS s napájecím napětím 5 V; spínací prahová úroveň 2,8 V



Obr. 37. Zapojení vývodu LC obvodu DAC-08 při spolupráci s logikou CMOS s napájecím napětím 10 V; spínací prahová úroveň 5 V



Obr. 38. Dva způsoby zapojení vývodu LC obvodu DAC-08 při spolupráci s logikou CMOS, HTL, HNIL s napájecím napětím 15 V; spínací prahová úroveň 7,6 V



Obr. 39. Dva způsoby zapojení vývodu LC obvodu DAC-08 při spolupráci s logikou LSL; spínací prahová úroveň 6 V

Používá-li se převodník DAC-08 ve spojení s logikou TTL nebo DTL, připojí se vývod LC jednoduše na zemní potenciál. Na obrázcích 36 až 42 je znázorněno, jakým způsobem se vývod LC připojuje při spolupráci s různými řadami logických obvodů, má-li se dosáhnout maximální odolnosti proti rušení. Při zapojování vývodu LC se musí vždy počítat s tím, že tento vývod může odevzdat proud nejvíce do 200  $\mu$ A. Přesná velikost proudu vždy závisí na dimenzování vnějších součástek. Je-li žádoucí krátká doba ustálení převodníku, musí se použít malá impedance na vývodu LC. Je-li vývod LC připojen k napěťovému děliči s vnitřním odporem větším než 1 k $\Omega$ , může se připojit proti zemi kapacitní zátěž s kondenzátorem nejméně 10 nF (viz obr. 37, 38, 39).

Převodníkové obvody DAC-08 mohou zpracovávat logické signály s velkou úrovní. Nejmenší nízká úroveň L má však být

$$U_{IL} = -U_{CC} + I_{REF} \cdot 1 \text{ k}\Omega + 2,5 \text{ V}$$

Největší vysoká úroveň H má být 36 V nad úrovni záporného napájecího napětí  $-U_{CC}$ . Tato napěťová úroveň není závislá na napájecím napětí  $+U_{CC}$ . Přímá spolupráce převodníků DAC-08, napájených malým symet-

rickým napětím  $\pm 5$  V je proto možná s obvody logiky CMOS, napájenými napětím +15 V. Dodržet se přitom musí pouze velikost napětí na vývodu LC, která nesmí překročit 3,5 V.

Zesilovač referenčního proudu převodníku DAC-08 se odlišuje od zesilovače v MC1408 jen způsobem vazby referenčního proudu v rezistorové jednotce R-2R. Zatímco u MC1408 je výstup zesilovače vytvořen jako proudový generátor, který odebírá součet proudů ze základního bodu rezistorové jednotky (viz funkční skupinové zapojení MC1408), je u převodníků DAC-08 referenční proud vázán proudovým zrcadlem v rezistorové jednotce (obr. 35). Tímto způsobem se dosáhne těsnější vazby mezi referenčním proudem a konečnou hodnotou rozsahu výstupního proudu. U převodníků DAC-08 se konečná hodnota rozsahu výstupního proudu odchyluje bez využití max.  $\pm 0,4\%$ , což odpovídá  $\pm 1$  LSB jmenovité hodnoty. V důsledku této přesnosti nemí nutné v mnoha případech další vyvažování.

Záporný rozsah soufázovosti zesilovače referenčního proudu je omezen úbytkem napětí v rezistorové jednotce R-2R. Platí proto vztah

$$U_{CM-} = -U_{CC} + I_{REF} \cdot 1 \text{ k}\Omega + 2,5 \text{ V}.$$

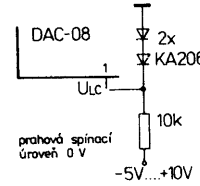
Kladný rozsah soufázovosti jde až 1,5 V pod napětí  $+U_{CC}$ , proto platí

$$U_{CM+} = +U_{CC} - 1,5 \text{ V}.$$

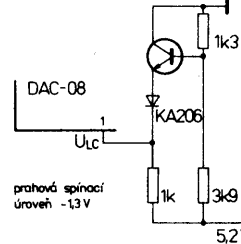
Tepelná závislost konečné hodnoty rozsahu výstupních proudů klesá se zvětšujícím se referenčním napětím, neboť vliv rozdílového napětí a jeho teplotní součinitel se zmenšují. Nejvhodnější je referenční napětí 10 V. Katalogový list převodníků DAC-08 uvádí tepelnou závislost průměrně  $\pm 10 \text{ ppm/K}$ . Chceme-li dosáhnout co nejvíce zvětšit vlastností posuvu pro celý systém, musí mít referenční rezistor  $R_{REF}$  a zatěžovací rezistor  $R_L$  stejný teplotní součinitel. Volba tepelně stabilního zdroje referenčního napětí je přitom samozřejmá.

Zesilovač referenčního proudu převodníků DAC-08 se musí kompenzovat kondenzátorem C, připojeným mezi vývod 16 a záporný napájecí zdroj (vývod 3). Velikost kapacity závisí na velikosti impedance na vývodu 14 ( $R_{REF}$ ). Platí stejně závislosti jako u převodníků MC1408. Při odporu rezistoru  $R_{REF}$  1 k $\Omega$ , 2,5 a 5 k $\Omega$  je doporučena kompenzační kapacita 15, 37 a 75 pF. Použije-li se rezistor s větším odporem, je zapotřebí úměrně zvětšit kapacitu kompenzačního kondenzátoru. Tím se ovšem úměrně zmenší strmost náběžné hrany a šířka pásmá. Pro rychlá násobení a provoz s impulsně tvarovanými signály na referenčním vstupu se musí použít pokud možno co nejmenší odpor referenčního rezistoru. Při rezistoru  $R_{REF} = 1 \text{ k}\Omega$  a kapacitě  $C = 50 \text{ pF}$  je strmost náběžné hrany 4 mA/ $\mu$ s, což odpovídá zvýšení referenčního proudu z nulové velikosti na 2 mA během doby 500 ns.

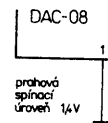
Zapojení zvlášť rychle pracujícího převodníku D/A je znázorněno na obr. 43. Kritická impedance pro kompenzaci odpovídá paralelnímu zapojení rezistorů  $R_V$  a  $R_P$ . Je-li jejich odpor menší než 200  $\Omega$ , je zesilovač referenčního proudu stabilní i bez vnější kompenzace. Konečné hodnoty rozsahu 2 mA se v tomto případě dosáhne po 120 ns a to odpovídá strmosti náběžné hrany 16 mA/ $\mu$ s. Tento velikost je možné dosáhnout jen při konstrukci s velmi malými kapacitami. Podmínkou jsou co nejkraťší přívody



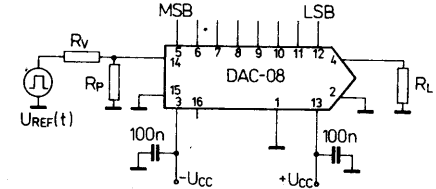
Obr. 40. Zapojení vývodu LC obvodu DAC-08 při spolupráci s logikou PMOS; spínací prahová úroveň 0 V



Obr. 41. Zapojení vývodu LC obvodu DAC-08 při spolupráci s logikou ECL 10K; spínací prahová úroveň -1,3 V



Obr. 42. Zapojení vývodu LC obvodu DAC-08 při spolupráci s logikou TTL a DTL; spínací prahová úroveň 1,4 V

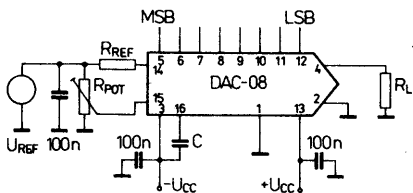


Obr. 43. Zapojení integrovaného obvodu DAC-08 s velkou strmostí náběžové hrany proudu referenčního zesilovače

a bezvadné, spolehlivě pájené zemnicí spoje. Využije-li se stejnosměrných referenčních napětí, doporučuje se kompenzační kapacita 10 nF. Zapojení je pak stabilní při odporu referenčního rezistoru až do 600 k $\Omega$ .

Požadavky na zdroj referenčního napětí jsou stejné jako u převodníků MC1408. Nedoporučuje se používat společný zdroj pro napájení logických integrovaných obvodů jako zdroj referenčního napětí. Stejnosměrná referenční napětí mají být vždy přemostěna kondenzátorem s kapacitou 0,1  $\mu$ F proti zemi. Je-li v některých případech použití potřebné vyrovnat konečnou hodnotu rozsahu, může se použít jako referenční rezistor rezistorový trimr, ovšem velmi kvalitní konstrukce. Musíme však počítat s tím, že teplotní součinitel proměnného odporu vždy ovlivňuje přesnost celého zapojení. Zapojení na obr. 44 znázorňuje způsob omezení teplotní závislosti. Pomocí rezistoru  $R_{POT}$  se změní potenciál na vstupech operačního zesilovače (vývody 14 a 15), čímž se zmenší stejnou mírou napětí na rezistoru  $R_{REF}$ . Teplotní součinitel zůstává zde bez účinku, neboť poměr děliče i při změnách celkového odporu rezistoru  $R_{POT}$  zůstává konstantní.

Chceme-li současně kompenzovat vliv vstupního klidového proudu, musí se zapo-



Obr. 44. Zapojení pro vyvážení výstupního proudu integrovaného obvodu DAC-08 na konečnou hodnotu rozsahu

jení navrhovat tak, aby se odporník rezistoru  $R_{POT}$  rovnal  $11R_{REF}$  a pro přesné vyvážení byl dělicí poměr asi 1:9. Vstupní odporník referenčního vývodu (15) je v tomto případě roven približně referenčnímu odporu.

Jak již bylo uvedeno na začátku, převodník má k dispozici dva komplementární výstupy  $I_o$  a  $\bar{I}_o$ . Jsou provedeny jako proudové výstupy a jejich předností je, že snáší velký rozdíl výstupního napětí. Odchýlení k záporným napětím je omezeno úbytkem napětí v rezistorové jednotce R-2R podle vztahu

$$U_{O \min} = -U_{CC} + I_{REF} \cdot 1 \text{ k}\Omega + 2,5 \text{ V}.$$

Maximální kladná odchylka má velikost o 36 V větší než záporné napájecí napětí  $-U_{CC}$ , tedy

$$U_{O \max} = -U_{CC} + 36 \text{ V}.$$

V důsledku velkého výstupního zdvihu je možná přímá proudová – napěťová transformace pomocí rezistoru, připojeného k zemnicímu nebo jinému referenčnímu potenciálu. Mnohdy není proto nutný přídavný výstupní zesilovač. V případech, kdy se mají zpracovávat rozdíly napětí, zdvojnásobí se mezi výstupním zdvihem výstupního napětí.

Jestliže je binární informace 8 b na číslicovém vstupu ve tvaru desítkového čísla  $N$ , platí mezi referenčním proudem a oběma výstupními proudy následující vztahy

$$I_o = I_{REF} \frac{N}{256},$$

$$\bar{I}_o = I_{REF} \frac{255 - N}{256}.$$

Číslo  $N$  může mít velikost od 0 do 255. Součet obou proudů je konstantní a odpovídá konečné hodnotě rozsahu  $I_{FS}$ . Proto platí

$$I_{FS} = I_{REF} \frac{255}{256}.$$

Jestliže se jeden z obou výstupů nepoužije, musí se nepoužitý výstup připojit na zemní nebo jiný potenciál uvnitř dovoleného pracovního rozsahu. Nepoužitý vývod musí být ve stavu, který vyvolá konečný rozsah výstupního proudu  $I_{FS}$ . Nepoužitý výstup se v žádném případě nesmí ponechat volný, neboť by se tím posunula proudová bilance v rezistorové jednotce R-2R.

Extrémně lineární rozsah mezi referenčním proudem a konečnou hodnotou rozsahu v širokém proudovém rozmezí od 4 mA do 4  $\mu$ A je přičinou, proč mají převodníkové obvody DAC-08 velmi dobré násobící vlastnosti. Monotonní chování převodníků je typická vlastnost v rozsahu od 4 mA do 100  $\mu$ A.

Převodníky D/A řady DAC-08 se vyznačují velmi krátkou dobou ustálení. Tento parametr se u výrobků různých výrobců odlišuje, průměrně je udáván od 70 do 135 ns. Uvedené doby ustálení platí při teplotě 25 °C a při referenčním proudu 2 mA. Při teplotě -55 °C se doba ustálení zkracuje asi o 10 %,

při teplotě +125 °C se naopak prodlouží asi o 15 %.

Doba ustálení při referenčních proudech větších než 1 mA je v podstatě konstantní, při proudech menších se však poněkud zvětší.

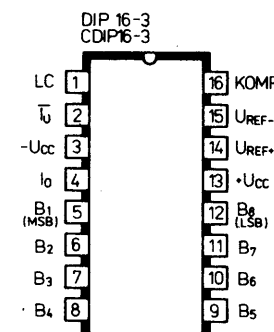
Výstupní kapacita převodníků (včetně kapacity pouzdra, v němž je převodník dodáván) je asi 15 pF. Při ideálním proudovém skoku řádově stejně velkém jako je konečný rozsah, bude zákmit (na 1/2 LSB), podmíněný výstupní časovou konstantou, trvat po dobu

$$t = R_L C \ln 512.$$

Použije-li se zatěžovací rezistor s odporem 500  $\Omega$  a zatěžovací kapacita 15 pF, bude výsledná doba  $t = 46,8$  ns. Tato doba je sice kratší než doba ustálení, řádově je však stejná. K měření doby ustálení se používá typizované zapojení podle obr. 45.

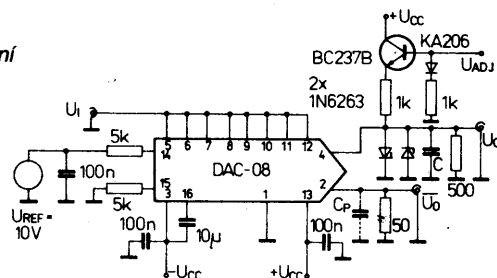
Velké pracovní rychlosti jsou prakticky dosažitelné pouze při pečlivém návrhu zapojení, pečlivém návrhu desky s plošnými spoji a při pečlivé vlastní montáži součástek. Hlavní podmírkou jsou co nejkratší přívody, co nejmenší nebo téměř žádné výstupní kapacity, malý odpor zatěžovacích rezistorů, blokování přívodů napájecích napětí kvalitními kondenzátory (nejlépe tantalovými nebo keramickými). Rovněž přívod referen-

Holandský výrobce Philips Components vyrábí převodníky DAC-08 ve složení podle tabulky 11. Jejich typové označení je mírně upravené a neshoduje se s označením předchozích dvojí výrobců. Ve starších podkladech označovala firma Philips tyto součástky znaky NE5007 až NE5009, SE5008 a SE5009, které převzala od své dceřiné americké společnosti Signetics. Součástky s tímto označením se již nedodávají, neboť je plně nahrazuje inovované provedení DAC-08. Vyskytuje se však dosud v různých zařízeních a literatuře.



Obr. 46. Zapojení vývodů DIP16-3 obvodů DAC-08 všech výrobců, NE5007, NE5008, NE5009, SE5008, SE5009 Philips, AD DAC-08 Analog Devices, DAC0800, DAC0801, DAC0802 National Semiconductor, μA0801 Fairchild, MDAC-08 TESLA

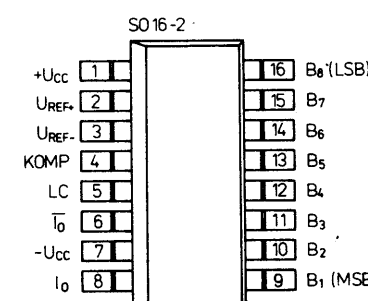
Obr. 45. Měřicí zapojení doby ustálení převodníku D/A řady DAC-08



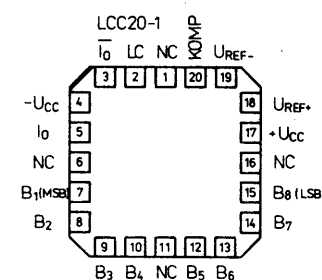
čního napětí a napětí na vývodu LC se musí obdobně blokovat proti zemnímu potenciálu kondenzátory s kapacitou alespoň 100 nF.

Souhrnný přehled základních vlastností převodníkových obvodů D/A 8 řady DAC-08 několika výrobců je v tab. 9. Zapojení vývodů jednotlivých součástek ve sloupci „Z“ se vztahuje k obr. 46, 47, 48. Funkce vývodů: LC – řízení prahového napětí;  $I_o$  – výstupní napětí,  $\bar{I}_o$  – invertované výstupní napětí;  $+U_{CC}$  – přívod kladného napájecího napětí;  $-U_{CC}$  – přívod záporného napájecího napětí;  $B_1$  až  $B_8$  – číslicové vstupy;  $U_{REF+}$  – přívod kladného referenčního napětí;  $U_{REF-}$  – přívod záporného referenčního napětí; KOMP – kompenzace referenčního zesilovače vnějším kondenzátorem C s kapacitou 15, 37 nebo 75 pF.

Převodníkové obvody řady DAC-08 vyrábí několik hlavních výrobců. Označují se různě, jejich elektrické údaje se často dosti odlišují, avšak jejich funkční použití je shodné. Hlavními výrobci obvodů této řady jsou americké firmy Motorola a Precision Monolithic Inc., které vyrábějí dosti širokou řadu převodníkových obvodů s relativní přesností 0,10, 0,19, 0,39 % FS. Dodávají se v keramických a plastových pouzdrech DIP-16, v plastovém pouzdru SO-16 a LCC-20, vhodných pro povrchovou montáž. Elektrické údaje těchto součástek jsou uvedeny v tab. 10.



Obr. 47. Zapojení vývodů SO16-2 int. obvodů DAC-08CD, DAC-08 ED, DAC-08CS Motorola, Precision Monolithics, DAC-08ED Philips



Obr. 48. Zapojení vývodů LCC20-1 int. obvodů DAC-08RC/883 Precision Monolithic

Tab. 9. Přehled základních vlastností převodníků D/A řady DAC-08

Typ	Roz-	Rel.	Doba	Napájecí	Ztrátový	Te-	Pouzdro	Výrob-	Zapojení
	li-	přesnost	ustálení	napětí	výkon	plot-		ce	vývodů
[b]	% FS	[ns]	[V]	[mW]					obr. č.
ADDAC-08	8	0,19	85≤135	±15	135	A	DIP16	AD	DIP16-3 46
ADDAC-08A	8	0,10	85≤135	±15	135	A	DIP16	AD	DIP16-3 46
ADDAC-									
-08AD	8	0,10	85≤135	±15	135	A	CDIP16	AD	DIP16-3 46
ADDAC-08C	8	0,39	85≤150	±15	135	D	DIP16	AD	DIP16-3 46
ADDAC-									
-08CD	8	0,39	85≤150	±15	135	D	CDIP16	AD	DIP16-3 46
ADDAC-08D	8	0,19	85≤135	±15	135	A	CDIP16	AD	DIP16-3 46
ADDAC-08E	8	0,19	85≤150	±15	135	D	DIP16	AD	DIP16-3 46
ADDAC-									
-08ED	8	0,19	85≤150	±15	135	D	CDIP16	AD	DIP16-3 46
ADDAC-08H	8	0,10	85≤135	±15	135	D	DIP16	AD	DIP16-3 46
ADDAC-									
-08HD	8	0,10	85≤135	±15	135	D	CDIP16	AD	DIP16-3 46
DAC-08AD	8	0,10	85≤150	±15	135	A	CDIP16	Ray	DIP16-3 46
DAC-08D/									
/883B	8	0,10	85≤150	±15	135	A	CDIP16	Ray	DIP16-3 46
DAC-08AF	8	0,10	70≤135	±15	156	A	CDIP16	P	DIP16-3 46
DAC-08AQ	8	0,10	85≤	±15	135	A	CDIP16	Mo, PMI	DIP16-3 46
DAC-08BC	8	0,19	85≤150	±15		D	DIP16	D	DIP16-3 46
DAC-08BM	8	0,19	85≤150	±15		A	CDIP16	D	DIP16-3 46
DAC-08CD	8	0,39	85	±15	135	D	SO-16	Mo	SO16-2 47
DAC-08CF	8	0,39	70≤135	±15	156	D	DIP16	P	DIP16-3 46
DAC-08CN	8	0,39	70≤135	±15	156	D	CDIP16	P	DIP16-3 46
DAC-08CP	8	0,39	85	±15	135	D	DIP16	Mo, PMI	DIP16-3 46
DAC-08CQ	8	0,39	85	±15	135	D	CDIP16	Mo, PMI	DIP16-3 46
DAC-08CS	8	0,39	85	±15	135	D	SO-16	PMI	SO16-2 47
DAC-08D	8	0,19	85≤150	±15	135	A	CDIP16	Ray	DIP16-3 46
DAC-08D/									
883B	8	0,19	85≤150	±15	135	A	CDIP16	Ray	DIP16-3 46
DAC-08ED	8	0,19	85	±15	135	D	SO-16	Mo	SO16-2 47
DAC-08ED	8	0,19	70≤135	±15	156	D	SO-16	P	SO16-2 47
DAC-08EF	8	0,19	70≤135	±15	156	D	CDIP16	P	DIP16-3 46
DAC-08EN	8	0,19	70≤135	±15	156	D	CDIP16	P	DIP16-3 46
DAC-08EP	8	0,19	85	±15	135	D	DIP16	Mo, PMI	DIP16-3 46
DAC-08EQ	8	0,19	85	±15	135	D	CDIP16	Mo, PMI	DIP16-3 46
DAC-08F	8	0,19	70≤135	±15	156	A	CDIP16	P	DIP16-3 46
DAC-08HF	8	0,10	70≤135	±15	156	D	CDIP16	P	DIP16-3 46
DAC-08HN	8	0,10	70≤135	±15	156	D	DIP16	P	DIP16-3 46
DAC-08HN	8	0,10	85≤135	±15	135	D	DIP16	Ray	DIP16-3 46
DAC-08HP	8	0,10	85	±15	135	D	DIP16	Mo, PMI	DIP16-3 46
DAC-08HQ	8	0,10	85	±15	135	D	CDIP16	Mo, PMI	DIP16-3 46
DAC-08Q	8	0,19	85	±15	135	A	CDIP16	Mo, PMI	DIP16-3 46
DAC-08RC/									
/883B	8	0,19	85	±15	135	A	LCC-20	PMI	LCC20-1 48
DAC-									
-0800LCJ	8	0,19	100≤135	±15	135	D	CDIP16	NS	DIP16-3 46
DAC-									
-0800LCN	8	0,19	100≤135	±15	135	D	DIP16	NS	DIP16-3 46
DAC-0800LD	8	0,19	100≤135	±15	135	A	CDIP16	NS	DIP16-3 46
DAC-									
0801LCJ	8	0,39	100≤135	±15	135	D	CDIP16	NS	DIP16-3 46
DAC-									
-0801LCN	8	0,39	100≤150	±15	135	D	DIP16	NS	DIP16-3 46
DAC-									
-0802LCJ	8	0,10	100±150	±15	135	D	CDIP16	NS	DIP16-3 46
DAC-									
-0802LCN	8	0,10	100±150	±15	135	D	CDIP16	NS	DIP16-3 46
DAC-0802LD	8	0,10	100±150	±15	135	A	CDIP16	NS	DIP16-3 46
MDAC08C	8	0,19	85≤150	±15		A	CDIP16	T	DIP16-3 46
MDAC08CC	8	0,39	85≤150	±15		D	CDIP16	T	DIP16-3 46
MDAC08CP	8	0,39	85≤150	±15		D	DIP16	T	DIP16-3 46
MDAC08EC	8	0,19	85≤150	±15		D	CDIP16	T	DIP16-3 46
MDAC08EP	8	0,19	85≤150	±15		D	DIP16	T	DIP16-3 46
NE5007F	8	0,39	100	±15	135	D	CDIP16	P	DIP16-3 46

Specializovaný výrobce Analog Devices vyrábí základní typy převodníkových obvodů DAC-08, které označuje znakem AD DAC-08. Jejich elektrické údaje jsou v tabulce 12. Jsou v plastovém pouzdru DIP-16, jejich relativní přesnost zahrnuje všechny třídy, vybrané typy jsou vhodné pro práci v širokém rozsahu provozních teplot.

Převodníkové obvody řady DAC-08 firmy Raytheon jsou v podstatě shodné s výrobky Analog Devices, jejich údaje jsou rovněž v tabulce 12. Raytheon dodává špičkové součástky DAC-08D a DAC-08AB v provedení 833B, které vyhovuje podmínek výroby a zkouškám pro speciálního zákazníka podle normy STD-MIL-883B. Součástky jsou v keramických a plastových pouzdrech DIP-16.

Mezi součástkami firmy Fairchild jsou převodníkové obvody DAC-08 označeny typovým znakem μA0801. Řada součástek obsahuje pouze typy s relativní přesností 0,19 a 0,39 % FS. Jejich elektrické údaje jsou v tabulce 13.

Neméně významný výrobce polovodičových součástek National Semiconductor má ve svém programu obvody popisované řady převodníků, které označuje DAC0800, DAC0801 a DAC0802. Poslední číslice znaku se vztahuje k relativní přesnosti, i když na přeskáčku. Údaje této součástek jsou v tabulce 14. Doba ustálení prům. 100 ns odpovídá staršímu technologickému provedení.

Převodníkové obvody DAC-08BC a DAC-08BM firmy Datel patří mezi součástky lepší kvalitativní třídy. Jejich relativní přesnost je pouze 0,19 % FS, doba ustálení typicky 85, maximálně 150 ns. Provedení BC je v plastovém, BM v keramickém pouzdru DIP-16, odtud dovolená pracovní teplota okolo 0 až +70 °C, popříp. -55 až +125 °C. Jejich údaje jsou v tabulce 15.

Naše TESLA Rožnov patří rovněž mezi výrobce převodníkových obvodů řady DAC-08. Vyrábí několik typů v plastových a keramických pouzdrech a označuje je znakem MDAC-08. Jejich elektrické údaje nalezněte zájemce v katalozích součástek TESLA. Základní přehled této součástek zahrnuje rovněž přehledná tabulka 9.

### Doporučená zapojení

Převodníkové obvody řady DAC-08 mohou funkčně plně nahradit obvody řady MC1408. To znamená, že všechna dříve popsaná zapojení této obvodů je možné použít bez úprav ve spojení s převodníkovými obvody řady DAC-08 všech výrobců. Nebudeme proto tato zapojení znova opakovat v úpravě pro DAC-08. Zde jsou popsána doporučená zapojení, které nelze realizovat s obvody řady MC1408.

### Záporné komplementární výstupy

Převodníky řady DAC-08 jsou vybaveny dvěma komplementárními výstupy. Jestliže se oba výstupy připojí přes zatěžovací rezistory  $R_L$  na zemní potenciál podle zapojení na obr. 49, dostaneme v závislosti na hodnotě  $N$  osmibitové binární informace na číslicových vstupech dvě komplementární výstupní napětí – napětí přímé

$$U_0 = \frac{U_{REF} \cdot R_L}{R_{REF}} \cdot \frac{N}{256}$$

NE5007N	8	0,39	100	$\pm 15$	135	D	DIP16	P	DIP16-3	46
NE5008F	8	0,19	100	$\pm 15$	135	D	CDIP16	P	DIP16-3	46
NE5008N	8	0,19	100	$\pm 15$	135	D	DIP16	P	DIP16-3	46
NE5009F	8	0,10	100	$\pm 15$	135	D	CDIP16	P	DIP16-3	46
NE5009N	8	0,10	100	$\pm 15$	135	D	DIP16	P	DIP16-3	46
SE5008F	8	0,19	100	$\pm 15$	135	A	CDIP16	P	DIP16-3	46
SE5009F	8	0,10	100	$\pm 15$	135	A	CDIP16	P	DIP16-3	46
JA0801DM	8	0,19	$85 \leq 135$	$\pm 15$	135	A	CDIP16	F	DIP16-3	46
JA0801CDC	8	0,39	$85 \leq 135$	$\pm 15$	135	D	CDIP16	F	DIP16-3	46
JA0801CPC	8	0,39	$85 \leq 135$	$\pm 15$	135	D	DIP16	F	DIP16-3	46
JA0801EDC	8	0,19	$85 \leq 135$	$\pm 15$	135	D	CDIP16	F	DIP16-3	46
JA0801EPC	8	0,19	$85 \leq 135$	$\pm 15$	135	D	DIP16	F	DIP16-3	46

Teplotní rozsah: A: -55 až +125 °C; D: 0 až +70 °C

Výrobce: AD - Analog Devices, D - Datel Corp., F - Fairchild, Mo - Motorola, NS - National Semiconductor, P - Philips Components, PMI - Precision Monolithic Inc., Ray - Raytheon, T - Tesla

Tab. 10. Elektrické údaje převodníků řady DAC-08 výrobců Motorola a PMI

Mezní údaje										
Napájecí napětí kladné včetně $-U_{CC}$	$+U_{CC} \leq 36$									V
Napětí logických vstupů	$U_I = -U_{CC}$ až $-U_{CC} + 36$									V
Logické přehovorové napětí vývodu 1	$U_{LC} = -U_{CC}$ až $+U_{CC}$									V
Analogový výstupní proud $-U_{CC} = 15$ V	$I_0 \leq 4,25$									mA
Výstupní napětí referenčního zdrojového vývodu 14	$U_{14\ REF} = -U_{CC}$ až $+U_{CC}$									V
Vývod 15	$U_{15\ REF} = -U_{CC}$ až $+U_{CC}$									V
Výstupní rozdílové napětí referenčních vstupů										
vývod 14 vůči vývodu 15	$U_{REFD} \leq \pm 16$									V
Proud referenčního vstupu	$I_{14\ REF} \leq 5$									mA
Ztrátový výkon celkový	$P_{tot} \leq 500$									mW
Rozsah provozní teploty okolí										
DAC-08A, DAC-08H	$\vartheta_a = -55$ až $+125$									°C
DAC-08HQ, DAC-08E, DAC-08CQ, DAC-08HP, DAC-08EF, DAC-08CP, DAC-08CS, DAC-08ED, DAC-08CD										
Rozsah sklařovací terloty součástky v plastovém pouzdru	$\vartheta_{stg} = 0$ až $+70$									°C
$\vartheta_{stg} = -65$ až $+150$										°C
$\vartheta_{stg} = -65$ až $+125$										°C
Snížení ztrátového výkonu $\vartheta_a \geq 100$ °C	$\vartheta_a = 10$									mW/K
Terplota vývozu při pájení $t < 60$ s	$\vartheta_L \leq 300$									°C
Terplotný odpor - pouze součástky PMI: přechod-okolí										
keramické pouzdro CDIP-16	$R_{thje} \leq 100$									K/W
plastové pouzdro DIP-16	$R_{thje} \leq 82$									K/W
plastové pouzdro SO-16	$R_{thje} \leq 111$									K/W
pouzdro LCC-20	$R_{thje} \leq 76$									K/W
Přechod-pouzdro:										
plastové pouzdro DIP-16	$R_{thje} \leq 39$									K/W
keramické pouzdro CDIP-16	$R_{thje} \leq 16$									K/W
plastové pouzdro SO-16	$R_{thje} \leq 35$									K/W
pouzdro LCC	$R_{thje} \leq 36$									K/W
Charakteristické údaje										
Flatí při $U_{CC} = \pm 15$ V, $I_{REF} = 2,0$ mA, není-li uvedeno jinak.										
DAC-08, DAC-08A; $\vartheta_a = -55$ až $+125$ °C;										
DAC-08C, DAC-08E, DAC-08H: $\vartheta_a = 0$ až $+70$ °C										
Rozlišení	= jmen. 8;									b
Monotonie	= jmen. 8;									b
Nelinearity										
$\vartheta_a = 0$ až $+70$ °C										
DAC-08A, DAC-08H	$E_r = \pm 0,1$									%FS
DAC-08, DAC-08E	$E_r = \pm 0,19$									%FS
DAC-08C	$E_r = \pm 0,39$									%FS
Doba ustálení na 1/2 LSB, $\vartheta_a = 25$ °C										

a invertované výstupní napětí

$$\overline{U}_0 = \frac{U_{REF} \cdot R_L}{R_{REF}} \cdot \frac{255 - N}{256}$$

Tato napětí jsou záporná proti vztaznému potenciálu. Při návrhu zapojení se musí volit poměr  $R_{REF}/R_L$  tak, aby výstupní napětí zůstala uvnitř přípustného rozsahu. Kódovací a vyvažovací tabulka 16 udává údaje prourového a napěťového výstupu převodníku D/A s obvodem DAC-08 v popsaném zapojení při referenčním proudu 2 mA a zatěžovacích rezistorzech s odporem 5 kΩ.

### Kladné komplementární výstupy

Jsou-li zapotřebí kladná výstupní napětí převodníku, může se předcházející zapojení

všechny bity sennutý nebo rozebraný	$t_S = jmen. 85$	ns
součástky PMI	$t_S = jmen. 85; \leq 150$	ns
Doba zpoždění přichodu signálu $\vartheta_a = 25$ °C		
každý bit	$t_{PLH} = jmen. 35; \leq 60$	ns
všechny bity sepnutý	$t_{PHL} = jmen. 35; \leq 60$	ns
Teplotní součinitel výstupního proudu pro plný rozsah	$TKI_{PS} = jmen. \pm 10; \leq \pm 50$	ppm/K
součástky PMI:DAC-08C, E	$TKI_{PS} = jmen. \pm 10; \leq \pm 80$	ppm/K
Pružnost výstupního napětí změna proudu $I_{PS} < 1/2$ LSB, $R_O > 20$ kΩ	$U_{OC} = -10$ až $+18$	V
Proud při plném rozsahu $U_{REF} = 10,000$ V, $R_{14}, R_{15} = 5$ kΩ, $\vartheta_a = 25$ °C		
DAC-08A, DAC-08H	$I_{4\ FR} = jmen. 1,992; 1,984$ až $2,000$ mA	
DAC-08, DAC-08E, DAC-08C	$I_{4\ FR} = jmen. 1,99; 1,94$ až $2,04$ mA	
Symetrie při plném rozsahu rozdíl výstupních proudu		
$I_{4\ FR} - I_{2\ FR}$	$I_{PRG} = jmen. \pm 0,5; \leq \pm 4$	μA
DAC-08A, DAC-08H	$I_{PRG} = jmen. \pm 1,0; \leq \pm 8$	μA
DAC-08, DAC-08E	$I_{PRG} = jmen. \pm 2,0; \leq \pm 16$	μA
DAC-08C		
Proud v nule rozsahu		
DAC-08A, DAC-08H	$I_{ZS} = jmen. 0,1; \leq 1,0$	μA
DAC-08, DAC-08E	$I_{ZS} = jmen. 0,2; \leq 2,0$	μA
DAC-08C	$I_{ZS} = jmen. 0,2; \leq 4,0$	μA
Rozsah výstupního proudu		
$-U_{CC} = 5$ V	$I_{OR1} = 0$ až $2,1$	mA
$-U_{CC} = 8$ až $18$ V	$I_{OR2} = 0$ až $4,2$	mA
součástky PMI: $R_{14}, R_{15} = 5$ kΩ		
$U_{REF} = +15$ V, $-U_{CC} = 10$ V	$I_{OR1} = 2,1$	mA
$U_{REF} = +25$ V, $-U_{CC} = 12$ V	$I_{OR2} = 4,2$	mA
Logická úroveň číslicových vstupů		
$U_{LC} = 0$ V		
úroveň L, $U_I = -10$ až $+0,8$ V	$I_{IL} = jmen. -2,0; \leq -10$	μA
úroveň H, $U_I = +2,0$ až $+18$ V	$I_{IH} = jmen. 0,002; \leq 10$	μA
Rozdíl napětí logických vstupů		
$-U_{CC} = 15$ V	$U_{IS} = -10$ až $+18$ V	V
Rozsah prahového logického napětí		
$U_{CC} = \pm 15$ V	$U_{THR} = -10$ až $+13,5$	V
Proud pro předpáteř referenčního vstupu		
	$I_{15} = jmen. -1,0; \leq -3$	μA
Rychlosť přehlídku proudu referenčního vstupu		
$\Delta t = jmen. 8; \leq 4$		mA/μs
Citlivost výstupního proudu $I_{FS}$ na změnu napájecího napětí		

$I_{REF} = 1 \text{ mA}$			Doba ustálení	
$+U_{CC} = 4,5 \text{ až } 18 \text{ V}$	$PSSI_{FS+} = \text{jmen. } \pm 0,0003; \pm \pm 0,01 \text{ \%}$		na 1/2 LSB, $\vartheta_a = 0^\circ \text{C}$	
$-U_{CC} = 4,5 \text{ až } 18 \text{ V}$	$PSSI_{FS-} = \text{jmen. } \pm 0,002; \pm \pm 0,01 \text{ \%}$		všechny bity sepnuty nebo rozepnuty	
Spotřeba napájecího proudu			$t_S = \text{jmen. } 85; \leq 135$	ns
$U_{CC} = \pm 5 \text{ V}, I_{REF} = 1,0 \text{ mA}$	$I_{CC+} = \text{jmen. } 2,3; \leq 3,8 \text{ mA}$		NE5007-NE5009, SE5008, SE5009	ns
	$I_{CC-} = \text{jmen. } -4,3; \leq -5,8 \text{ mA}$		$t_S = \text{jmen. } 100$	
$+U_{CC} = +5 \text{ V}, -U_{CC} = 15 \text{ V},$	$I_{CC+} = \text{jmen. } 2,4; \leq 3,8 \text{ mA}$			
$I_{REF} = 2 \text{ mA}$	$I_{CC-} = \text{jmen. } -6,4; \leq -7,8 \text{ mA}$			
$U_{CC} = \pm 15 \text{ V}, I_{REF} = 2 \text{ mA}$	$I_{CC+} = \text{jmen. } 2,5; \leq 3,8 \text{ mA}$			
	$I_{CC-} = \text{jmen. } -6,5; \leq -7,8 \text{ mA}$			
Ztrátový výkon				
$U_{CC} = \pm 5 \text{ V}, I_{REF} = 1 \text{ mA}$	$P_D = \text{jmen. } 33; \leq 48 \text{ mW}$			
$+U_{CC} = 5 \text{ V}, -U_{CC} = 15 \text{ V},$	$P_D = \text{jmen. } 108; \leq 136 \text{ mW}$			
$I_{REF} = 2 \text{ mA}$	$P_D = \text{jmen. } 135; \leq 174 \text{ mW}$			
$U_{CC} = \pm 15 \text{ V}, I_{REF} = 2 \text{ mA}$	$I_{ON} = \text{jmen. } 25 \text{ nA}$			
Šumový výstupní proud				
$I_{REF} = 2 \text{ mA}$ , jen obvody PMI				
1. Výstupní charakteristické údaje platí pro oba výstupy $I_0$ a $\bar{I}_0$ .				
Tab. 11. Elektrické údaje převodníků řady DAC-08, NE5007, NE5008, NE5009, SE5008, SE5009 firmy Siemens				
<b>Mezní údaje</b>				
Napájecí napětí včetně $-U_{CC}$	$+U_{CC} \leq 36 \text{ V}$			
Napětí logických vstupů	$U_{I5} \text{ až } U_{I12} = -U_{CC} \text{ až } -U_{CC} + 36 \text{ V}$			
Logické prahové napětí				
vývod 1	$U_{LC} = -U_{CC} \text{ až } +U_{CC} \text{ V}$			
Analogový výstupní proud				
$-U_{CC} = 15 \text{ V}$	$I_0 = 4,25 \text{ mA}$			
Výstupní napětí	$U_0 = -U_{CC} \text{ až } +18 \text{ V}$			
Vstupní napětí referenčního zdroje silovače				
vývod 14	$U_{14 \text{ REF}} = -U_{CC} \text{ až } +U_{CC} \text{ V}$			
vývod 15	$U_{15 \text{ REF}} = -U_{CC} \text{ až } +U_{CC} \text{ V}$			
Vstupní rozdílové napětí referenčních vstupů				
vývod 14 včetně vývodu 15	$U_{REF D} \leq \pm 18 \text{ V}$			
Proud referenčního vstupu	$I_{14 \text{ REF}} \leq 5 \text{ mA}$			
Ztrátový výkon celkový				
ohvody v keramickém pouzdru F	$P_{tot} \leq 1190 \text{ mW}$			
ohvody v plastovém pouzdru N	$P_{tot} \leq 1450 \text{ mW}$			
ohvody v plastovém pouzdru SO	$P_{tot} \leq 1090 \text{ mW}$			
Rozsah provozní teploty okolí				
DAC-08, DAC-08A, SE5008, SE5009	$\vartheta_a = -55 \text{ až } +125^\circ \text{C}$			
DAC-08C, DAC-08E, DAC-08H, NE5007, NE5008, NE5009	$\vartheta_a = 0 \text{ až } +70^\circ \text{C}$			
Rozsah skladovací teploty	$\vartheta_{stg} = -65 \text{ až } +150^\circ \text{C}$			
Snižení ztrátového výkonu				
$\vartheta_a > 25^\circ \text{C}$				
součástky v keramickém pouzdru	$P_{\text{st}} = 9,5 \text{ mW/K}$			
součástky v plastovém pouzdru N	$P_{\text{st}} = 11,6 \text{ mW/K}$			
součástky v plastovém pouzdru SO	$P_{\text{st}} = 8,7 \text{ mW/K}$			
Teplota vývodů při pájení				
$t < 60 \text{ s}$	$\vartheta_L \leq 300^\circ \text{C}$			
<b>Charakteristické údaje</b>				
Platí při $U_{CC} = \pm 15 \text{ V}, I_{REF} = 2,0 \text{ mA}$ , není-li uvedeno jinak.				
DAC-08, DAC-08A, SE5008, SE5009: $\vartheta_a = -55 \text{ až } +125^\circ \text{C}$				
DAC-08C, DAC-08E, DAC-08H, NE5007, NE5008, NE5009: $\vartheta_a = 0 \text{ až } +70^\circ \text{C}$				
Rozlišení	= jmen. 8	b		
Monotonie	= jmen. 8	b		
Relativní přesnost				
$\vartheta_a = 0 \text{ až } +70^\circ \text{C}$				
DAC-08A, DAC-08H, NE5009, SE5009	$E_r \leq \pm 0,1 \text{ \%FS}$			
DAC-08, DAC-08E, NE5008, SE5008	$E_r \leq \pm 0,19 \text{ \%FS}$			
DAC-08C, NE5007	$E_r \leq \pm 0,39 \text{ \%FS}$			
Diferenciální nonlinearity				
$\vartheta_a = 0 \text{ až } +70^\circ \text{C}$				
DAC-08A, DAC-08H, NE5009, SE5009	$\leq \pm 0,1; \leq \pm 0,19 \text{ \%FS}$			
DAC-08, DAC-08E, NE5008, SE5008	$\leq \pm 0,19 \text{ \%FS}$			
DAC-08C, NE5007	$\leq \pm 0,39 \text{ \%FS}$			
Ztrátový výkon				
$U_{CC} = \pm 5 \text{ V}, I_{REF} = 1 \text{ mA}$	$P_D = \text{jmen. } 37; 33^2; \leq 48 \text{ mW}$			
$+U_{CC} = 5 \text{ V}, -U_{CC} = 15 \text{ V},$	$P_D = \text{jmen. } 122; 108^2; \leq 136 \text{ mW}$			
$I_{REF} = 2,0 \text{ mA}$	$P_D = \text{jmen. } 156; 135^2; \leq 174 \text{ mW}$			

1. Výstupní charakteristické údaje platí pro oba výstupy  $I_0$  a  $\bar{I}_0$ .

2. Platí pro NE5007 až NE5009, SE5008, SE5009

Tab. 12. Elektrické údaje převodníků D/A 8 a řady AD DAC-08 Analog Devices, DAC-08 Raytheon

Kenzní údaje		
Napájecí napětí kladné včetně $-U_{CC}$	$+U_{CC} \leq 36$	V
Napětí logických vstupů	$U_I = -U_{CC}$ až $-U_{CC} + 36$	V
Napětí vstupu LC	$U_{LC} = -U_{CC}$ až $+U_{CC}$	V
Napětí vstupu referenčního zesilovače		
vývod 14	$U_{14\ REF} = -U_{CC}$ až $+U_{CC}$	V
vývod 15	$U_{15\ REF} = -U_{CC}$ až $+U_{CC}$	V
Diferenční napětí vstupu referenčního zesilovače		
vývod 14 vůči vývodu 15	$U_{14/15} \leq \pm 18$	V
Proud vstupu referenčního zesilovače - vývod 14	$I_{14\ REF} \leq 5$	mA
Výstupní proud analogový DAC-08 Raytheon	$I_0 \leq 4$	mA
Ztrátový výkon celkový součástky Analog Devices	$P_{tot} \leq 500$	mW
součástky Raytheon, $\theta_a = 50^\circ C$ : DAC-08CN, DAC-08EN, DAC-08HN	$P_{tot} \leq 555$	mW
DAC-08D, DAC-08D/883B, DAC-08AD, DAC-08AD/883B	$P_{tot} \leq 1042$	mW
Tepelný odpor přechod-pouzdro součástky Raytheon DAC-08D, D/883B, DAC-08AD, AD/883B	$R_{thje} = 60$	K/W
Tepelný odpor přechod-okolí součástky Raytheon DAC-08CN, DAC-08EN, DAC-08HN	$R_{thje} = 135$	K/W
DAC-08D, DAC-08D/883B, DAC-08AD, DAC-08AD/883B	$R_{thje} = 120$	K/W
Snížení ztrátového výkonu $\theta_a > 100^\circ C$	$\varnothing = 10$	mW/K
součástky Raytheon, $\theta_a > 50^\circ C$	$\varnothing = 7,41$	mW/K
DAC-08CN, DAC-08EN, DAC-08HN	$\varnothing = 6,38$	mW/K
Rozsah dovolené pracovní teploty okolí AD-DAC-08, AD DAC-08A, AD DAC-08D, AD DAC-08AD, DAC-08D, DAC-08D/883B, DAC-08AD, DAC-08AD/883B	$\theta_a = -55$ až $+125$	°C
AD DAC-08E, AD DAC-08ED, AD DAC-08C, AD DAC-08CD, AD DAC-08H, AD DAC-08HD	$\theta_a = 0$ až $+70$	°C
Teplota přechodu DAC-08CN, DAC-08EN, DAC-08HN	$\theta_j \leq 125$	°C
DAC-08D, DAC-08D/883B, DAC-08AD, DAC-08AD/883B	$\theta_j \leq 175$	°C
Rozsah skladovací teploty	$\theta_{stg} = -65$ až $+150$	°C
Teplota vývodu při pájení $t < 60$ s	$\theta_L \leq 300$	°C
Charakteristické údaje		
Platí při $U_{CC} = \pm 15$ V, $I_{REF} = 2$ mA, není-li uvedeno jinak.		
AD DAC-08, AD DAC-08A, DAC-08, DAC-08A: $\theta_a = -55$ až $+125^\circ C$		
AD DAC-08, AD DAC-08E, AD DAC-08H, DAC-08C, DAC-08H: $\theta_a = 0$ až $+70^\circ C$	*	
Rozlišení	= jmen. 8	b
Monotonie	= jmen. 8	b
Nelinearity		
AD DAC-08, AD DAC-08E, DAC-08, DAC-08E	$E_r \leq \pm 0,19$	%FS
AD DAC-08A, AD DAC-08H, DAC-08A, DAC-08H	$E_r \leq \pm 0,10$	%FS
AD DAC-08C, DAC-08C	$E_r \leq \pm 0,39$	%FS
Doba ustálení na 1/2 LSB	$t_S =$ jmen. 85; $\leq 135$	ns
AD DAC-08C, AD DAC-08E, AD DAC-08ED	$t_S =$ jmen. 85; $\leq 150$	ns
DAC-08, DAC-08CD	$t_S =$ jmen. 85; $\leq 150$	ns
Doba zpoždění příchodu signálu $\theta_a = 25^\circ C$		
všechny bity sepnuty	$t_{PLH}, t_{PHL} =$ jmen. 35; $\leq 60$	ns
každý bit	$t_{PLH}, t_{PHL} =$ jmen. 35; $\leq 60$	ns

Tepelný součinitel výstupního proudu $I_{FS}$	$TKI_{FS} =$ jmen. $\pm 10$ ; $\leq \pm 50$	ppm/K
AD DAC-08C, AD DAC-08CD, DAC-08, DAC-08C	$TKI_{FS} =$ jmen. $\pm 10$ ; $\leq \pm 80$	ppm/K
Fružnost výstupního napětí $\Delta I_{FS} \leq 1/2$ LSB, $R_O > 20$ MΩ	$U_{OC} = -10$ až $+16$	V
Výstupní proud pro plný rozsah $I_{FS}$		
$U_{REF} = 10,000$ V, $R_{14}, R_{15} = 5$ kΩ, $\theta_a = 25^\circ C$	$I_{FS4} =$ jmen. 1,99; 1,94 až 2,04 mA	
AD DAC-08A, AD DAC-08H, AD DAC-08HD, AD DAC-08AD, DAC-08A, DAC-08H	$I_{FS4} =$ jmen. 1,992; 1,984 až 2,0 mA	
Symetrie výstupních proudu $I_{FS}$		
$I_{FS4} - I_{FS2}$		
AD DAC-08, AD DAC-08E, AD DAC-08ED, AD DAC-08D, DAC-08, DAC-08E	$I_{FSS} =$ jmen. $\pm 1$ ; $\leq \pm 8$	mA
AD DAC-08A, AD DAC-08H, AD DAC-08HD, AD DAC-08AD, DAC-08A, DAC-08H	$I_{FSS} =$ jmen. $\pm 0,5$ ; $\leq \pm 4$	mA
AD DAC-08C, AD DAC-08CD, DAC-08C	$I_{FSS} =$ jmen. $\pm 2,0$ ; $\leq \pm 16$	mA
Výstupní proud pro nulu rozsahu		
AD DAC-08, AD DAC-08E, AD DAC-08ED, AD DAC-08D, DAC-08, DAC-08E	$I_{ZS} =$ jmen. 0,2; $\leq 2$	mA
AD DAC-08A, AD DAC-08H, AD DAC-08HD, AD DAC-08AD, DAC-08A, DAC-08H	$I_{ZS} =$ jmen. 0,1; $\leq 1$	mA
AD DAC-08C, AD DAC-08CD, DAC-08C	$I_{ZS} =$ jmen. 0,2; $\leq 4$	mA
Rozsah výstupního proudu		
$-U_{CC} = 5$ V	$I_{FSR} =$ jmen. 2,0; 0 až 2,1	mA
$-U_{CC} = 7$ až $18$ V	$I_{FSR} =$ jmen. 2,0; 0 až 4,2	mA
součástky Raytheon:		
$-U_{CC} = 10$ V, $U_{REF} = 15$ V	$I_{FSR} \geq 2,1$	mA
$-U_{CC} = 12$ V, $U_{REF} = 25$ V	$I_{FSR} \geq 4,2$	mA
Výstupní napětí logických vstupů		
úroveň L, $U_{LC} = 0$ V	$U_{IL} \leq 0,8$	V
úroveň H, $U_{LC} = 0$ V	$U_{IH} \leq 2,0$	V
Výstupní proud logických vstupů		
$U_{LC} = 0$ V		
úroveň L, $U_I = -10$ až $+0,8$ V	$I_{IL} =$ jmen. $-2$ ; $\leq -10$	mA
úroveň H, $U_I = 2$ až $18$ V	$I_{IH} =$ jmen. 0,002; $\leq 10$	mA
Rozkmit napětí logických vstupů		
$-U_{CC} = 15$ V	$U_{IS} = -10$ až $+18$	V
Rozsah prahového napětí logických vstupů		
$U_{CC} = \pm 15$ V	$U_{THR} = -10$ až $+13,5$	V
Proud pro předpáti referenčního vstupu		
$I_{15\ REF} =$ jmen. $-1$ ; $\leq 0,1$ až $-3$	mA	
Rychlosť přehlídku proudu referenčního vstupu		
$dI/dt =$ jmen. 8; $\leq 4$	mA/ns	
Citlivost výstupního proudu $I_{FS}$ na změnu napájecího napětí		
$I_{REF} = 1$ mA		
$+U_{CC} = 4,5$ až $18$ V	$PSI_{FS+} =$ jmen. $+0,0003$ ; $\leq \pm 0,01$ %/%	
$-U_{CC} = 4,5$ až $18$ V	$PSI_{FS-} =$ jmen. $\pm 0,002$ ; $\leq \pm 0,01$ %/%	
Spotřeba napájecího proudu		
z klidného zdroje		
$+I_{CC} =$ jmen. 2,3; 0,4 až 3,8	mA	
ze záporného zdroje		
$-I_{CC} =$ jmen. 6,4; 0,8 až 7,8	mA	
součástky Raytheon DAC-08:		
$U_{CC} = \pm 5$ V, $I_{REF} = 1$ mA	$+I_{CC} =$ jmen. 2,3; $\leq 3,8$	mA
$+U_{CC} = 5$ V, $-U_{CC} = 15$ V, $I_{REF} = 2$ mA	$-I_{CC} =$ jmen. 4,3; $\leq 5,8$	mA
$U_{CC} = \pm 15$ V, $I_{REF} = 2$ mA	$+I_{CC} =$ jmen. 2,4; $\leq 3,8$	mA
$-U_{CC} = 15$ V, $I_{REF} = 2$ mA	$-I_{CC} =$ jmen. 6,4; $\leq 7,8$	mA
Ztrátový výkon		
$U_{CC} = \pm 5$ V, $I_{REF} = 1$ mA	$+I_{CC} =$ jmen. 2,5; $\leq 3,8$	mA
$+U_{CC} = 5$ V, $-U_{CC} = 15$ V, $I_{REF} = 2$ mA	$-I_{CC} =$ jmen. 6,5; $\leq 7,8$	mA
$U_{CC} = \pm 15$ V, $I_{REF} = 2$ mA		
$P =$ jmen. 33; $\leq 48$	mW	
$+U_{CC} = 5$ V, $-U_{CC} = 15$ V, $I_{REF} = 2$ mA	$P =$ jmen. 108; $\leq 136$	mW
$U_{CC} = \pm 15$ V, $I_{REF} = 2$ mA	$P =$ jmen. 135; $\leq 174$	mW

Tab. 13. Elektrické údaje převodníku D/A 8 b řady μA0801 Fairchild

Mezní údaje		
Napájecí napětí kladné vlnči $-U_{CC}$	$+U_{CC} \leq 36$	V
Napětí logických vstupů	$U_I = -U_{CC} až +36$	V
Napětí vstupu LC	$U_{LC} = -U_{CC} až +U_{CC}$	V
Napětí vstupu referenčního zesi-lovače		
vývod 14	$U_{14\ REF} = -U_{CC} až +U_{CC}$	V
vývod 15	$U_{15\ REF} = -U_{CC} až +U_{CC}$	V
Diferenční napětí vstupů refe-rencního zesi-lovače		
vývod 14 vůči vývodu 15	$U_{14/15} \leq \pm 18$	V
Proud vstupu referenčního zesi-lovače		
vývod 14	$I_{14\ REF} \leq 5$	mA
Ztrátový výkon celkový	$P_{tot} \leq 500$	mW
Snižení ztrátového výkonu sou-cástky v keramickém pouzdrou	$\theta_a = 90^\circ C$	
Rozsah dovolené pracovní teploty okolí	$\theta_a = -55 až +125$	°C
$\mu A0801DM$	$\theta_a = 0 až +70$	°C
$\mu A0801EDC, \mu A0801CDC,$	$\theta_{stg} = -65 až +150$	°C
$\mu A0801EPC, \mu A0801CPC$		
Rozsah skladovací teploty		
Teplota vývodu při pájení sou-cástek v pouzdrou:		
keramickém, $t < 60 s$	$\theta_L = 300$	°C
plastovém, $t < 10 s$	$\theta_L = 260$	°C
Charakteristické údaje		
Platí při $U_{CC} = \pm 15 V$ , $I_{REF} = 2 mA$ , není-li uvedeno jinak.		
$\mu A0801: \theta_a = -55 až +125^\circ C$ ; $\mu A0801C, \mu A0801E: \theta_a = 0 až +70^\circ C$		

Vstupní napětí logických vstupů		
$U_{LC} = 0 V$ , úroveň L	$U_{IL} \leq 0,8$	V
$U_{LC} = 0 V$ , úroveň H	$U_{IH} \geq 2,0$	V
Vstupní proud logických vstupů		
$U_{LC} = 0 V$	$I_{IL} = jmen. -2; \leq -10$	μA
$U_I = -10 až +0,8 V$	$I_{IH} = jmen. 0,002; \leq 10$	μA
$U_I = 2,0 až 18 V$		
Rozkmit vstupního napětí logic-kých vstupů		
$-U_{CC} = 15 V$	$U_{IS} = -10 až +18$	V
Rozsah logické prahové úrovně	$U_{THR} = -10 až +13,5$	V
Proud pro předpřípravu referenčního vstupu	$I_{15\ REF} = -1,0; \leq -3,0$	μA
Rychlosť přechodu proudu refe-rencního vstupu	$dI/dt = jmen. 8; \geq 4$	mA/μs
Citlivost výstupního proudu $I_{FS}$ na změnu napájecího napětí		
$I_{REF} = 1 mA$		
$+U_{CC} = 4,5 V$ na $18 V$		
$-U_{CC} = 4,5 V$ na $18 V$		
Spotřeba napájecího proudu		
$U_{CC} = \pm 5 V, I_{REF} = 1 mA$	$I_{CC+} = jmen. 2,3; \leq 3,8$	mA
$+U_{CC} = 5 V, -U_{CC} = 15 V,$	$I_{CC-} = jmen. 4,3; \leq 5,8$	mA
$I_{REF} = 2 mA$		
$U_{CC} = \pm 15 V, I_{REF} = 2 mA$	$I_{CC+} = jmen. 2,4; \leq 3,8$	mA
	$I_{CC-} = jmen. 6,4; \leq 7,8$	mA
	$I_{CC+} = jmen. 2,5; \leq 3,8$	mA
	$I_{CC-} = jmen. 6,5; \leq 7,8$	mA
Ztrátový výkon		
$U_{CC} = \pm 5 V, I_{REF} = 1 mA$	$P = jmen. 33; \leq 48$	mW
$+U_{CC} = 5 V, -U_{CC} = 15 V,$	$P = jmen. 108; \leq 136$	mW
$I_{REF} = 2 mA$	$P = jmen. 135; \leq 174$	mW

Tab. 14. Elektrické údaje převodníku D/A 8 b řady DAC0800, DAC0801, DAC0802 firmy National Semiconductor

Mezní údaje		
Napájecí napětí	$U_{CC} \leq \pm 15$	V
Napájecí napětí kladné vlnči $-U_{CC}$	$+U_{CC} \leq 36$	V
Napětí logických vstupů	$U_I = -U_{CC} až +U_{CC}$	V
Napětí vstupu LC	$U_{LC} = -U_{CC} až +U_{CC}$	V
Napětí vstupu referenčního zesi-lovače		
vývod 14	$U_{14\ REF} = -U_{CC} až +U_{CC}$	V
vývod 15	$U_{15\ REF} = -U_{CC} až +U_{CC}$	V
Diferenční napětí vstupů refe-rencního zesi-lovače		
vývod 14 vůči vývodu 15	$U_{14/15} = -U_{CC} až +U_{CC}$	V
Proud vstupu referenčního zesi-lovače		
vývod 14	$I_{14\ REF} \leq 5$	mA
Ztrátový výkon celkový	$P_{tot} \leq 500$	mW
Popelny odpor přechod-okolí součástek v pouzdrou		
keramickém J, D	$R_{thja} = 100$	K/W
plastovém N	$R_{thja} = 175$	K/W
Teplota přechodu	$\theta_j \leq 125$	°C
Rozsah dovolené pracovní teploty okolí		
DAC0800L, DAC0802L	$\theta_a = -55 až +125$	°C
DAC0800LC, DAC0801LC,		
DAC0802LC		
Rozsah logické prahové úrovně		
$\mu A0801, \mu A0801E$	$U_{REF} = 10,000 V, R_{14}, R_{15} = 5 k\Omega, \theta_a = 25^\circ C$	
$\mu A0801C, \mu A0802C$	$I_{FS4} = jmen. 1,990; 1,94 až 2,04 mA$	
Symetrie výstupních proudu pro plný rozsah $I_{FS4} - I_{FS2}$		
$\mu A0801, \mu A0801E$	$I_{FSS} = jmen. \pm 1; \leq \pm 8$	μA
$\mu A0802C$	$I_{FSS} = jmen. \pm 2; \leq \pm 16$	μA
Výstupní proud pro nulu rozsahu		
$\mu A0801, \mu A0801E$	$I_{ZS} = jmen. 0,2; \leq 2,0$	μA
$\mu A0801C$	$I_{ZS} = jmen. 0,2; \leq 4,0$	μA
Rozsah výstupního proudu		
$R_{14}, R_{15} = 5 k\Omega$		
$I_{FSR} = +15 V, -U_{CC} = 10 V$	$I_{FSR} \leq 2,1$	mA
$U_{REF} = +25 V, -U_{CC} = 12 V$	$I_{FSR} \leq 4,2$	mA
Charakteristické údaje		
Platí při $U_{CC} = \pm 15 V, I_{REF} = 2 mA$ , není-li uvedeno jinak.		
$\mu A0800L, \mu A0802L: \theta_a = -55 až +125^\circ C$		
$\mu A0800LC, \mu A0801LC, \mu A0802LC: \theta_a = 0 až +70^\circ C$		
Rozlišení	$= 8$	b
Monotonie	$= 8$	b

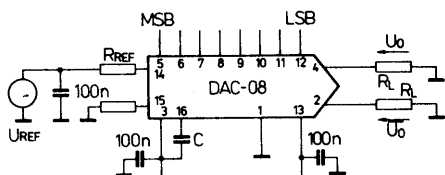
Nelinearity			vývod 15	$I_{15\ REF} = -U_{CC} \pm +U_{CC}$	V
DAC0802L, DAC0802LC	$E_r$ $\leq \pm 0,10$	%FS	Proud referenčního vstupu	$I_{14\ REF} \leq 5$	mA
DAC0800L, DAC0800LC	$E_r$ $\leq \pm 0,19$	%FS	vývod 14		
DAC0801LC	$E_r$ $\leq \pm 0,39$	%FS	Rozsah provozní teploty okolí	$\theta_a = 0 \text{ až } +70^\circ C$	$^\circ C$
Doba ustálení			DAC-08PC	$\theta_a = -55 \text{ až } +125^\circ C$	$^\circ C$
na 1/2 LSB, $\theta_a = 25^\circ C$			DAC-08BM	$\theta_{stg} = -65 \text{ až } +150^\circ C$	$^\circ C$
všechny hity sepnuty nebo rozpojeny			Rozsah skladovací teploty		
DAC0800L	$t_S = \text{jmen. } 100; \leq 135$	ns	Charakteristické údaje		
DAC0800LC	$t_S = \text{jmen. } 100; \leq 150$	ns	Platí při $\theta_a = 25^\circ C$ , $U_{CC} = \pm 15 V$ , $I_{REF} = 2 \text{ mA}$ , není-li uvedeno jinak.		
Doba zpoždění průchodu signálu			Rozlišení	$= \text{jmen. } 8$	b
$\theta_a = 25^\circ C$			Kódování		
každý bit	$t_{PLH} = \text{jmen. } 35; \leq 60$	ns	unipolární výstup	přímý binární	
všechny hity sepnuty	$t_{PHL} = \text{jmen. } 35; \leq 60$	ns	bipolární výstup	offset binární	
Teplotní součinitel výstupního			Relativní přesnost ( $\pm 0,19\%$ )	$E_r \leq \pm 1/2 \text{ LSB}$	
proudu $I_{FS}$	$T_{KI_{FS}} = \text{jmen. } \pm 10; \leq \pm 50$	ppm/K	Nelinearity ( $\pm 0,19\%$ )	$H_r \leq \pm 1/2 \text{ LSB}$	
DAC0801LC	$T_{KI_{FS}} = \text{jmen. } \pm 10; \leq \pm 80$	ppm/K	Diferenční nelinearity ( $\pm 0,19\%$ )	$M_r \leq \pm 1/2 \text{ LSB}$	
Pružnost výstupního napětí			Doba ustálení		
$I_{FS} \geq 1/2 \text{ LSD}$ , $R_O > 20 \text{ M}\Omega$	$U_{OC} = -10 \text{ až } +18$	V	na 1/2 LSB při 2 mA	$t_S = \text{jmen. } 85; \leq 150$	ns
Výstupní proud pro plný rozsah			Doba zpoždění průchodu signálu	$t_{PLH} \leq 60$	ns
$U_{REF} = 10,000 V$ , $R_{14}, R_{15} = 5 k\Omega$ ,			$t_{PHL} \leq 60$		
$\theta_a = 25^\circ C$			Teplotní součinitel výstupního		
DAC0802L, DAC0802LC	$I_{FS4} = \text{jmen. } 1,992; 1,984 \text{ až } 2,0 \text{ mA}$		proud pro plný rozsah $I_{FS}$	$T_{KI_{FS}} = \text{jmen. } \pm 10; \leq \pm 50$	ppm/K
DAC0800L, DAC0800LC, DAC0801LC	$I_{FS4} = \text{jmen. } 1,990; 1,94 \text{ až } 2,04 \text{ mA}$		Citlivost výstupního proudu $I_{FS}$		
Symetrie výstupních proudu pro			na změnu napájecího napětí		
plný rozsah $I_{FS4} - I_{FS2}$			$I_{REF} = 1 \text{ mA}$	$PSS_{FS} = \text{jmen. } \pm 0,002$	%%
DAC0802L, DAC0802LC	$I_{FS5} = \text{jmen. } \pm 0,5; \leq \pm 4$	μA	Výstupní napětí logických vstupů		
DAC0800L, DAC0800LC	$I_{FS5} = \text{jmen. } \pm 1,0; \leq \pm 8$	μA	$U_{LC} = 0 V$	$U_{IH} \leq 2,0$	V
DAC0801LC	$I_{FS5} = \text{jmen. } \pm 2,0; \leq \pm 16$	μA	$U_{IL} \leq 0,8$	$U_{IL} \leq 0,8$	V
Výstupní proud pro nulu rozsahu			Proud referenčního vstupu	$I_{14\ REF} = \text{jmen. } 2,0$	mA
DAC0802L, DAC0802LC	$I_{ZS} = \text{jmen. } 0,1; \leq 1,0$	μA	Proud pro předpáti referenčního	$I_{15\ REF} = \text{jmen. } -1,0$	μA
DAC0800L, DAC0800LC	$I_{ZS} = \text{jmen. } 0,2; \leq 2,0$	μA	vstupu		
DAC0801LC	$I_{ZS} = \text{jmen. } 0,2; \leq 4,0$	μA	Rychlosť přehľadu proudu referenčního vstupu	$dI/dt = \text{jmen. } 8$	mA/μs
Rozsah výstupního proudu			Výstupní napětí	$I_0 = \text{jmen. } 1,99; 1,985 \text{ až } 2,04 \text{ mA}$	
$-U_{CC} = 5 V$	$I_{FSR} = \text{jmen. } 2; 0 \text{ až } 2,1$	mA	Rozsah výstupního proudu		
$-U_{CC} = 8 \text{ až } 18 V$	$I_{FSR} = \text{jmen. } 2; 0 \text{ až } 4,2$	mA	$I_{FSR} = 0 \text{ až } 2,1$		mA
Výstupní napětí logických vstupů			$I_{FSR} = 0 \text{ až } 4,2$		mA
$U_{LC} = 0 V$ , úroveň L	$U_{IL} \leq 0,8$	V	Výstupní proud		
$U_{LC} = 0 V$ , úroveň H	$U_{IH} \leq 2,0$	V	všechny hity vypnutý	$I_0 = \text{jmen. } \pm 0,2; \leq \pm 2,0$	μA
Výstupní proud logických vstupů			Symetrie výstupních proudu		
$U_{LC} = 0 V$			$I_{FS5} = \text{jmen. } \pm 1; \leq \pm 8$		μA
$U_I = -10 \text{ až } +0,8 V$	$I_{IL} = \text{jmen. } -2; \leq -10$	μA	plný rozsah, $I_{FS4} - I_{FS2}$		
$U_I = 2,0 \text{ až } +18 V$	$I_{IH} = \text{jmen. } 0,002; \leq 10$	μA	Pružnost výstupního napětí	$U_{OC} = -10 \text{ až } +18$	V
Rozkmit výstupního napětí logických vstupů			Rozsah napájecího napětí		
$-U_{CC} = 15 V$			kladného	$+U_{CC} = 4,5 \text{ až } 18$	V
Rozsah logické prehové úrovně			záporného	$-U_{CC} = 4,5 \text{ až } 18$	V
$U_{CC} = \pm 10 V$	$U_{THR} = -10 \text{ až } +13,5$	V	Spotřeba napájecího proudu		
Proud pro předpáti referenčního vstupu			$U_{CC} = \pm 5 V$ , $I_{REF} = 1 \text{ mA}$	$+I_{CC} \leq 3,8$	mA
Rychlosť přehľadu proudu referenčního vstupu			$-I_{CC} \leq 5,8$		mA
Citlivost výstupního proudu $I_{FS}$ na změnu napájecího napětí			$+U_{CC} = 5 V$ , $-U_{CC} = 15 V$ , $I_{REF} = 2 \text{ mA}$	$+I_{CC} \leq 3,8$	mA
$I_{REF} = 1 \text{ mA}$			$-I_{CC} \leq 7,8$		mA
$+U_{CC} = 4,5 \text{ až } 18 V$	$PSS_{FS+} = \text{jmen. } 0,0001; \leq 0,01$	%%	$U_{CC} = \pm 15 V$ , $I_{REF} = 2 \text{ mA}$	$+I_{CC} \leq 3,8$	mA
$-U_{CC} = 4,5 \text{ až } 18 V$	$PSS_{FS-} = \text{jmen. } 0,0001; \leq 0,01$	%%	$+U_{CC} = 5 V$ , $-U_{CC} = 15 V$ , $I_{REF} = 2 \text{ mA}$	$-I_{CC} \leq 7,8$	mA
Spotřeba napájecího proudu			$I_{CC+} = \text{jmen. } 2,4; \leq 3,8$		
$U_{CC} = \pm 5 V$ , $I_{REF} = 1 \text{ mA}$	$I_{CC+} = \text{jmen. } 2,3; \leq 3,8$	mA	$I_{CC-} = \text{jmen. } 6,4; \leq 7,8$		
$I_{CC-} = \text{jmen. } 4,3; \leq 5,8$	mA	$I_{CC+} = \text{jmen. } 2,5; \leq 3,8$			
		$I_{CC-} = \text{jmen. } 6,5; \leq 7,8$			
Tab. 15 . Elektrické údaje převodníku D/A řady DAC-08B firmy Datel			Ztrátový výkon		
Mezní údaje			$U_{CC} = \pm 5 V$ , $I_{REF} = 1 \text{ mA}$	$P = \text{jmen. } 33; \leq 48$	mW
Napájecí napětí kladné včetně $-U_{CC}$	$+U_{CC} \leq 36$	V	$+U_{CC} = 5 V$ , $-U_{CC} = 15 V$ , $I_{REF} = 2 \text{ mA}$	$P = \text{jmen. } 108; \leq 136$	mW
Výstupní napětí číslicových vstupů	$U_I = -U_{CC} \text{ až } -U_{CC} + 36$	V	$U_{CC} = \pm 15 V$ , $I_{REF} = 2 \text{ mA}$	$P = \text{jmen. } 135; \leq 174$	mW
Napětí vstupu LC - vývod 1	$U_{LC} = -U_{CC} \text{ až } +U_{CC}$	V			
Napětí referenčního vstupu					
vývod 14	$U_{14\ REF} = -U_{CC} \text{ až } +U_{CC}$	V			

1. Výstupní údaje platí pro oba výstupy  $I_0$  a  $\bar{I}_0$ .

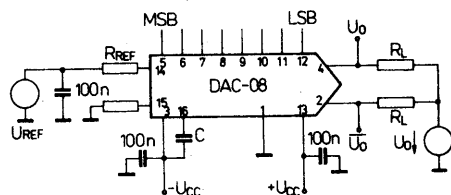
Tab. 16. Kódovací a vyvažovací tabulka převodníku DAC-08 v základním zapojení se zápornými komplementárními výstupy.

Platí při  $I_{REF} = 2 \text{ mA}$ ,  $R_L = 5 \text{ k}\Omega$ , přímé binární kódování

Rozsah	Vstupní kód B <sub>1</sub> B <sub>2</sub> B <sub>3</sub> B <sub>4</sub> B <sub>5</sub> B <sub>6</sub> B <sub>7</sub> B <sub>8</sub>	Rozsah unipolárního výstupu			
		napěťový [V] $U_0$	proudový [mA] $I_0$	napěťový [V] $U_0$	proudový [mA] $I_0$
FS	H H H H H H H H	-9,960	0,000	1,992	0,000
FS - 1 LSB	H H H H H H H L	-9,920	-0,040	1,984	0,008
1/2 FS + 1 LSB	H L L L L L L H	-5,040	-4,920	1,008	0,984
1/2 FS	H L L L L L L L	-5,000	-4,960	1,000	0,992
1/2 FS - 1 LSB	L H H H H H H H	-4,960	-5,000	0,992	1,000
0 FS - 1 LSB	L L L L L L L H	-0,040	-9,920	0,008	1,984
0 FS	L L L L L L L L	0,000	-9,960	0,000	1,992



Obr. 49. Základní zapojení převodníku DAC-08 s kladným referenčním napětím a komplementárním záporným výstupním napětím



Obr. 50. Zapojení převodníku DAC-08 s kladným referenčním napětím a komplementárním kladným nebo bipolárním výstupním napětím

upravit podle obr. 50 tak, že se výstupní zátěžovací rezistory  $R_L$  nepřipojí na zemní potenciál, ale na kladný pól napájecího zdroje. Tato úprava je možná bez jakýchkoliv problémů v důsledku širokého dovoleného pracovního výstupního napětí. Praktické zapojení je uvedeno na obr. 50. Obě výstupní napěti mají vůči zemi velikost

$$U_0 = U - \frac{U_{REF} \cdot R_L}{R_{REF}} \cdot \frac{N}{256},$$

invertované výstupní napětí

$$\bar{U}_0 = U - \frac{U_{REF} \cdot R_L}{R_{REF}} \cdot \frac{255 - N}{256}.$$

Jestliže bude

$$U = \frac{U_{REF} \cdot R_L}{R_{REF}} \cdot \frac{255}{256},$$

budou se výstupní napěti pohybovat mezi 0 a napětím  $U$ . Přitom se musí počítat s tím, že chybá napájecího napětí  $U$  se plně přeneče do přesnosti. Proto se k tomuto účelu musí nezbytně využívat zdrojů referenčního napětí. Zvolíme-li dostatečně velký  $R_{REF} = R_L$ , bude se pohybovat výstupní napětí mezi 0 a velikostí  $255/256 \cdot U_{REF}$ .

#### Bipolární komplementární výstupy

K tomuto účelu použijeme stejně zapojení převodníku DAC-08 jako v předchozím od-

stavci (obr. 50). Přidavné napětí  $U$  však zvolíme poloviční, proto bude platit

$$U = \frac{U_{REF} \cdot R_L}{R_{REF}} \cdot \frac{127}{256}$$

Výstupní napětí se určí podle předcházejících vztahů. Pohybuje se v hranicích

$$\frac{U_{REF} \cdot R_L}{R_{REF}} \cdot \frac{127}{256} \geq U_0 \geq -\frac{U_{REF} \cdot R_L}{R_{REF}}$$

$$-\frac{U_{REF} \cdot R_L}{R_{REF}} \cdot \frac{128}{256} \leq \bar{U}_0 \leq$$

$$-\frac{U_{REF} \cdot R_L}{R_{REF}} \cdot \frac{127}{256},$$

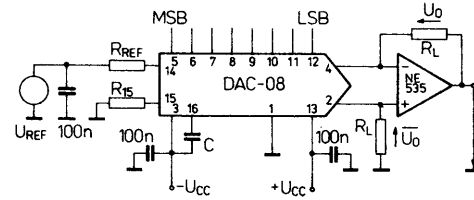
za podmínky, že bude platit

$$0 \leq N \leq 255.$$

Jestliže se bude rovnat  $R_{REF} = R_L$  a  $N = 128$ , dostaneme  $U_0 = -U_{REF}/256$  a  $\bar{U}_0 = 0$ . Obě komplementární výstupní napěti jsou tedy bipolární a přibližně symetrická vůči zemnímu potenciálu. Plně se zde projeví chyba přidavného napájecího zdroje na přesnost. Kódovací a vyvažovací tabulka 17 udává napětí napěťového výstupu převodníku DAC-08 v doporučeném zapojení s bipolárními výstupy.

#### Bipolární výstup s operačním zesilovačem

Bipolární výstupní napěti je možné získat bez přidavného zdroje napěti, použije-li se přidavný operační zesilovač na výstupu. Může se zapojit dvěma způsoby. Podle zapojení na obr. 25 se využívá vstupního rozdílového napěti poloviční velikosti výstupního zdvihu, které se přivádí na operační zesilovač. U převodníku řady DAC-08 se toto rozdílové napěti nemusí používat, protože se rozdíl obou komplementárních výstupních proudů převádí na napěti. Zapojení



Obr. 51. Převodník D/A s obvodem DAC-08 s kladným referenčním a bipolárním výstupním napětím

takto upraveného převodníku je na obr. 51. Na dolním výstupním odporu  $R_L$  vzniká vůči zemi napětí

$$\bar{U}_0 = I_0 \cdot R_L.$$

Na horním odporu  $R_L$  obdobně vzniká napětí

$$U_0 = I_0 \cdot R_L.$$

Na výstupu je pak rozdíl obou napětí

$$U_0^* = U_0 - \bar{U}_0,$$

neboť vstupní rozdílové napěti operačního zesilovače se vztahuje vůči nule. Tuto závislost je možné vyjádřit vztahem

$$U_0^* = \frac{U_{REF} \cdot R_L}{R_{REF}} \cdot \frac{N}{256} - \frac{U_{REF} \cdot R_L}{R_{REF}} \cdot \frac{255 - N}{256}$$

nebo též

$$U_0^* = \frac{U_{REF} \cdot R_L}{R_{REF}} \cdot \frac{2N - 255}{256}.$$

Výstupní napětí se proto pohybuje v mezích

$$-\frac{U_{REF} \cdot R_L}{R_{REF}} \cdot \frac{255}{256} \leq U_0^* \leq \frac{U_{REF} \cdot R_L}{R_{REF}} \cdot \frac{255}{256},$$

za podmínky, že

$$0 \leq N \leq 255.$$

Chyba, způsobená přidavným napájecím zdrojem, se u tohoto zapojení nevykypuje. Výstupní odpory  $R_L$  můsí být ovšem velmi dobře párovány.

Polaritu výstupního napěti je možné podle potřeby změnit zájmennou obou analogových výstupů  $I_0$  s  $\bar{U}_0$ . Zapojení podle obr. 51 má ve srovnání s předcházejícím zapojením (obr. 50) tu výhodu, že výstupní napěti se může odebrábat na výstupu s malým odporem. Připojíme-li jeden z obou analogových výstupů místo na zátěžovací rezistor  $R_L$  na zemní potenciál, vznikne zapojení s unipolárním napětím na výstupu s malou impedancí. Připojíme-li vývod  $I_0$  na zem, bude se výstupní napěti pohybovat v hranicích

$$-\frac{U_{REF} \cdot R_L}{R_{REF}} \cdot \frac{255}{256} \leq U_0^* \leq 0$$

za podmínky, že bude platit

$$0 \leq N \leq 255.$$

Připojí-li se na zemní potenciál výstup  $\bar{U}_0$ , bude

$$0 \leq U_0^* \leq \frac{U_{REF} \cdot R_L}{R_{REF}} \cdot \frac{255}{256}$$

Tab. 17. Kódovací a vyvažovací tabulka převodníku DAC-08 s bipolárními výstupy. Platí při  $I_{REF+} = 2 \text{ mA}$ ,  $R_L = 10 \text{ k}\Omega$ ,  $R_{REF} = 5 \text{ k}\Omega$ , kódování ofset. binární (posunuté binární)

Rozsah	Vstupní kód B <sub>1</sub> B <sub>2</sub> B <sub>3</sub> B <sub>4</sub> B <sub>5</sub> B <sub>6</sub> B <sub>7</sub> B <sub>8</sub>	Rozsah bipolárního výstupu [V]	
		$U_0$	$\bar{U}_0$
+FS	H H H H H H H H	-9,920	+10,000
+FS - 1 LSB	H H H H H H H L	-9,840	+9,920
0 FS + 1 LSB	H L L L L L L H	-0,080	+0,160
0 FS	H L L L L L L L	0,000	+0,080
0 FS - 1 LSB	L H H H H H H H	+0,080	0,000
-FS + 1 LSB	L L L L L L L L	+9,920	-9,840
-FS	L L L L L L L L	+10,000	-9,920



kde  $N_{(10)}$  je desítkové číslo, M označujeme binární číslo ( $M_0, M_1 \dots M_N$ ).

Pomocí převodníků řady DAC-08 je možné konstruovat převodníky D/A typu BCD, jehož typický představitel je na obr. 56. V podstatě je to číslicová sčítáka, jak byla popsána v předchozím zapojení. Činitele  $10^2, 10^1$  a  $10^0$  jsou realizovány vhodnou volbou referenčního odporu (5 k $\Omega$ , 50 k $\Omega$ , 500 k $\Omega$ ). Výstupní proudy tří převodníků, vyhodnocené v poměru 100:10:1, se sčítají na vstupu operačního zesilovače a vytvářejí výstupní napětí podle vztahu

$$U_O = \frac{U_{REF} \cdot R_L}{R_{REF}} \left( \frac{M_2}{16} + \frac{M_1}{160} + \frac{M_0}{1600} \right)$$

Za předpokladu že  $U_{REF} = 10 \text{ V}$ ,  $R_{REF} = 10 \text{ V}$ ,  $R_{REF} = 5 \text{ k}\Omega$  a  $R_L = 8 \text{ k}\Omega$ , bude výstupní napětí dánou

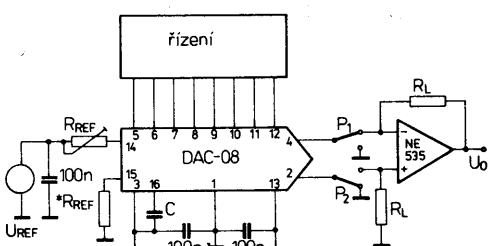
$$U_O = M_2 \cdot 1 \text{ V} + M_1 \cdot 0,1 \text{ V} + M_0 \cdot 0,01 \text{ V}.$$

Výstupní napětí tedy překrývá rozsah od 0 V do 9,99 V s rozlišovací schopností 10 mV, což odpovídá přesnosti 0,1 %. Pro první místo ( $M_2$ ) je proto zapotřebí nejkalitnější převodníkový obvod s relativní přesností 0,1 % FS (např. DAC-08HF, HN, HQ apod.). Požadavky na přesnost druhého místa jsou již o činitel 10 menší, proto postačí obvod DAC-08EF, EN, EQ. Obdobně se osadí poslední místo převodníkem s přesností 0,39 % FS.

V důsledku velkých požadavků na přesnost je žádoucí vyvážení systému. Nula se vyrovňává potenciometrem  $R_7$  v obvodu operačního zesilovače. Číslicové vstupy přitom musí být na nule. Pak se převede na vstup jedničkového čísla ( $M_0$ ) signál pro číslici 9, na výstupu se pomocí  $R_3$  nastaví napětí 90 mV. Jako další se nastaví na desítkovém čísle ( $M_1$ ) údaj 9, na výstupu nastavíme potenciometrem  $R_2$  napětí 0,990 V. Konečně provedeme obdobnou operaci na stovkovém čísle ( $M_2$ ), kde nastavíme číslici 9, na výstupu potenciometrem  $R_1$  nastavíme napětí 9,990 V. Tím je ukončen postup vyvážení.

#### Funkční generátor

Krátká doba ustálení převodníkových obvodů řady DAC-08 dovoluje zhovitit ve spojení s rychlým operačním zesilovačem (např. typu NE535) poměrně rychlý funkční generátor. Návrh elektrického zapojení je na obr. 57. Vlastní funkce generátoru závisí na čísli-



Obr. 57. Zapojení funkčního generátoru s obvodem DAC-08

covém způsobu řízení z funkční skupiny řízení. Oba spínače  $P_1$  a  $P_2$  na analogových

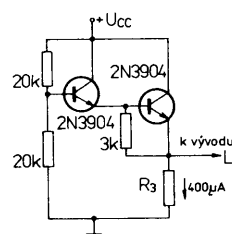
výstupech převodníku D/A umožňují vytvořit jednoduchým způsobem kladné výstupní napětí (v zakresleném postavení spínačů), záporné napětí (spínače  $P_1$  a  $P_2$  přepnutý) a bipolární napětí (sepnut jen spínač  $P_2$ ). Optimální volba součástek popsaného zapojení:  $U_{REF} = 10 \text{ V}$ ,  $R_{REF} = 5 \text{ k}\Omega$ ,  $R_L = 5 \text{ k}\Omega$ ,  $C = 75 \text{ pF}$ . Výstupní napětí  $U_0 = 10 \text{ V}$ ,  $U_0 = -10 \text{ V}$  jsou maximální nebo bipolární při  $U_{O MM} = 20 \text{ V}$ .

Obsahuje-li funkční řídicí skupina osmibitový čítač vpřed, dostaneme na výstupu skokovou (rychlostní) funkci. S čítačem vpřed/vzad a vhodným řízením je možné na výstupu zobrazit napětí trojúhelníkovitého průběhu. Řízení však musí přepínat čítač po dosažení maximálního čitaného stavu ( $N = 255$ ) na čítání vzad a po dosažení minimálního čitaného stavu ( $N = 0$ ) opět na čítání vpřed.

Chceme-li realizovat libovolnou funkci, je nutné uložit řídicí funkci do pevné paměti dat (např. paměti ROM, PROM, EPROM) a příslušným způsobem ji cyklicky z paměti číst.

Velikost výstupního napětí je možné řídit pomocí referenčního rezistoru. Přitom se musí dbát na dostatečnou kompenzací. Kapacita kompenzačního kondenzátoru  $C = 10 \text{ nF}$  dostačuje až do odporu referenčního rezistoru 660 k $\Omega$ .

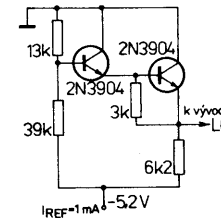
V náročných převodníkových systémech D/A, u nichž se vyžaduje velmi značná tepelná stabilita, se doporučuje ošetřit vývod LC převodníkového obvodu teplotně kompenzovaným obvodem. Vhodný způsob kompenzovaného zapojení vývodu LC převodníku, který má pracovat s logikou CMOS, HTL nebo NMOS je navržen na obr. 58. Zapojení



Obr. 58. Teplotně kompenzované zapojení vývodu LC obvodu DAC-08 při spolupráci s logikou CMOS, HTL a NMOS

pracuje se dvěma tranzistory typu 2N3904 (popříp. TESLA KF508), odebírá nepatrný proud a po straně provozní je velmi spolehlivé. Upřavený obvod na obr. 59 slouží pro

ošetření vývodu LC převodníku, který má spolupracovat s logikou ECL.



Obr. 59. Teplotně kompenzované zapojení vývodu LC obvodu DAC-08 při spolupráci s logikou ECL

#### Monolitické převodníky D/A 8 b nestandardních řad

Mimo popsané převodníkové obvody D/A, které se mohou označit jako základní standardní součástky, vyrábí někteří specializovaní výrobci velmi užitečné převodníkové obvody 8 b, jejichž vnitřní systém je upraven pro plnění dalších úloh. V tabulce 19 je uveden přehled zajímavých obvodů, které jsou v současné době dosažitelné na evropském trhu polovodičových součástek.

#### Monolitické převodníky D/A 8b řady DAC90

Monolitické integrované bipolární převodníky D/A 8b řady DAC90 z výroby amerického výrobce Burr-Brown nabízejí vlastnosti, které můžeme nalézt především u velkých modulových součástek, vyráběných hybridní technologií. Převodníky DAC90 jsou vybaveny vnitřním zdrojem referenčního napětí s dvěma měřicími rezistory. Výrobce zaručuje u převodníků nelinearitu lepší než  $\pm 0,2\%$  v celém dovoleném rozsahu teplot od  $-25$  do  $+85^\circ\text{C}$  u typu DAC90BG a od  $-55$  do  $+125^\circ\text{C}$  u typu DAC90SG. Typická doba ustálení převodníků je 200 ns na 0,2 % plného rozsahu výstupního proudu. Z této krátké charakteristiky je patrné, že popisované součástky jsou vhodné pro náročná použití v přesných přístrojích, průmyslové elektronice a v přístrojích pro zpracování dat.

Funkční skupinové zapojení převodníků DAC90 je na obr. 60. Důležitou vlastností je jednak přímý proudový výstup s proudem od 0 do 2 mA (vývod 13), jednak přes dva rezistory 5 k $\Omega$  na vývody 12 a 11. Jejich

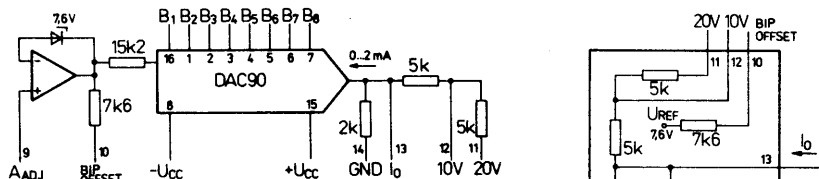
Tab. 19. Přehled základních vlastností převodníků D/A 8b nestandardních řad

Typ	Rozlišení [b]	Rel. přesnost [ $\pm\% \text{ FS}$ ]	Doba ustálení [ns]	Napájecí napětí [V]	Ztrátový výkon [mW]	Teplotní rozsah	Pouzdro	Výrobce	Zapojení vývodů	obr. č.
DAC90BG	8	0,2	200	$\pm 15$		C	CDIP16	BB	DIP16-4	61
DAC90SG	8	0,2	200	$\pm 15$		A	CDIP16	BB	DIP16-4	61
DAC336B-8	8	0,05	<4000	$\pm 15$	150	A	MDIP16	Sipex	DIP16-5	66
DAC336C-8	8	0,05	<4000	$\pm 15$	150	D	MDIP16	Sipex	DIP16-5	66
HS3020B	8	0,1	<3000	$\pm 15; +5$	680	A	CDIP18	Sipex	DIP18-1	73
HS3020C	8	0,1	<3000	$\pm 15; +5$	680	D	CDIP18	Sipex	DIP18-1	73

Teplotní rozsah: A –  $-25$  až  $+85^\circ\text{C}$ ; C –  $-25$  až  $+85^\circ\text{C}$ ; D – 0 až  $+70^\circ\text{C}$ .

Výrobce: BB – Burr-Brown, Sipex – Sipex Corp.

Obr. 60. Funkční skupinové zapojení převodníku DAC90



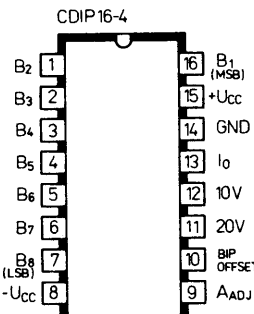
využitím je možné nastavit výstupní napětí přídavného vnějšího operačního zesilovače na 10 nebo 20 V. Vnitřní zdroj referenčního napětí tvoří velmi stabilní Zenerova dioda s napětím 7,6 V, která je připojena mezi neinvertující vstup a výstup vnitřního operačního zesilovače. **Funkce vývodů:** B<sub>1</sub> až B<sub>8</sub> – vstupy číslicového signálu, I<sub>o</sub> – proudový výstup; 10 V – rozsah výstupního napětí 10 V; 20 V – rozsah výstupního napětí 20 V; GND – společný zemník bod; A<sub>ADJ</sub> – nastavení zisku (pokud se tento vývod nepoužije k nastavení zisku, musí se uzemnit); BIP OFFSET – vývod pro korekci chyby ofsetu; +U<sub>CC</sub> – přívod kladného napájecího napětí; -U<sub>CC</sub> – přívod záporného napájecího napětí. Součástky jsou v keramickém pouzdru DIP-16 s 2 × osmi vývody rozloženými v rastru 2,54 mm, odstup řad vývodů 7,62 mm. Zapojení vývodů je uvedeno na obr. 61. Elektrické údaje jsou v tabulce 20.

Převodníky DAC90 akceptují číslicový vstupní signál v komplementárním binárním kódu (CBI), ovšem mohou být též zapojeny pro provoz s komplementárním přímým binárním (CSB) nebo komplementárním ofsetovým binárním (COB) kódem podle tabulky 21. Použitím vnějšího přídavného invertoru se mohou převodníky DAC90 využívat v komplementárním dvojkovém módu (CTC).

Uváděná doba ustálení převodníku 200 ns platí při použití zatěžovacího rezistoru 200 nF.

Tab. 20. Elektrické údaje převodníků D/A 8 bit řady DAC90

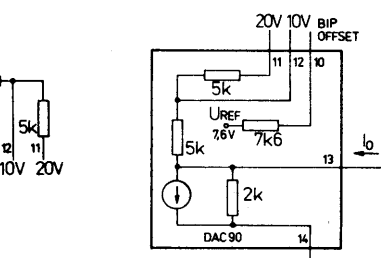
Mezní údaje			
Rozsah napájecího napětí	U <sub>CC</sub> = ±14,5 až ±15,5	V	
Rozsah provozní teploty okolí			
DAC90RG	θ <sub>a</sub> = -25 až +85	°C	
DAC90SG	θ <sub>a</sub> = -55 až +125	°C	
Rozsah skladovací teploty	θ <sub>atg</sub> = -55 až +125	°C	
Charakteristické údaje			
Fletí při θ <sub>a</sub> = 25 °C, U <sub>CC</sub> = ±15 V, není-li uvedeno jinak.			
Rozlišení	= jmen. 8	b	
Chyba linearity	± 1/2	LSR	
θ <sub>a</sub> = -25 až +85 °C, DAC90RG	± 1/2	LSB	
θ <sub>a</sub> = -55 až +125 °C, DAC90SG	± 1/2	LSB	
Chyba diferenciální linearity	= jmen. ± 1/2	LSB	
Chyba zisku 1)	= jmen. 5	%	
Chyba offsetu 1,2)	= jmen. 1	%FS	
Minimální teplotní rozsah zaručené			
monotonie			
DAC90RG	θ <sub>a</sub> = -25 až +85	°C	
DAC90SG	θ <sub>a</sub> = -55 až +125	°C	
Vstupní napětí logických vstupů			
I <sub>TH</sub> = 40 μA, úroveň H	U <sub>TH</sub> = 2,0 až 5,5	V	
I <sub>IL</sub> = -1 mA, úroveň L	U <sub>IL</sub> = 0 až -1	V	
Doba ustálení			
na ±0,2 % FS			
R <sub>L</sub> = 10 až 100 Ω	t <sub>S</sub> = jmen. 200	ns	
R <sub>L</sub> = 1 kΩ	t <sub>S</sub> = jmen. 300	ns	
Rozsah výstupního proudu	I <sub>o</sub> = jmen. ± 1; 0 až -2	mA	
Výstupní impedance			
bipolární výstup	Z <sub>o</sub> = jmen. 1,8	kΩ	
unipolární výstup	Z <sub>o</sub> = jmen. 2,0	kΩ	
Pružnost výstupního napětí	U <sub>o</sub> = -4 až +4	V	



Obr. 61. Zapojení vývodů CDIP16-4 převodníku DAC90

ru do 100 Ω. Doba ustálení se prodlouží na 250 až 300 ns při rezistoru 1 kΩ, při rezistorech s větším odporem (až do 100 kΩ) se doba ustálení mírně prodlužuje na typickou dobu 300 až 350 ns. Uvedené časy platí pro ustálení na ±0,2 % plného rozsahu, měřeno od číslicového vstupu, u něhož nastala změna signálu.

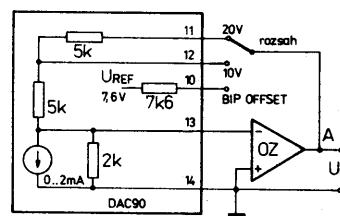
Pružnost výstupního napětí je vlastní maximální rozdíl napětí na proudovém výstupu, potřebný k udržení požadované přesnosti. Při unipolárním a bipolárním proudovém zatížení je pružnost -4 až +4 V. Největší dovolený rozdíl napětí, který nepoškodí součástku, může být na výstupu od -4 do +15 V.



Obr. 62. Doporučené zapojení převodníku DAC90 při provozu s proudovým výstupem

Převodník DAC90 v proudovém výstupním provozu dovoluje unipolární výstupní proud od 0 do -2 mA nebo bipolární výstupní proud ±1 mA. Základní zapojení převodníku je na obr. 62. Ponecháli se vývod 13 volný, je výstupní proudový rozsah od 0 do -2 mA, spojí-li se s vývodem 10 (bipolární ofset), upraví se výstup na bipolární s rozsahem ±1 mA.

Převodník D/A, který pracuje s operačním zesilovačem, připojeným k výstupu podle obr. 63, jako převodník proudu na napětí, může odevzdat výstupní napětí v několika



Obr. 63. Doporučené zapojení převodníku DAC90 při provozu s napěťovým výstupem; připojený vnější operační zesilovač využívá vnitřních zpětnovazebních rezistorů převodníku

Vnitřní referenční napětí	U <sub>REF</sub> = jmen. 7,6	V
Teplotní součinitel referenčního napětí	TKU <sub>REF</sub> = jmen. ± 50	ppm/K
Teplotní závislost zisku 3)	TK <sub>A</sub> = jmen. ± 50	ppm/K
θ <sub>a</sub> = -25 až +85 °C, DAC90RG	TK <sub>A</sub> = jmen. ± 50	ppm/K
θ <sub>a</sub> = -55 až +125 °C, DAC90SG	TK <sub>A</sub> = jmen. ± 50	ppm/K
Teplotní závislost unipolárního ofsetu 3)		
θ <sub>a</sub> = -25 až +85 °C, DAC90RG	TK = jmen. ± 1	ppmFS/K
θ <sub>a</sub> = -55 až +125 °C, DAC90SG	TK = jmen. ± 1	ppmFS/K
Teplotní závislost bipolárního ofsetu 3)		
θ <sub>a</sub> = -25 až +85 °C, DAC90RG	TK = jmen. ± 50	ppmFS/K
θ <sub>a</sub> = -55 až +125 °C, DAC90SG	TK = jmen. ± 50	ppmFS/K
Citlivost výstupního napětí FS napájecího na změnu záporného napětí,		
+U <sub>CC</sub> = 15 V napájecího na změnu kladného napětí,	PSR- = jmen. ± 0,02;	%FS/%U <sub>CC</sub>
-U <sub>CC</sub> = 15 V	PSR+ = jmen. ± 0,002	%FS/%U <sub>CC</sub>
Spotřeba napájecího proudu	I <sub>CC</sub> = jmen. 7	mA

1. Vyvážení na nulu je možné využítm potenciometrem.
2. FSR znamená "full scale range" (plný rozsah), pro napěťový rozsah ±10 V je 20 V, pro ±5 V je 10 V apod.
3. K dodržení specifikací tepelné závislosti se musí použít vnitřní zpětnovazební rezistor.
4. Vývod 9 (nastavení zisku A<sub>ADJ</sub>) se musí spojit se zemí, jestliže se nevyužije k nastavení zisku.

Tab. 21. Číslicové vstupní a analogové výstupní vztahy převodníku DAC90

Číslicový vstupní kód	Výstupní rozsah				
	napěťový <sup>1)</sup> [V]	proudový [mA]	[0 až +10 V]	[±10 V]	[0 až -2 mA]
B <sub>1</sub> B <sub>2</sub> B <sub>3</sub> B <sub>4</sub> B <sub>5</sub> B <sub>6</sub> B <sub>7</sub> B <sub>8</sub>	0 až +10 V	±10 V	0 až -2 mA	±1 mA	
L L L L L L L L	+9,961	+9,922	-1,992	-0,992	
L H H H H H H H	+5,000	0,000	-1,000	0,000	
H L L L L L L L	+4,961	-78,12 mV	-0,99	+7,81 μA	
H H H H H H H H	0,000	-10,000	0,000	+1,000	
1 LSB	39,06 mV	78,12 mV	7,81 μA	7,81 μA	

- Vyžaduje vnější operační zesilovač. K získání údajů pro ostatní binární (CBI) rozsahy platí:  
rozsah 0 až +5 V: napěťový rozsah 0 až +10 V se dělí 2,  
rozsah ±5 V: napěťový rozsah ±10 V se dělí 2,  
rozsah ±2,5 V: napěťový rozsah ±10 V se dělí 4.

rozsazích v závislosti na způsobu zapojení přímého výstupu a výstupu operačního zesilovače při zvoleném číslicovém vstupním kódovi podle tabulky 22.

K vyvážení ofsetu je prioritní vnější úprava zapojení převodníkového obvodu, která slouží k nastavení zisku. Podle zapojení na obr. 63 se nastaví výstupní rozsah, vlastní vyvážení ofsetu je podle obr. 64a. Způsob nastavení ofsetu je shodný jak pro unipolární, tak bipolární provoz. K vyvážení se přivede na číslicové vstupy příslušná instrukce pro nulové výstupní napětí a potenciometrem se nastaví nulové napětí. Příslušný kód je uveden v tabulce 21.

Dále uvedený postup nastavení zisku platí rovněž jak pro bipolární, tak unipolární provoz. Vnější operační zesilovač se připojí k převodníkovému obvodu podle obr. 63, korekční obvod se použije podle obr. 64b. Na vstup se pak přivede vstupní signál podle tabulky 21 pro maximální kladné výstupní napětí. Potenciometrem se nařídí přesné výstupní napětí.

Napěťový rozsah proudového výstupu převodníku DAC90, který pracuje podle zapojení na obr. 63, se zvolí připojením vývodu A a vývodu 13 podle tabulky 22. Pro běžné použití postačí operační zesilovač oblíbeného typu 741 nebo 3500, popřípadě jejich obdoba. Vyžaduje-li se rychlé zpracování signálu, musí se zvolit rychlejší operační zesilovač.

### Bipolární převodníky D/A 8b řady DAC336-8

Velmi přesné bipolární integrované převodníkové obvody D/A 8b řady DAC336-8, jejichž výrobcem je americká firma Sipex Corp. (dříve známá jako Hybrid Systems Corp.), sdružují na společném čipu přesný zdroj referenčního napětí -8,0 V, rezistorovou jednotku R-2R, vstupní spináče, vstupní

paměťový registr 8b a výstupní zesilovač. Vnitřní funkční blokové zapojení obvodů je na obr. 65. Popsané vnitřní uspořádání snižuje počet potřebných vnějších součástek na minimum a současně zvětšuje spolehlivost provozu obvodu v základních mikropočítávacích řídicích procesech a jiných průmyslových zapojeních.

Předností obvodu je přesné nastavení obvodu během výrobního postupu na  $\pm 0,05\%$ , což je čtyřikrát větší přesnost než mají jiné srovnatelné převodníkové obvody D/A 8b. Obvod tedy nevyžaduje potenciometr pro nastavení přesnosti a nákladné kondenzátory. Na jednoduchém výstupu je možné vhodným programováním odebírat jedno ze čtyř výstupních napětí: 0 až +10 V, 0 až -10 V,  $\pm 5$  V nebo  $\pm 10$  V.

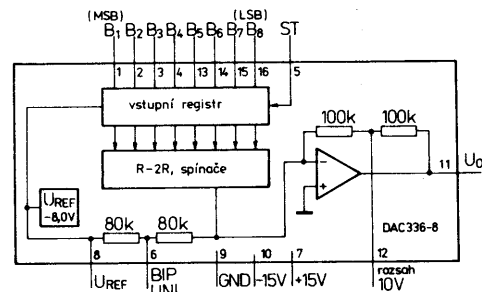
Vzorkovací vstup ST (vývod 5) řídí tok dat do záchranného obvodu (paměťového registru) převodníku. Je-li na tomto vstupu ST úroveň L, zadržuje registr přivedená data. Změní-li se výstupní signál na úrovni H, uvolní registr přicházející data a analogový výstup bude sledovat číslicový vstupní signál.

Klíčovou součástí obvodu je laserem trémovaná tenkofilmová rezistorová jednotka z niklchromu s malou tepelnou závislostí. Další předností obvodu je malý příkon (typicky 150 mW). Převodník akceptuje logické úrovně logických obvodů TTL, DTL a CMOS s napájením 5 V. Výstup převodníku může dodávat výstupní proud větší než 5 mA při výstupním napětí  $\pm 10$  V.

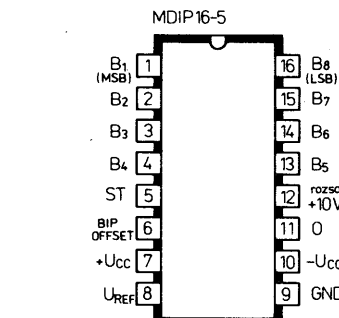
Funkce vývodů: B<sub>1</sub> až B<sub>8</sub> – číslicové logické vstupy; ST – vzorkovací vstup; BIP OFFSET – bipolární ofset; U<sub>REF</sub> – výstup referenčního napětí; +10 V – napěťový rozsah +10 V; O – výstup; GND – zemníci bod; +U<sub>CC</sub> – přípoj kladného napájecího napětí; -U<sub>CC</sub> – přípoj záporného napájecího napětí. Zapojení vývodů ukazuje obr. 66.

Výrobce dodává dva typy převodníkových obvodů této řady. DAC336B-8 je určen pro použití v širokém rozsahu provozních teplot od -55 do +125 °C a splňuje podmínky normy MIL-STD-883 Rev.B, úroveň B, druhé provedení DAC336C-8 je určeno pro použití v běžném rozsahu provozních teplot od 0 do +70 °C. Elektrické údaje popsaných obvodů jsou v tabulce 23.

Funkci analogového výstupu v závislosti na přivedeném vstupním číslicovém signálu udává tabulka 24 pro unipolární a bipolární výstupní napětí. Rozsah výstupního napětí se volí spojením vývodů 6 a 10 k předepsanému vývodu podle tabulky 25. Vstupní kód je dán požadovaným rozsahem výstupního napětí.



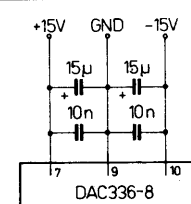
Obr. 65. Funkční skupinové zapojení převodníku D/A 8b řady DAC336-8



Obr. 66. Zapojení vývodů MDIP16-5 převodníku DAC336-8

Tab. 22. Napěťový rozsah proudového výstupu převodníku DAC90, který pracuje s vnějším operačním zesilovačem

Výstupní rozsah [V]	Číslicový vstupní kód	Vývod A	Vývod 13 připojit k vývodu
±10	COB	11	10
±5	COB	12	10
±2,5	COB	12	10, 11
0 až +10	CSB	12	NC
0 až +5	CSB	12	11



Obr. 67. Doporučený způsob blokování převodníku napájecího napětí převodníku DAC336-8

Spolehlivá a přesná funkce převodníku vyžaduje dobré blokování přívodů napájecích napětí. Doporučené zapojení je navrženo na obr. 67. K blokování používejte jen kvalitní kondenzátory (keramické a tantalové).

### Hybridní převodníky D/A 8b řady HS3020

Hybridní integrované obvody HS3020 z výroby firmy Sipex Corp. jsou převodníky D/A 8b, vyrobené hybridní technologií z diskrétních součástek, namontovaných na keramickém substrátu. Systém obvodu sdružuje zdroj přesného referenčního napětí, který tvoří Zenerova dioda, vstupní registr, přesnou rezistorovou jednotku R-2R, vlastní převodník D/A 8b a výstupní zesilovač s krátkou dobou ustálení.

Tab. 23. Elektrické údaje převodníku D/A 8 a řady DAC336-8 firmy Sipex

Mezní údaje			
Rozsah napájecího napětí kladného	$+U_{CC} = 11 \text{ až } 18$	V	
záporného	$-U_{CC} = 11 \text{ až } 18$	V	
Rozsah provozní teploty okolí			
DAC336B-8	$T_a = -55 \text{ až } +125$	°C	
DAC336C-8	$T_a = 0 \text{ až } +70$	°C	
Charakteristické údaje			
Platí při $T_a = 25^\circ\text{C}$ , $U_{CC} = \pm 15 \text{ V}$ , není-li uvedeno jinak.			
Rozlišení	= 8	b	
Integrální linearita	= jmen. $\pm 1/8$ ; $\pm 1/2$ LSB		
Diferenční linearita	= jmen. $\pm 1/2$ ; $\pm 1$ LSB		
Doba ustálení na 0,2 % FS, při změně o 1 LSB	$t_S \leq 4$	μs	
Rychlosť přeběhu	$dU/dt = \text{jmen. } 0,5$	V/μs	
Logická služitelnost číslicových vstupů			
úroveň H, $U_{IH} > 3,5 \text{ V}$	logika TTL, DTL		
úroveň L, $U_{IL} \leq 0,8 \text{ V}$	logika TTL, DTL		
prehová úroveň, $U_I = 2,5 \text{ V}$	logika CMOS s napájením 5 V		
Vstupní proud číslicových vstupů	$I_I \leq 1$	mA	
Vstupní kód			
unipolární kladný	komplementární binární		
unipolární záporný	binární		
bipolární	komplementární offset binární		
Šířka vzorkovacího impulu <sup>1)</sup>	$t_W \geq 140$	ns	
Doba nastavení dat <sup>2)</sup>	$t_{\text{setup}} \geq 50$	ns	
Zisk analogového výstupu	$A_0 = \text{jmen. } \pm 0,05; \pm 0,2 \text{ %FS}$		
Počáteční offset	= jmen. $\pm 0,05; \pm 0,2 \text{ %FS}$		
Rozsah výstupního napětí unipolární	$U_{OC} = 0 \text{ až } -10; 0 \text{ až } +10$	V	

Tab. 24. Číslicové vstupní a analogové výstupní vztahy převodníku DAC336-8

Číslicový vstupní kód								Analogový výstup [V]							
B <sub>1</sub>	B <sub>2</sub>	B <sub>3</sub>	B <sub>4</sub>	B <sub>5</sub>	B <sub>6</sub>	B <sub>7</sub>	B <sub>8</sub>	unipolární		bipolární					
								+10 V	-10 V	±10 V	±5 V				
L	L	L	L	L	L	L	L	+9,961	0,000	+10,000	+5,000				
L	L	L	L	L	L	L	H	+9,922	-0,039	+9,922	+4,961				
L	H	H	H	H	H	H	H	+5,000	-4,961	+0,078	+0,039				
H	L	L	L	L	L	L	L	+4,961	-5,000	0,000	0,000				
H	H	H	H	H	H	H	L	+0,039	-9,922	-9,843	-4,922				
H	H	H	H	H	H	H	H	0,000	-9,961	-9,921	-4,961				

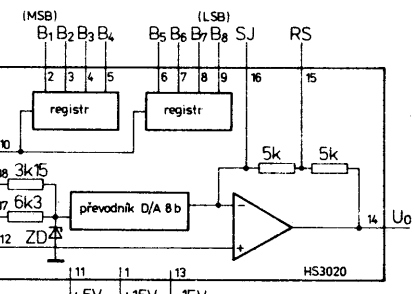
Výstup převodníku může pracovat ve čtyřech napěťových rozsazích a to s kladným a záporným unipolárním napětím a kladným a záporným bipolárním napětím. Funkční skupinové zapojení převodníku je na obr. 68.

Tab. 25. Napěťový rozsah proudového výstupu převodníku DAC336-8

Rozsah výstupního napětí [V]	Vstupní kód	Vývod 6	Vývod 11
0 až +10	komplementární binární	8	12
0 až -10 ±5	komplementární binární offset	GND volný	12
±10	komplementární binární offset	volný	volný

bipolární	$U_{OC} = \pm 5; \pm 10$	V
Výstupní proud	$I_O = 5$	mA
Výstupní impedance	$R_O = 1$	Ω
Referenční napětí vnitřní	$U_{REF} = \text{jmen. } -8,0$	V
Stabilita v celém rozsahu dovolených teplot:		
Teplotní součinitel diferenční linearity		
DAC336C-8, $T_a = 0 \text{ až } +70^\circ\text{C}$	$\pm 15; \pm 25$	ppmFS/K
DAC336B-8, $T_a = -55 \text{ až } +125^\circ\text{C}$	$\pm 15$	ppmFS/K
Teplotní součinitel zisku		
DAC336C-8, $T_a = 0 \text{ až } +70^\circ\text{C}$	$\pm 20; \pm 30$	ppmFS/K
DAC336B-8, $T_a = -55 \text{ až } +125^\circ\text{C}$	$\pm 20$	ppmFS/K
Teplotní součinitel offsetu		
DAC336C-8, $T_a = 0 \text{ až } +70^\circ\text{C}$	$\pm 20; \pm 30$	ppmFS/K
DAC336B-8, $T_a = -55 \text{ až } +125^\circ\text{C}$	$\pm 20$	ppmFS/K
Teplotní součinitel celkové přesnosti příchodu signálu		
DAC336C-8, $T_a = 0 \text{ až } +70^\circ\text{C}$	$\pm 30; \pm 50$	ppmFS/K
DAC336B-8, $T_a = -55 \text{ až } +125^\circ\text{C}$	$\pm 50$	ppmFS/K
Spotřeba napájecího proudu		
z kladného zdroje	$+I_{CC} = \text{jmen. } 3,5; \pm 6$	mA
ze záporného zdroje	$-I_{CC} = \text{jmen. } 6,5; \pm 12$	mA
Citlivost výstupního proudu $I_{FS}$ na změnu		
kladného napájecího napětí	$PSR+ = 0,005$	FS/ $U_{CC}$
záporného napájecího napětí	$PSR- = 0,005$	FS/ $U_{CC}$

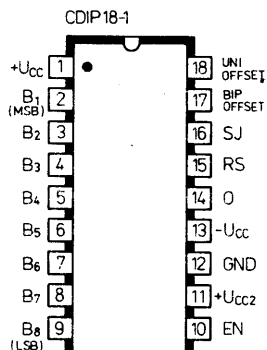
1. Zátěž vzorkovacího vstupu: připojujte se dva vstupy CMOS.
2. Časové údaje musí být stabilní před příchodem vzorkovacího impulu do úrovně L.



Obr. 68. Funkční skupinové zapojení převodníku D/A 8 a řady HS3020

vývodů 14, 17 a 18 podle stejné tabulky. Potenciometrem se pak nastaví výstupní napětí na předepsanou úroveň.

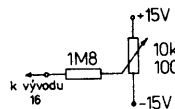
Převodníkové obvody HS3020 se napájí-



Obr. 69. Zapojení vývodů CDIP18-1 převodníku HS3020

Tab. 26. Elektrické údaje převodníku D/A 8b řady HS3020 firmy Sipex

Mezní údaje		
Rozsah napájecího napětí kladného	$+U_{CC} = 14 \text{ až } 18$	V
záporného	$-U_{CC} = 14 \text{ až } 18$	V
pomocného kladného	$+U_{CC2} = 4,75 \text{ až } 5,25$	V
Rozsah provozní teploty okolí		
HS3020B	$\vartheta_a = -55 \text{ až } +125$	$^{\circ}\text{C}$
HS3020C	$\vartheta_a = 0 \text{ až } +70$	$^{\circ}\text{C}$
Charakteristické údaje		
Platí při $\vartheta_a = 25^{\circ}\text{C}$ , $U_{CC} = \pm 15 \text{ V}$ , $U_{CC2} = +5 \text{ V}$ , není-li uvedeno jinak		
Rozlišení	= 8	b
Monotonie	= zaručená v celém teplotním rozsahu	
Chyba linearity		
HS3020B, $\vartheta_a = -55 \text{ až } +125^{\circ}\text{C}$	$E_r = \text{jmen. } \pm 1/4; \leq \pm 1/2$	LSP
HS3020C, $\vartheta_a = 0 \text{ až } +70^{\circ}\text{C}$	$E_r = \pm 1/2$	LSP
Chyba absolutní přesnosti		
HS3020B, $\vartheta_a = -55 \text{ až } +125^{\circ}\text{C}$	$\leq 1$	LSB
HS3020C, $\vartheta_a = 0 \text{ až } +70^{\circ}\text{C}$	$= \text{jmen. } \pm 1/2; \leq 1$	LSB
Doba nastavení		
změna 10 V na $\pm 1/2$ LSB	$t_S \leq 3000$	ns
Rychlosť přehoru	= jmen. $\pm 15$	ppm/K
Kódování	= průměrný binární kód offset binární kód	
Chyba unipolárního offsetu		
HS3020B, $\vartheta_a = -55 \text{ až } +125^{\circ}\text{C}$	$\leq \pm 1$	LSB
Chyba bipolárního offsetu		
HS3020B, $\vartheta_a = -55 \text{ až } +125^{\circ}\text{C}$	$\leq \pm 1$	LSB
Tepelná závislost offsetu v celém dovoleném rozsahu teplot		
unipolární + rozsah	= jmen. $\pm 2$	ppmPS/K



Obr. 70. Zapojení pro vyvážení bipolárního offsetu převodníku HS3020

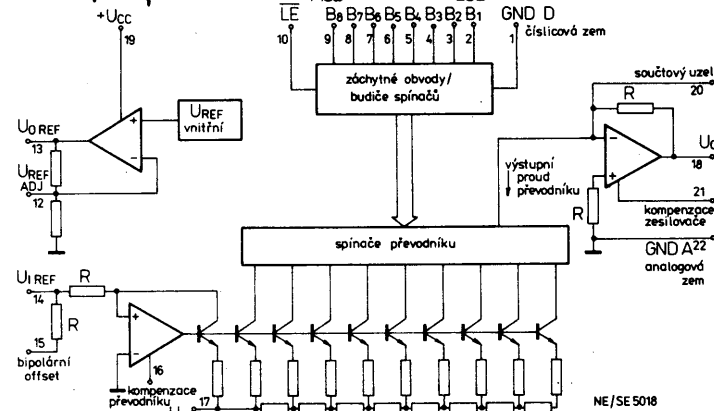
její třemi napětími – symetrickým napětím  $\pm 15 \text{ V}$  a pomocným kladným napětím  $+5 \text{ V}$ . I v tomto případě se musí všechna napájecí napětí blokovat kvalitními kondenzátory podle doporučeného zapojení na obr. 71.

### Převodníky D/A 8b řady 5018, 5118

Všem popsaným standardním převodníkům D/A je společná vlastnost, že ke svému provozu v převodníkovém systému vyžadují poměrně velký počet vnějších součástek, jako např. zdroj referenčního napětí, referenční a výstupní rezistory, výstupní operační zesilovač apod. Systém tohoto typu sice nabízí velkou pružnost, avšak pro většinu použití to není vůbec zapotřebí. Mnohdy postačí mít převodník D/A s malým odporem

unipolární - rozsah	= jmen. $\pm 10$	ppmPS/K
bipolární rozsahy	= jmen. $\pm 10$	ppmPS/K
Tepelná závislost zisku v celém dovoleném rozsahu teplot	= jmen. $\pm 15$	ppmPS/K
Vstupní úroveň kislovkových vstupů		
úroveň H, $I_{IH} = 30 \mu\text{A}$	$I_{IH} = 2,0 \text{ až } 5,5$	V
úroveň L, $-I_{IL} = 0,6 \text{ mA}$	$I_{IL} = -0,5 \text{ až } +0,7$	V
Vstupní úroveň uvolňovacího vstu-pu registru		
úroveň H, $I_{IH} = 40 \mu\text{A}$	$I_{IH} = 2,0 \text{ až } 5,5$	V
úroveň L, $-I_{IL} = 0,8 \text{ mA}$	$I_{IL} = -0,5 \text{ až } +0,7$	V
Šířka uvolňovacího impulsu vstu-pu registru	$t_W \geq 60$	ns
Doba nastavení	$t_{setup} \geq 40$	ns
Výstupní proud	$I_O \geq \pm 5$	mA
Výstupní impedance	$R_O = \text{jmen. } 0,05$	$\Omega$
Zkrat výstupu včetně země		není definován
Citlivost výstupního proudu na změnu napájecího napětí kladného	$FSR+ = \text{jmen. } \pm 0,03$	%FS/%U <sub>CC</sub>
záporného	$FSR- = \text{jmen. } \pm 0,01$	%FS/%U <sub>CC</sub>
Spotřeba napájecího proudu z kladného zdroje, $U_{CC} = +15 \text{ V}$	$+I_{CC} \leq 20$	mA
ze záporného zdroje, $U_{CC} = -15 \text{ V}$	$-I_{CC} \leq 13$	mA
z kladného zdroje, $U_{CC2} = +5 \text{ V}$	$+I_{CC2} \leq 37$	mA
Ztrátový výkon	$P_D \leq 680$	mW

▼ Obr. 72. Funkční skupinové zapojení pře-vodníku D/A řady NE/SE 5018, NE/SE5019, DAC-UP8B



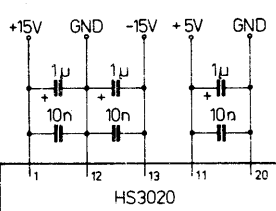
výstupu s kladným nebo bipolárním výstupním napětím, který však vyžaduje co nejméně počet vnějších součástek. Navíc by měl mít ještě možnost jednoduchého připojení k datové sběrnici mikroprocesorového systému, s nímž by měl spolupracovat.

Přesně těmto požadavkům odpovídají převodníky řady 5018, 5118 a DAC-UP8B.

Jejich přehled je uveden v tabulce 28, kde jsou i jejich základní vlastnosti. Každý obvod tvorí úplný převodníkový systém D/A včetně vnitřního zdroje referenčního napětí, výstupního operačního zesilovače a mikroprocesorového rozhraní. Podstatné rozdíly mezi jednotlivými typy jsou především v dovoleném rozsahu pracovních teplot a druzích výstupu.

Tab. 27. Číslicové vstupní a analogové výstupní vztahy převodníku HS3020

Číslicový vstupní kód	Analogový výstup [V]										
	unipolární				bipolární						
B <sub>1</sub>	B <sub>2</sub>	B <sub>3</sub>	B <sub>4</sub>	B <sub>5</sub>	B <sub>6</sub>	B <sub>7</sub>	B <sub>8</sub>	kladný	záporný	$\pm 5 \text{ V}$	$\pm 10 \text{ V}$
L	L	L	L	L	L	L	L	0,000	-9,961	-5,000	-10,000
L	L	L	L	L	L	L	H	+0,039	-9,922	-4,961	-9,922
L	H	H	H	H	H	H	H	+4,961	-5,000	-0,039	-0,078
H	L	L	L	L	L	L	L	+5,000	-4,961	0,000	0,000
H	H	H	H	H	H	H	L	+9,922	-0,039	+4,922	+9,844
H	H	H	H	H	H	H	H	+9,961	0,000	+4,961	+9,922
Spojit vývod s vývodem								14 s 15	14 s 15	14 s 15	
								17 s GND	16 s 18	16 s 17	16 s 17
								18 s GND	17 s GND	18 s GND	18 s GND



Obr. 71. Doporučený způsob blokování přívodů napájecího napětí převodníku HS3020

Tab. 28. Přehled základních vlastností převodníků D/A 8 b řady 5018, 5118, slučitelných s mikroprocesory

Typ	Rozlišení [b]	Rel. přesnost [ $\pm\%$ FS]	Doba ustálení [ns]	Napájecí napětí [V]	Ztrátový výkon [mW]	Teplotní rozsah	Pouzdro	Výrobce	Zapojení vývodů	obr. č.
DAC-UP8BC	8	0,19	2000	$\pm 15$			D	DIP22	Datel	DIP22-1 73
DAC-UP8BM	8	0,19	2000	$\pm 15$			A	CDIP22	Datel	DIP22-1 73
NE5018F	8	0,19	1800	$\pm 15$	255	D	CDIP22	P	DIP22-1 73	
NE5018N	8	0,19	1800	$\pm 15$	255	D	CDIP22	P	DIP22-1 73	
NE5019F	8	0,10	1800	$\pm 15$	255	D	CDIP22	P	DIP22-1 73	
NE5019N	8	0,10	1800	$\pm 15$	255	D	CDIP22	P	DIP22-1 73	
NE5118F	8	0,19	200	$\pm 15$	255	D	CDIP22	P	DIP22-2 81	
NE5118N	8	0,19	200	$\pm 15$	255	D	CDIP22	P	DIP22-2 81	
NE5119F	8	0,10	200	$\pm 15$	255	D	CDIP22	P	DIP22-2 81	
NE5119N	8	0,10	200	$\pm 15$	255	D	CDIP22	P	DIP22-2 81	
SE5018F	8	0,19	1800	$\pm 15$	255	A	CDIP22	P	DIP22-1 73	
SE5018N	8	0,19	1800	$\pm 15$	255	A	CDIP22	P	DIP22-1 73	
SE5019F	8	0,10	1800	$\pm 15$	255	A	CDIP22	P	DIP22-1 73	
SE5118F	8	0,19	200	$\pm 15$	255	A	CDIP22	P	DIP22-2 81	
SE5119F	8	0,10	200	$\pm 15$	255	A	CDIP22	P	DIP22-2 81	

Teplotní rozsah: A: -55 až +125 °C, D: 0 až +70 °C

Výrobce: Datel Corp., P - Philips Components

Na obr. 72 je funkční skupinové zapojení převodníků řady NE5018, NE5019, SE5018 a SE5019. Mimo známé základní funkční skupiny jako referenční zesilovač, rezistorová síť R-2R, proudovod spínače a vstupní paměťový registr obsahuje čip převodníku funkční skupiny zdroje referenčního napětí a výstupní operační zesilovač.

Zesilovač referenčního proudu je určen pouze pro zpracování kladného referenčního napětí. Vnitřní referenční rezistor však není spojen se zdrojem referenčního proudu. Tato skutečnost dovoluje konstruktéru použít vnější zdroj referenčního napětí. Napětí na referenčním vstupu má být v tomto případě 0 až 5 V. Zesilovač referenčního proudu je navržen tak, aby nemusel být kompenzován při použití vnitřního či vnějšího zdroje referenčního napětí s vnitřním odporem menším než 5 kΩ. Se zvětšujícím se vnitřním odporem zdroje klesá fázová závislost, takže od určitého odporu je nutná kompenzace. Vazba referenčního proudu z referenčního zesilovače do rezistorové jednotky R-2R je stejná jako u převodníků řady DAC-08, referenční proud je však v tomto bodě znásoben součinitelem 2.

Vnitřní zdroj referenčního napětí je založen na principu tzv. pásmové mezery (band-gap). Kterým se vyrábí teplotně nezávislé napětí 1,21 V. Toto napětí je zesíleno vnitřním neinvertujícím zesilovačem na velikost asi 5 V, které je možné odebrat na výstupu referenčního napětí (vývod 13). Aby bylo možné jednoduchým způsobem z vnějšku nařídit referenční napětí, je vyveden spojovací bod obou rezistorů, které určují zesílení, na společný vývod (vývod 12).

Výstupní proudy rezistorové jednotky R-2R, které se spínají proudovým spínačem na výstup, se přivádějí na rychlý výstupní operační zesilovač (s rychlosí přeběhu 15 V/μs). Tento zesilovač je propojen vnitřním rezistorem pro kladné výstupní napětí. Výstupní napětí je proto dáno

$$U_O = 2U_{REF} \cdot \frac{N}{256}$$

Využije-li se vnitřního zdroje referenčního napětí (vývody 13 a 14 se spojí), bude rozsah výstupního napětí 0 až 9,961 V a rozlišovací schopnost 39 mV.

Jak je patrné z obr. 72, je na vstupu referenčního napětí (vývod 14) ještě druhý rezistor, jehož konec (vývod 15) je vyveden s určením pro připojení bipolárního ofsetového napětí. Připojí-li se tento vývod do bodu součtového uzlu (vývod 20), bude ofsetové napětí na výstupu dáné velikostí referenčního napětí. Výstupní napětí je v tomto případě bipolární a je dáno

$$U_O = 2U_{REF} \cdot \frac{N}{256} - U_{REF}$$

Bude-li  $N = 128$ , bude výstupní napětí právě rovno nule. Bude-li  $N < 128$ , bude výstupní napětí záporné, naopak bude-li  $N > 128$ , bude výstupní napětí kladné. Použije-li se vnitřní zdroj referenčního napětí, dostaneme rozsah výstupního napětí od -5 V do +4,961 V.

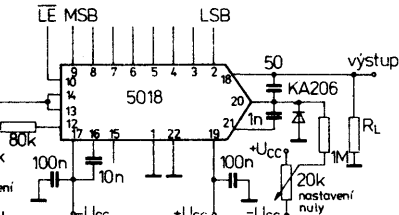
Výstupní operační zesilovač se musí kompenzovat z vnějšku. Dále se doporučuje připojit diodu, pólovanou v propustném směru, k součtovému uzlu. Dioda slouží ke zmenšení přebuzení vstupu operačního zesilovače a zamezuje přechodu proudového spínače do stavu nasycení. Tímto opatřením se zkrátí doba ustálení na průměrnou dobu 2 μs.

Na obr. 73 je zapojení vývodů převodníkových obvodů řady 5018 a 5019. Funkce vývodů: B<sub>1</sub> až B<sub>8</sub> - logické číslicové vstupy; L<sub>E</sub> - uvolňovací vstup vstupního registru; U<sub>REF ADJ</sub> - nastavení referenčního napětí; U<sub>O REF</sub> - výstup referenčního napětí; U<sub>I REF</sub> - vstup referenčního zesilovače; BIPOLAR OFFSET R - vývod rezistoru R na vstupu převodníkového zesilovače; KOMP DAC - kompenzace zesilovače převodníku; U<sub>O</sub> - výstupní napětí převodníku; SN - vývod součtového bodu; KOMP AMP - kompenzace výstupního zesilovače; +U<sub>CC</sub> - přípoj kladného napájecího napětí; -U<sub>CC</sub> - přípoj záporného napájecího napětí; GND A - zemnický bod analogové části obvodu; GND D - zemnický bod číslicové části převodníkového obvodu.

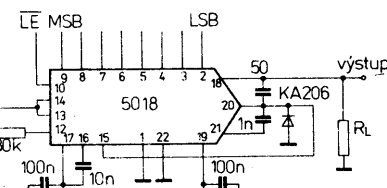
Integrované obvody NE5018, NE5019 jsou v plastovém pouzdru DIP-22 s 2× jedenácti vývody v rastru 2,54 mm a odstupem řad vývodů 11,4 mm, obvody SE5018, SE5019 jsou v hermeticky těsných keramických pouzdrech DIP-22 se stejnými rozměry. Součástky v plastovém pouzdru jsou určeny pro práci v běžném rozsahu teplot od 0 do +70 °C, součástky v keramickém pouzdru pro práci v širokém rozsahu teplot od -55 do +125 °C. Elektrické údaje popsaných převodníků jsou v tabulce 29.

Na obr. 74 a 75 je doporučené zapojení převodníkových obvodů NE/SE5018 a NE/SE5019 s potřebnými vnějšími součástkami. Budeme-li pracovat s referenčním napětím, můžeme kompenzovat zesilovač referenčního proudu kondenzátorem 100 nF vůči zápornému napájecímu napětí. V tomto případě nemohou být přijímány žádné požadavky na jeho náběhovou strmost.

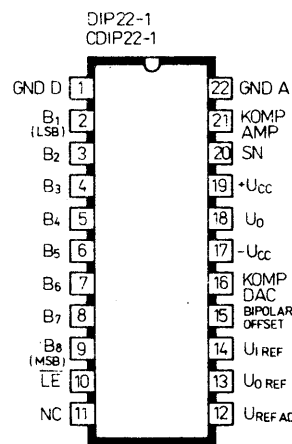
Zapojení na obr. 74 znázorňuje též zapojení k vyrovnaní konečné hodnoty rozsahu. Potenciometr 10 kΩ může být zvolen jako



Obr. 74. Doporučené zapojení převodníku s obvodem 5018 s unipolárním kladným výstupním napětím 0 až 10 V



Obr. 75. Doporučené zapojení převodníku s obvodem 5018 s bipolárním výstupním napětím od -5 V do +5 V



Obr. 73. Zapojení vývodů DIP22-1 převodníkových obvodů NE5018, NE5019, SE5018, SE5019, DAC-UP8BC, DAC-UP8BM

Tab. 29. Elektrické údaje převodníků D/A NE/SE5018, NE/SE5019

Mezní údaje			
Napájecí napětí kladné	$+U_{CC} \leq 18$	V	
Napájecí napětí záporné	$-U_{CC} \leq 18$	V	
Výstupní napětí logických vstupů	$U_I = 0 \text{ až } 18$	V	
Napětí na referenčním vstupu	$U_{I REF} \leq 12$	V	
Napětí na vstupu pro nastavení referenčního napětí	$U_{REF ADJ} = 0 \text{ až } U_{REF}$	V	
Napětí na vývodu SN (součkový režim)	$U_{SN} \leq 12$	V	
Zkratový proud výstupu referenčního napětí vlně země	$I_{REF SC} = \text{trvalý}$		
Zkratový proud výstupu vlně země nebo napájecím napětím	$I_{O SC} = \text{trvalý}$		
Výstupní proud referenčního zesilovače	$I_{REF} \leq 5$	mA	
Ztrátový výkon celkový součástky v pouzdru keramickém	$P_{tot} \leq 1000$	mW	
součástky v pouzdru plastovém	$P_{tot} \leq 600$	mW	
Rozsah provozní teploty okolí NE5018, SE5019	$\vartheta_a = 0 \text{ až } +70$	°C	
SE5018, SE5019	$\vartheta_a = -55 \text{ až } +125$	°C	
Rozsah skladovací teploty	$\vartheta_{stg} = -65 \text{ až } +150$	°C	
Teplotní vývoj při pájení $t \leq 10 \text{ s}$	$\vartheta_L \leq 300$	°C	
Snížení ztrátového výkonu součástky v plastovém pouzdru, $\vartheta_a > 35 \text{ °C}$	$\vartheta_a = 120$	K/W	
součástky v keramickém pouzdru, $\vartheta_a > 75 \text{ °C}$	$\vartheta_a = 75$	K/W	
Charakteristické údaje			
Platí při $+U_{CC} = 15 \text{ V}$ , $-U_{CC} = 15 \text{ V}$ , není-li uvedeno jinak. Jmenovité údaje platí při $\vartheta_a = 25 \text{ °C}$ .			
NE5018, SE5019: $\vartheta_a = 0 \text{ až } +70 \text{ °C}$			
SE5018, SE5019: $\vartheta_a = -55 \text{ až } +125 \text{ °C}$			
Rozlišení	= 8	b	
Monotonie	= 8	b	
Relativní přesnost			
NE5018, SE5018	$\pm 0,19$	%FS	
NE5019, SE5019	$\pm 0,10$	%FS	
Napájecí napětí kladné	$+U_{CC} = \text{jmen. } 15; \geq 11,4$	V	
Napájecí napětí záporné	$-U_{CC} = \text{jmen. } 15; \geq 11,4$	V	
"stunní napětí logických vstupů"	*		
vývod 1, $U_1 = 0 \text{ V}$			
úroveň H	$U_{IH} \geq 2,0$	V	
úroveň L	$U_{IL} \leq 0,8$	V	
Výstupní proud logických vstupů			
vývod 1, $U_1 = 0 \text{ V}$			
$U_I = 2 \text{ až } 18 \text{ V}$ , úroveň H	$I_{IH} = \text{jmen. } 0,1; \leq 10$	µA	
$U_I = -5 \text{ až } +0,8 \text{ V}$ , úroveň L	$I_{IL} = \text{jmen. } -2; \leq -50$	µA	
Výstupní napětí pro plný rozsah			
$U_I REF = 5,000 \text{ V}$ , $\vartheta_a = 25 \text{ °C}$			
unipolární provoz:			
NE5018, SE5018	$U_{FS} = \text{jmen. } 9,961$	V	
NE5019, SE5019	$U_{FS} = \text{jmen. } 9,961; 9,5 \text{ až } 10,5 \text{ V}$		
bipolární provoz:	$U_{FS} = \text{jmen. } +4,961; -5,000 \text{ V}$		
Výstupní napětí pro nulu rozsahu	$U_{ZS} = \text{jmen. } 5$	V	
Výstupní proud zkratový			
$U_0 = 0 \text{ V}$ , $\vartheta_a = 25 \text{ °C}$			
NE5018, SE5018	$I_{OS} = \text{jmen. } 40$	mA	
NE5019, SE5019	$I_{OS} = \text{jmen. } 15; \leq 40$	mA	
Citlivost výstupního proudu na změnu kladného napájecího napětí			
$-U_{CC} = 15 \text{ V}$ , $+U_{CC} = 13,5 \text{ až } 16,5 \text{ V}$	$PSR_{FS-} = \text{jmen. } 0,01$	%FS/%U_{CC}	
NE5018, SE5018	$PSR_{FS+} = \text{jmen. } 0,001; \leq 0,01$	%FS/%U_{CC}	
NE5019, SE5019			

na změnu záporného napájecího napětí

$+U_{CC} = 15 \text{ V}$ ,  $-U_{CC} = 13,5 \text{ až } 16,5 \text{ V}$

NE5018, SE5018  $PSR_{FS-} = \text{jmen. } 0,01$  %FS/%U\_{CC}

NE5019, SE5019  $PSR_{FS-} = \text{jmen. } 0,001; \leq 0,01$  %FS/%U\_{CC}

Teplotní součinitel výstupního proudu  $I_{FS}$ 

$U_{I REF} = 5,000 \text{ V}$   $TKI_{FS} = \text{jmen. } 20$  ppm/K

Teplotní součinitel výstupního proudu  $I_{ZS}$ 

$U_{I REF} = 5,000 \text{ V}$   $TKI_{ZS} = \text{jmen. } 5$  ppm/K

Výstupní proud referenčního zesilovace

$\Delta U_{REF} \leq 0,1 \%$ ,  $\vartheta_a = 25 \text{ °C}$ ,  $I_{REF} = \text{jmen. } 5$  mA

$U_{O REF} = 0 \text{ V}$   $I_{REF SC} = \text{jmen. } 15$  mA

Citlivost referenčního proudu na změnu kladného napájecího napětí

$I_{REF} = 1 \text{ mA}$   $I_{REF} = 1 \text{ mA}$

$-U_{CC} = 15 \text{ V}$ ,  $+U_{CC} = 13,5 \text{ až } 16,5 \text{ V}$   $PSR-I_{REF} = \text{jmen. } 0,01$  %UR/%U\_{CC}

NE5018, SE5018  $PSR+I_{REF} = \text{jmen. } 0,003; \leq 0,01$  %UR/%U\_{CC}

na změnu záporného napájecího napětí

$+U_{CC} = 15 \text{ V}$ ,  $-U_{CC} = 13,5 \text{ až } 16,5 \text{ V}$   $PSR-I_{REF} = \text{jmen. } 0,01$  %UR/%U\_{CC}

NE5019, SE5019  $PSR-I_{REF} = \text{jmen. } 0,003; \leq 0,01$  %UR/%U\_{CC}

Referenční napětí

NE5018, SE5018  $U_{REF} = \text{jmen. } 5,0$  V

NE5019, SE5019  $U_{REF} = \text{jmen. } 5,0; 4,5 \text{ až } 5,5 \text{ V}$

Teplotní součinitel referenčního napětí,  $I_{REF} = 1 \text{ mA}$ 

$TKU_{REF} = \text{jmen. } 60$  ppm/K

Vstupní impedance referenčního vstupu

NE5018, SE5018  $Z_{I REF} = \text{jmen. } 5$  kΩ

NE5019, SE5019  $Z_{I REF} = \text{jmen. } 5; 4 \text{ až } 6$  kΩ

Spotřeba napájecího proudu z kladného zdroje,  $+U_{CC} = 15 \text{ V}$ 

NE5018, SE5018  $+I_{CC} = \text{jmen. } 7$  mA

NE5019, SE5019  $+I_{CC} = \text{jmen. } 7; \leq 14$  mA

ze záporného zdroje,  $-U_{CC} = 15 \text{ V}$ 

NE5018, SE5018  $-I_{CC} = \text{jmen. } 10$  mA

NE5019, SE5019  $-I_{CC} = \text{jmen. } 10; \leq 15$  mA

Ztrátový výkon

$I_{REF} = 1 \text{ mA}$ ,  $U_{CC} = \pm 15 \text{ V}$   $P_D = \text{jmen. } 255$  mW

NE5018, SE5018  $P_D = \text{jmen. } 255$  mW

NE5019, SE5019  $P_D = \text{jmen. } 255; \leq 435$  mW

Dynamické údaje:

Platí při  $U_{CC} = \pm 15 \text{ V}$ ,  $\vartheta_a = 25 \text{ °C}$ 

Doba ustálení

na  $1/2 \text{ LSB}$ , všechny bity v H  $t_{SLH} = \text{jmen. } 1,8$  µs

na  $1/2 \text{ LSB}$ , všechny bity v L  $t_{SHL} = \text{jmen. } 2,5$  µs

Doba zpoždění průchodu signálu ze vstupu na výstup

všechny bity z úrovně L na H  $t_{PLH} = \text{jmen. } 300$  ns

všechny bity z úrovně H na L  $t_{PHL} = \text{jmen. } 150$  ns

při změně o 1 LSB  $t_{PLSR} = \text{jmen. } 150$  ns

ze vstupu L na výstup:

při přechodu z úrovně L na H  $t_{PLH} = \text{jmen. } 300$  ns

při přechodu z úrovně H na L  $t_{PHL} = \text{jmen. } 150$  ns

Doba nastavení ze vstupu na vývod L

NE5018, SE5018  $t_S \geq 200$  ns

NE5019, SE5019  $t_S \geq 100$  ns

Doba přidržení ze vstupu L

na výstup  $t_H \geq 50$  ns

Šířka uvolňovacího impulsu záchranného obvodu

NE5018, SE5018  $t_{PW} \geq 200$  ns

NE5019, SE5019  $t_{PW} \geq 150$  ns

Rychlosť přechodu referenčního vstupu

$dU/dt = \text{jmen. } 25$  V/µs

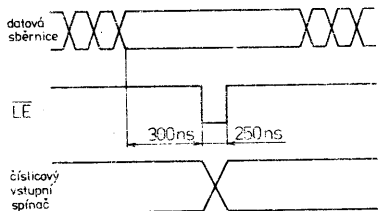
Tab.30 Elektrické údaje převodníku D/A 8 b řady DAC-UP8B firmy Datel

Mezní údaje			Doba ustálení		
Napájecí napětí kladné, vývod 19	+U <sub>CC</sub> $\leq +18$	V	na 1/2 LSB	t <sub>S</sub> = 2	μs
Napájecí napětí záporné, vývod 17	-U <sub>CC</sub> $\leq -18$	V	Vstupní napětí logických vstupů		
Vstupní napětí logických vstupů vývody 2 až 10	U <sub>I</sub> $\leq +18$	V	všechny bity v úrovni H,	U <sub>IH</sub> = 2,0 až 5,5	V
Napětí vstupu referenčního zesilovače, vývod 14	U <sub>14 REF</sub> $\leq +12$	V	I <sub>IH</sub> = 10 μA	U <sub>IL</sub> = 0 až +0,8	V
Napětí vývodu součtového spoje vývod 20	U <sub>20</sub> $\leq +12$	V	všechny bity v úrovni L, I <sub>IL</sub> = -10 μA		
Rozsah provozní teploty okolí DAC-UP8BC	$\vartheta_a = 0 \text{ až } +70$	°C	Zátěž vstupu LE		
DAC-UP8BM	$\vartheta_a = -55 \text{ až } +125$	°C	úroveň H	U <sub>LE H</sub> = přidření dat	ns
Rozsah skladovací teploty	$\vartheta_{stg} = -65 \text{ až } +150$	°C	úroveň L	U <sub>LE L</sub> = průchod dat	
Charakteristické údaje			Šířka zatěžovacích impulzů	t <sub>w</sub> $\geq 150$	
Platí při U <sub>CC</sub> = ± 15 V, U <sub>REF</sub> = 5 V, $\vartheta_a = 25$ °C, není-li uvedeno jinak.			Vstupní referenční napětí	U <sub>REF</sub> = 5; 4,5 až 5,5	V
Rozlišení	= 8	b	Opor referenčního vstupu	R <sub>REF</sub> = 5	kΩ
Kódování			Rychlosť přeběhu referenčního vstupu	dU/dt = 25	V/μs
unipolární výstup	= přímý binární kód		Rozsah výstupního napětí		
bipolární výstup	= offset binární kód		unipolární	U <sub>O</sub> = 0 až +10	V
Chyba linearity	E <sub>r</sub> $\leq \pm 1/2$ LSB		bipolární	U <sub>O</sub> = ± 5	V
Chyba diferenční linearity	$\leq \pm 1/2$ LSB		Výstupní proud	I <sub>O</sub> $\leq 5$	mA
Monotonie			Výstupní odpor	R <sub>O</sub> $\leq 5$	Ω
v celém dovoleném rozsahu pracovní teploty	= 8	b	Výstupní referenční napětí	U <sub>REF</sub> = 5; 4,5 až 5,5	V
Chyba zisku	= nastavitelná na 0		Výstupní referenční proud	I <sub>REF</sub> = 5	mA
Chyba nuly	= nastavitelná na 0		Napájecí napětí provozní	U <sub>CC</sub> = ± 15	V
Tepelný součinitel zisku	TKA = 20	ppm/K	Rozsah napájecího napětí	U <sub>CC</sub> = ± 12 až ± 18	V
Tepelný součinitel nuly, unipolární TK	= 5	ppm/K z FS	Spotřeba napájecího proudu	+I <sub>CC</sub> = jmen. 7	mA
Tepelný součinitel offsetu, bipo- lární	TK = 10	ppm/K z FS	ze záporného zdroje	-I <sub>CC</sub> = jmen. 10	mA
Tepelný součinitel referenčního napětí	TK <sub>REF</sub> = 60	ppm/K	Citlivost výstupního napětí na změnu napájecího napětí	PSR = jmen. 1	mV/V

viceotáckový (např. desetiotáckový). Zvětší se tím přesnost nastavení.

Vstupní paměť se může řídit pomocí vstupu LE zpět do úrovně H, zapíše se přivedená informace na vstup do vstupní paměti. Výstup převodníku odevzdává konstantní signál, který odpovídá zapamatované informaci zcela nezávisle na informaci, která je právě na číslicovém vstupu. Teprve po opětném přivedení signálu s úrovní L na vstup LE bude nová číslicová informace převzata a nastaví se odpovídající výstupní napětí.

Vstupní paměť převodníku má velký odpor, proto se tak nezatěžuje datová sběrnice. Vstupní proudy činí průměrně 5 μA. Prahová napětí pro úrovně H a L jsou volena tak, aby se mohly zpracovávat úrovně logiky TTL, DTL, LSL, NMOS bez dalších úprav. Informace na datové sběrnici může být po dobu nejméně 550 ns, než vstup LE přejde opět do vysoké úrovně H (viz obr. 76). K nastavení dat je potřebná doba 300 ns, k převzetí dat doba nejméně 250 ns. V katalogovém listě je uváděna doba potřebná k převzetí dat průměrně 400 ns. Proto jsou popsána zapojení dostatečně rychlá pro všechny obvyklé typy mikroprocesorů.



Obr. 76. Časový diagram přejímání dat v převodníku řady 5018

Převodníky řady 5018 jsou vhodné především pro použití v systémech s datovými sběrnicemi. Mohou se samozřejmě použít ve všech popsaných zapojeních s převodníkovými obvody DAC-08, u nichž s přidavným operačním zesilovačem na výstupu mohou odevzdat kladné nebo bipolární výstupní napětí. Všechny informace platí též pro práci s převodníky 5019. V některých případech se s nimi dosáhne větší relativní přesnosti, k čemuž dále přispívají lepší specifikace převodníků výběrových vlastností.

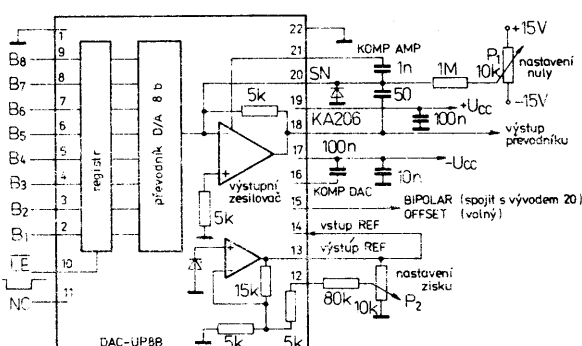
### Převodníky D/A 8 b řady DAC-UP8B

Americký výrobce Datel Corp. vyrábí převodníkové obvody elektricky a mechanicky obdobně s řadou 5018 a označuje je typovým znakem DAC-UP8BC a DAC-UP8BM. Jsou velmi přesné ( $\pm 0,19$ ), rozdíl mezi oběma provedeními spočívá pouze v dovoleném rozsahu provozních teplot okolí. Sou-

částky DAC-UP8BM jsou v keramickém pouzdru, DAC-UP8BC v plastovém pouzdru DIP22 s 2x jedenácti vývody v rastru 2,54 mm ve dvou řadách a odstupem řad vývodů 11,4 mm. Zapojení vývodů (stejně jako jejich funkce) je shodné se zapojením převodníků NE/SE5018 podle obr. 73.

Funkční skupinové zapojení převodníků DAC-UP8B řady je shodné s obr. 72. Elektrické údaje jsou uvedeny v tabulce 30. Doporučené provozní zapojení převodníků DAC-UP8B, které je výrobcem používáno též ke kalibraci převodníkového systému, je uvedeno na obr. 77. Vývod 15 zůstává volný, požadujeme-li unipolární rozsah výstupního napětí 0 až +10 V. Jestliže požadujeme bipolární výstupní rozsah  $\pm 5$  V, musí se spojit vývod 15 s vývodem 20.

**Postup vyvažování:** Nejdříve zvolíme výstupní rozsah tím, že spojíme vývod 15 podle žádaného módů. Na vstup LE přivede-

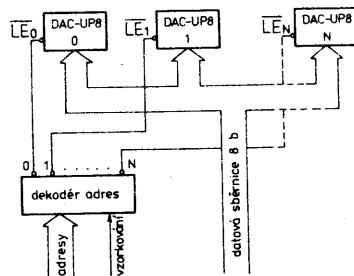


Obr. 77. Doporučené provozní zapojení převodníkového obvodu DAC-UP8B, vhodné též ke kalibraci systému

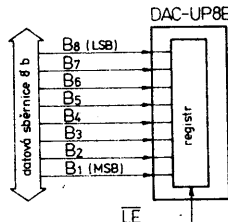
me signál s úrovní L. Při unipolárním provozu se na všechny číslicové vstupy přivede signál s úrovní L a potenciometrem  $P_1$  pro nastavení nuly se nastaví výstupní napětí 0,000 V podle tabulky 31. Při bipolárním provozu se na všechny číslicové vstupy přivede signál L a potenciometrem  $P_1$  pro nastavení nuly se nastaví výstupní napětí pro plný rozsah -5,000 V.

Zisk se při unipolárním i bipolárním provozu nastaví tak, že se na číslicové vstupy přivede signál s úrovní H a potenciometrem nastavení zisku  $P_2$  se nařídí výstupní napětí pro plný unipolární rozsah +9,961 V nebo +4,961 V pro plný bipolární rozsah.

Integrované převodníkové obvody DAC-UP8B řady jsou přizpůsobeny pro spolupráci s mikropřesovými systémy. Další dva příklady dávají námět k jejich využití. K řízení procesů, měřicích a testovacích přístrojů, ale i k řízení programovatelných napájecích zdrojů, popř. vstupních a výstupních zařízení počítačů může posloužit schématické zapojení tří nebo i více převodníkových obvodů DAC-UP8B podle obr. 78, které slouží jako rozhraní k osmibitové datové sběrnici.



Obr. 78. Rozhraní s několika převodníky DAC-UP8B pro datovou sběrnici 8 b



Obr. 79. Zapojení pro řízení paralelního datového signálu 8 b na vstup registru obvodu DAC-UP8B

Obr. 79 předvádí zapojení pro přivádění paralelního osmibitového datového signálu na vstup registru obvodu DAC-UP8B. Funkční skupina registru je statická záchranná paměť, kterou řídí vývod LE, aktivní v nízké úrovni L. Jsou-li přivedená data stabilní na číslicových datových vstupech (bit 1 a 8), mohou projít do registru s kladnou hranou vstupního impulsu LE. Napěťová úroveň na datové sběrnici má trvat nejméně 200 ns před změnou signálu LE do úrovně H. Minimální šířka uvolňovacího impulsu LE je 200 ns.

### Převodníky D/A 8 b řady 5118

Tato řada převodníků se skládá ze čtyř typů NE5118, NE5119, SE5118, SE5119.

Tab. 31. Číslicové vstupní a analogové výstupní vztahy převodníků řady DAC-UP8B  
Datal

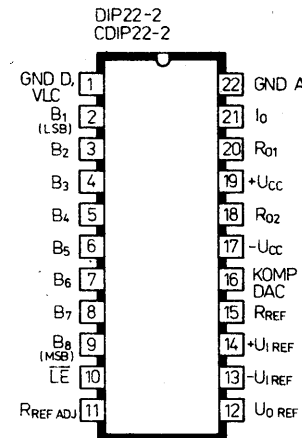
Číslicový vstupní kód	Výstupní napěťový rozsah [V]		
MSB	LSB	unipolární	bipolární
B <sub>1</sub> B <sub>2</sub> B <sub>3</sub> B <sub>4</sub> B <sub>5</sub> B <sub>6</sub> B <sub>7</sub> B <sub>8</sub>		0 až +10 V	±5 V
H H H H H H H H	+9,961	+4,961	
H H H L L L L L L	+8,750	+3,750	
H H L L L L L L L	+7,500	+2,500	
H L L L L L L L L	+5,000	0,000	
L H L L L L L L L	+2,500	-2,500	
L L L L L L L L H	+0,039	-4,961	
L L L L L L L L L	0,000	-5,000	

Jejich rozdíly v základních vlastnostech jsou uvedeny v přehledné tabulce 28. Obvody označené NE ... jsou určeny pro běžný rozsah pracovních teplot 0 až +70 °C, obvody SE ... pro široký rozsah teplot od -55 do +125 °C. Převodníky 5118 se vyznačují relativní přesnost ±0,19 % FS, 5119 přesnost ±0,1 % FS.

HLAVNÍ rozdíl mezi převodníky NE/SE5118 ve srovnání s převodníky řady NE/SE5018 spočívá v úpravě výstupní části vnitřního zapojení na proudový výstup. Funkční skupinové zapojení převodníků NE/SE5118 a NE/SE5119 je na obr. 80. Protože u této součástky není použit výstupní operační zesilovač, mají převodníky kratší dobu ustálení (200 ns), tedy asi desetkrát kratší než NE5018 (2 μs).

Obvody řady NE/SE5118 jsou v plastovém nebo keramickém pouzdru DIP-22 s 2x jedenácti vývody v rastru 2,54 mm a odstupem řad vývodů 11,4 mm. Zapojení vývodů je uvedeno na obr. 81. **Funkce vývodů:** B<sub>1</sub> až B<sub>8</sub> – číslicové logické vstupy; LE – uvolňovací vstup vstupního registru; R<sub>REF</sub> – vnitřní rezistor na vstupu zesilovače referenčního proudu; +U<sub>REF</sub> – neinvertující vstup zesilovače referenčního proudu; -U<sub>REF</sub> – invertující vstup zesilovače referenčního proudu; R<sub>REF ADJ</sub> – vývod středu rezistorového děliče na vstupu referenčního zesilovače; KOMP DAC – vývod pro vnější kompenzaci převodníků; I<sub>O</sub> – přímý proudový výstup převodníků; R<sub>O1</sub> – výstup převodníku přes vnitřní rezistor R; R<sub>O2</sub> – výstup převodníku přes vnitřní rezistory R+R; +U<sub>CC</sub> – připoj kladného napájecího napětí; -U<sub>CC</sub> – připoj záporného napájecího napětí; GND A – zemníci bod analogové části; GND D, VLC – zemníci bod číslicové části. Elektrické údaje popsaných převodníkových obvodů jsou obsaženy v tabulce 32.

Následující praktická zapojení převodníků řady 5118 jsou velmi jednoduchá a platí



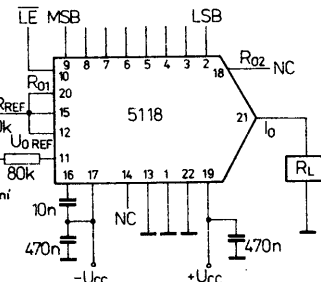
Obr. 81. Zapojení vývodů DIP22-2 převodníků NE5118, NE5119, SE5118, SE5119

rovněž pro obvody 5119. Na obr. 82 je vyzkoušené zapojení převodníku D/A s obvodem 5118, který pracuje s bipolárním proudovým výstupem s rozsahem od -1 mA do +1 mA. Plný rozsah se nastavuje potenciometrem P<sub>1</sub> s deseti otáčkami na plnou změnu odporu z 0 na 10 kΩ.

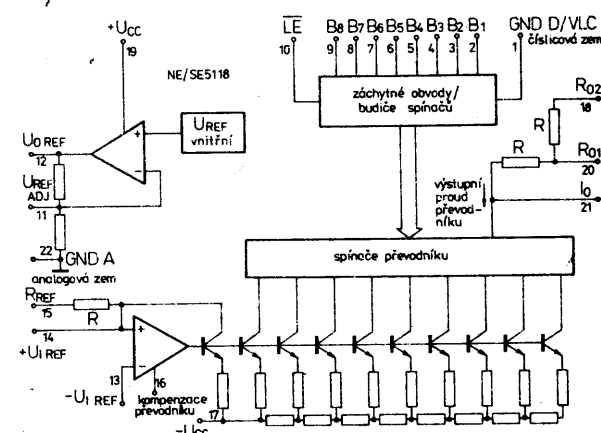
Převodník podle obr. 83, k jehož výstupu je připojen rychlý operační zesilovač NE530, pracuje s unipolárním výstupním napětím 0 až 10 V. Plný rozsah se nastavuje potenciometrem P<sub>1</sub>, nula potenciometrem P<sub>2</sub>.

Základní unipolární proudový rozsah s výstupním proudem od 0 do -2 mA má převodník 5118, zapojený podle obr. 84. V podstatě je to upravené zapojení podle obr. 83 s vyplňeným operačním zesilovačem.

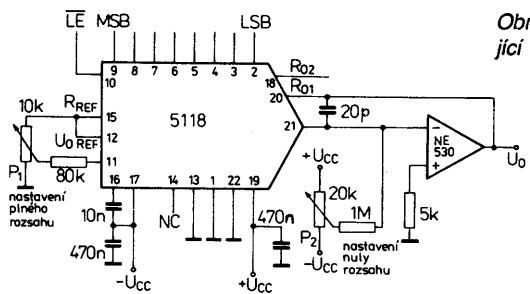
Rychlý napěťový výstup má převodník D/A s obvodem 5118 v zapojení podle obr. 85. Je nejjednodušší z popsaných zapojení. Rozsah výstupního napětí se volí připojením vývodu 20 buď na kladné napětí +10 V nebo na zemní potenciál. Výstupní napětí na vývodu 21 bude, při vstupním



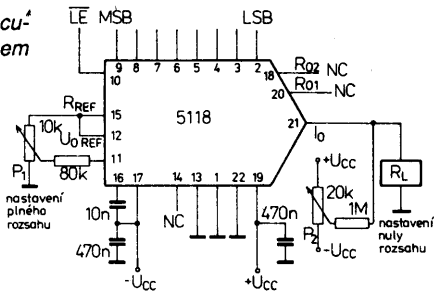
Obr. 82. Převodník D/A s obvodem 5118, pracující s bipolárním výstupním proudovým rozsahem -1 mA až +1 mA



Obr. 80. Funkční skupinové zapojení převodníků D/A řady 5118



Obr. 83. Převodník s obvodem 5118, pracující s unipolárním napěťovým výstupem v rozsahu 0 až +10 V



Obr. 84. Základní zapojení převodníku s obvodem 5118 s unipolárním výstupem v rozsahu 0 až -2 mA

Tab. 32. Elektrické údaje převodníků D/A řady NE/SE5118, NE/SE5119

Mezní údaje		
Napájecí napětí kladné	+U <sub>CC</sub> ≤ 18	V
Napájecí napětí záporné	-U <sub>CC</sub> ≤ 18	V
Vstupní napětí logických vstupů	U <sub>I</sub> = 0 až 18	V
Napětí na referenčním vstupu	U <sub>I REF</sub> ≤ 12	V
Napětí na vstupu pro nastavení referenčního napětí	U <sub>ADJ REF</sub> = 0 až U <sub>REF</sub>	V
Zkratový proud výstupu referenčního napětí vůči zemi	I <sub>REF SC</sub> = trvalý	
Vstupní proud referenčního zesilováče	I <sub>REF</sub> ≤ 5	mA
Zkratový výkon celkový		
součástky v plastovém pouzdro N	P <sub>tot</sub> ≤ 800	mW
součástky v keramickém pouzdro F	P <sub>tot</sub> ≤ 1000	mW
Rozsah provozní teploty okolí		
NE5118, NE5119	θ <sub>a</sub> = 0 až +70	°C
SE5118, SE5119	θ <sub>a</sub> = -55 až +125	°C
SE5118, SE5119	θ <sub>stg</sub> = -65 až +150	°C
Rozsah skladovací teploty		
Teplota vývodu při pájení t < 10 s	θ <sub>L</sub> ≤ 300	°C
Snížení ztrátového výkonu		
součástka v pouzdru N, θ <sub>a</sub> > 35 °C	= 120	K/W
součástka v pouzdru F, θ <sub>a</sub> > 75 °C	= 75	K/W

#### Charakteristické údaje

Platí při +U<sub>CC</sub> = 15 V, -U<sub>CC</sub> = 15 V, není-li uvedeno jinak. Jmenovité údaje platí při θ<sub>a</sub> = 25 °C.

NE5118, NE5119: θ<sub>a</sub> = 0 až +70 °C  
SE5118, SE5119: θ<sub>a</sub> = -55 až +125 °C

Rozlišení	= 8	b
Monotonie	= 8	b
Relativní přesnost		
NE5118, SE5118	E <sub>r</sub> ≤ ± 0,19	%FS
NE5119, SE5119	E <sub>r</sub> ≤ ± 0,10	%FS
Napájecí napětí kladné	+U <sub>CC</sub> = jmen. 15; ≥ 11,4	V
Napájecí napětí záporné	-U <sub>CC</sub> = jmen. 15; ≥ 11,4	V
Vstupní napětí logických vstupů		
napětí vývodu U <sub>I</sub> = 0 V		
úroveň H	U <sub>IH</sub> ≥ 2,0	V
úroveň L	U <sub>IL</sub> ≤ 0,8	V
Vstupní proud logických vstupů		
U <sub>I</sub> = 0 V		
úroveň H, U <sub>I</sub> = 2 až 18 V	I <sub>IH</sub> = jmen. 0,1; ≤ 10	μA
úroveň L, U <sub>I</sub> = -5 až +0,8 V	I <sub>IL</sub> = jmen. -2; ≤ -10	μA
Výstupní proud pro plný rozsah		
U <sub>REF</sub> = 5,000 V, θ <sub>a</sub> = 25 °C	I <sub>FS</sub> = jmen. 1,992; 1,90 až 2,10	mA
unipolární provoz		
Výstupní proud pro nulu rozsahu	I <sub>ZS</sub> = jmen. 1	μA
Vnitřní referenční napětí		
I <sub>0</sub> = 1 mA	U <sub>REF</sub> = jmen. 5,0; 4,5 až 5,5 V	
Citlivost výstupního proudu na změnu napájecího napětí		
U <sub>REF</sub> = 5,000 V	PSRI <sub>FS+</sub> = jmen. 0,001; ≤ 0,01 %FS/U <sub>ref</sub>	
kladného, -U <sub>CC</sub> = 15 V,		
+U <sub>CC</sub> = 11,4 až 16,5 V		
záporného, +U <sub>CC</sub> = 15 V,		
-U <sub>CC</sub> = 11,4 až 16,5 V	PSRI <sub>FS-</sub> = jmen. 0,001; ≤ 0,01 %FS/U <sub>ref</sub>	

#### Teplotní součinitel výstupního proudu I<sub>FS</sub>

$$TKI_{FS} = \text{jmen. } 20 \quad \text{ppm/K}$$

#### Teplotní součinitel výstupního proudu I<sub>ZS</sub>

$$TKI_{ZS} = \text{jmen. } 5 \quad \text{ppm/K}$$

#### Výstupní proud referenčního zesilováče

$$I_{REF} = \text{jmen. } 5 \quad \text{mA}$$

#### Výstupní proud zkratový referenčního zesilováče

$$I_{REF SC} = \text{jmen. } 15; \leq 30 \quad \text{mA}$$

#### Citlivost referenčního proudu na změnu napájecího napětí

$$PSRI_{REF+} = \text{jmen. } 0,003; \leq 0,01 \%FS/U_{REF}$$

$$PSRI_{REF-} = \text{jmen. } 0,003; \leq 0,01 \%FS/U_{REF}$$

#### Teplotní součinitel referenčního napětí

$$TKU_{REF} = \text{jmen. } 60 \quad \text{ppm/K}$$

#### Vstupní impedance referenčního vstupu

$$Z_{I REF} = 4 \text{ až } 6 \quad \text{kΩ}$$

Spotřeba napájecího proudu z kladného zdroje, +U<sub>CC</sub> = 15 V ze záporného zdroje, -U<sub>CC</sub> = 15 V

$$+I_{CC} = \text{jmen. } 7; \leq 14 \quad \text{mA}$$

$$-I_{CC} = \text{jmen. } 10; \leq 15 \quad \text{mA}$$

Ztrátový výkon

$$I_{REF} = 1 \text{ mA}, U_{CC} = \pm 15 \text{ V} \quad P_D = \text{jmen. } 255; \leq 435 \quad \text{mW}$$

Dynamické vlastnosti

Platí při U<sub>CC</sub> = ± 15 V, θ<sub>a</sub> = 25 °C.

#### Doba ustílení

$$\text{na } \pm 1/2 \text{ LSB, všechny bity v úrovni H} \quad t_{SLH} = \text{jmen. } 200 \quad \mu\text{s}$$

$$\text{úrovni L} \quad t_{SHL} = \text{jmen. } 200 \quad \mu\text{s}$$

#### Doba zpoždání příchodu signálu ze vstupu na výstup:

všechny bity sepnuty

$$\text{z úrovni L do úrovni H} \quad t_{PLH} = \text{jmen. } 60 \quad \text{ns}$$

$$\text{z úrovni H do úrovni L} \quad t_{PHL} = \text{jmen. } 60 \quad \text{ns}$$

při změně o 1 LSB

$$\text{ze vstupu LE na výstup:} \quad t_{PLSB} = \text{jmen. } 60 \quad \text{ns}$$

$$\text{z úrovni L do úrovni H} \quad t_{PLH} = \text{jmen. } 60 \quad \text{ns}$$

$$\text{z úrovni H do úrovni L} \quad t_{PHL} = \text{jmen. } 60 \quad \text{ns}$$

#### Doba nastavení ze vstupu na vývod LE

$$t_S \geq 100 \quad \text{ns}$$

#### Doba přidržení ze vstupu LE na výstup

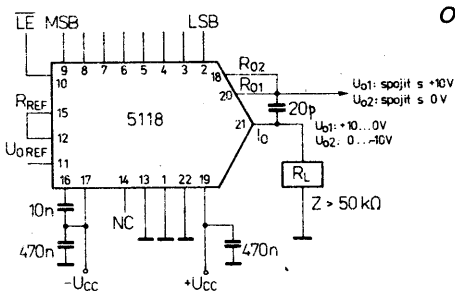
$$t_H \geq 50 \quad \text{ns}$$

#### Šířka uvolňovacího impulsu záchranného obvodu

$$t_{PW} \geq 150 \quad \text{ns}$$

#### Doba přehoru proudu referenčního vstupu

$$dI/dt = \text{jmen. } 5 \quad \text{mA/}\mu\text{s}$$



Obr. 85. Zapojení převodníku D/A s obvodem 5118 s rychlým napěťovým výstupem 0 až +10 V nebo -10 V až 0 V se zátěží s impedancí větší než 50 kΩ

signálu s úrovní L na všech číslicových logických vstupech, +10 V, při úrovni H bude 0 V za podmínky, že vývod 20 bude spojen s napětím +10 V. Spojí-li se vývod 20 se zemním potenciálem, bude výstupní napětí záporné -10 V při signálu s úrovní H na všech číslicových vstupech a 0 V při signálu s úrovní L. Podmínkou dobré funkce rychlého výstupu je zátěž s velkou impedancí (nejméně 50 kΩ), připojená k proudovému výstupu (vývod 21).

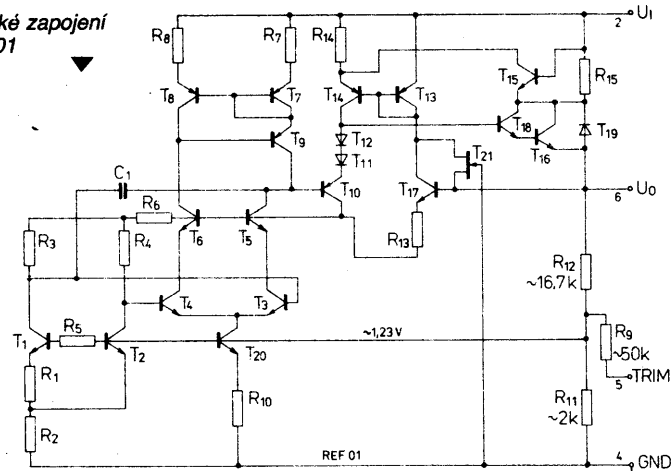
### Zdroje přesného referenčního napětí

Zdroje referenčního napětí se vyznačují konstantním výstupním napětím, které je nezávislé na změnách vstupního napětí, výstupního zatěžovacího proudu a pracovní teplotě. Zdroje referenčního napětí jsou nezbytné při konstrukci různých elektronických zařízení, jako např. výkonových napájecích zdrojů, kalibračních normálů, přesných proudových zdrojů, převodníkových systémů dat apod.

Většina přesných zdrojů referenčního napětí využívá principu tzv. band-gap (pásmové mezery), méně přesné zdroje používají tepelně stabilizovanou Zenerovou diodu, integrovanou na společném čipu. První metoda sčítá napětí se záporným a kladným teplotním součinitelem, čímž se dosáhne stabilního výstupního napětí v celém rozsahu dovolených teplot. Napětí přechodu báze-emitor tranzistoru vykazuje záporný teplotní součinitel, zatímco rozdílové napětí přechodu dvou tranzistorů, provozovaných při nerovných proudových poměrech ( $\Delta U_{BE}$ ) se vyznačuje kladným teplotním součinitelem. Rozdíl napětí bázi se zesiluje a sčítá s napětím báze-emitor. Tím vzniká tzv. prvek band-gap s napětím 1,23 V, který se vyznačuje téměř nulovým teplotním součinitelem v celém rozsahu provozních teplot. Napěťová úroveň 1,23 V se pak zesiluje na potřebné výstupní napětí.

Zenerova dioda jako zdroj referenčního napětí je vyrobena pod povrchovou Zenerovou barierou a vytváří stabilní napětí, které se pak zesiluje a od ostatních součástek se odděluje oddělovacím zesilovačem. Při obou popsaných metodách se mohou výstupní napětí nastavit na potřebnou absolutní toleranci a teplotní součinitel metodou laserového trimování nebo vhodnou konstrukcí Zenerovy diody. Moderní mikroelektronika umožnila vyrábět zdroje přesného

Obr. 86. Vnitřní elektrické zapojení obvodu REF-01



referenčního napětí technologií monolitických integrovaných obvodů velmi přesně, teplotně stabilní a to s nejrůznějším výstupním napětím.

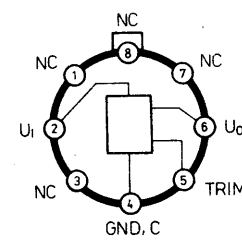
### Přesný zdroj referenčního napětí řady REF-01

Jedním z nejnájemších a nejpoužívanějších integrovaných zdrojů přesného referenčního napětí je základní obvod REF-01 s výstupním napětím +10 V, jehož původním výrobcem je americká firma Precision Monolithic Inc. Obvod se vyrábí v několika verzích a třech typech pouzdra. Vnitřní elektrické zapojení obvodu je na obr. 86.

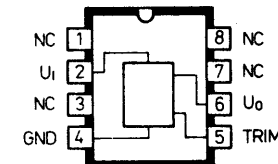
Stabilizované výstupní napětí obvodu je kladné, jeho velikost 10 V je možné nastavit v rozsahu  $\pm 3\%$  při minimálním vlivu na teplotní stabilitu výstupního napětí. Obvod se napájí jedním kladným vstupním napětím v rozsahu od 12 do 40 V, vlastní spotřeba napájecího proudu je malá (pouze 1 mA). Výborná teplotní stabilita je dáná vhodným vnitřním zapojením, které využívá popsaného principu pásmové mezery. Malý šum, malý příkon a nízká cena je příčinou velmi častého používání obvodu REF-01 nejen jako zdroje referenčního napětí pro číslicově-analogové převodníky, ale i jako stabilního zdroje napětí v mnoha jiných elektronických zapojeních, v přenosných přístrojích a číslicových voltmetrech.

Integrované obvody REF-01 se dodávají v kovovém pouzdru T0-99 s osmi drátovými vývody ve skleněné průchodece. Zapojení vývodů je na obr. 87. Další provedení je v plastovém pouzdru minidip DIP-8, v keramickém hermetickém pouzdru DIP-8, jejich zapojení vývodů je na obr. 88, a konečně též v plastovém pouzdru SO-8 s  $2 \times$  čtyřmi vývody ve dvou řadách s odstupem 1,27 mm a zapojením vývodů podle obr. 89. Novinkou je keramické pouzdro LCC-20 čtvrcového tvaru s pěti vývody na každé straně pouzdra a zapojením vývodů podle obr. 90.

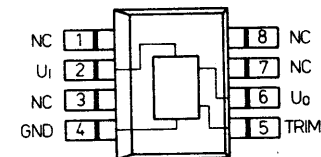
Elektrické údaje všech obvodů řady REF-01 jsou v tabulce 33. Stabilizované výstupní napětí se může zatěžovat proudem až do 20 mA, proudová spotřeba obvodu je přitom nejvíce 1,4 mA. Teplotní stabilita je podle typu maximálně 8,5 ppm/K. Typické zapojení pro přesné nastavení stabilizovaného výstupního napětí v rozsahu  $10 V \pm 300 mV$  je na obr. 91. Toto zapojení slouží uživateli k adjustování chyby systému malou úpravou referenčního napětí v rozsahu do  $\pm 300 mV$ . Ovšem výstupní napětí se může nastavit na přesné napětí 10,000 V nebo na 10,240 V, které je potřebné pro binární aplikace.



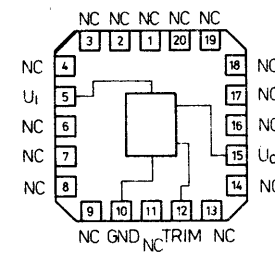
Obr. 87. Zapojení vývodů obvodů řady REF-01 v kovovém pouzdru T099 výrobci: PMI REF-01AJ, EJ, HJ, CJ, J, Maxim a Linear Technology REF-01AH, CH, EH, H, HH, Raytheon REF-01AT, AT/833, CT, DT, ET, HT, T, T/833



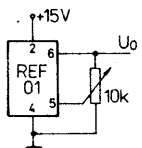
Obr. 88. Zapojení vývodů obvodů řady REF-01 v plastovém a keramickém pouzdru DIP-8 a CDIP-8 výrobci: PMI a Maxim REF-01 AZ, EZ, HP, HZ, CP, CS, CZ, Z, Linear Technology REF-01CJ8, CN8, EJ8, EN8, HJ8, HN8, Raytheon REF-01AD, AD/833, CD, CN, D, D/883, DD, DN, ED, EN, HD, HN, Analog Devices ADREF-01Q, AQ, EQ, HQ



Obr. 89. Zapojení vývodů řady REF-01 v plastovém pouzdru SO-8 pro povrchovou montáž výrobce Maxim REF-01CCSA, HCSA



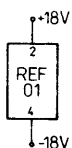
Obr. 90. Zapojení vývodů řady REF-01 v keramickém pouzdru LCC-20 výrobce PMI REF-01RC/883



Obr. 91. Typické zapojení pro přesné nastavení výstupního napětí referenčního obvodu REF-01 v rozsahu 10 V ±300 mV

Nastavení výstupu nemá pozorovatelný vliv na teplotní vlastnosti integrovaného obvodu. Změna teplotního součinitele je přibližně 0,7 ppm/K při změně výstupního napětí o 100 mV.

Zapojení na obr. 92 platí pro integrované obvody REF-01, ale po úpravách součástek i pro další typ REF-02. Všechny podskupiny této referenčních obvodů výrobce PMI a Maxim jsou stoprocentně zkoušeny proti zničení v uvedeném kritickém zapojení po dobu 24 h při teplotě 150 °C, což je ekvivalentní provozu po dobu 25 let při teplotě 25 °C. Toto podstatné zlepšení kvality sou-

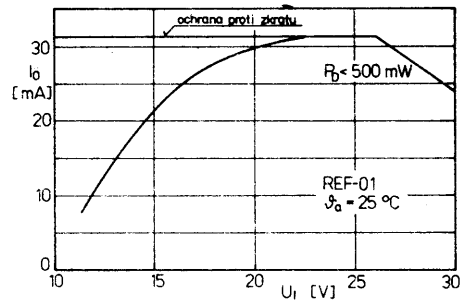


Obr. 92. Zkušební zapojení obvodu REF-01 proti zničení přetížením

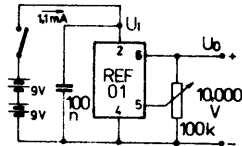
částky má vliv na dobrou dlouhodobou stabilitu provozu přístrojů.

Maximální dovolený výstupní zatěžovací proud obvodu REF-01 v závislosti na přivedeném vstupním napětí je patrný z grafické závislosti na obr. 93. Vnitřní ochrana proti zkratu omezuje výstupní proud na 31 mA. Při vstupním napětí větším než 26 V omezuje ochrana výstupní proud na maximální ztrátový výkon 500 mW.

Základní doporučené provozní zapojení obvodu REF-01 jako „přesný kalibrační napěťový normál“ je na obr. 94. Obvod se



Obr. 93. Závislost výstupního zatěžovacího proudu obvodu REF-01 na vstupním napětí



Obr. 94. Přesný napěťový kalibrační normál +10,000 V s obvodem REF-01

Tab. 33. Elektrické údaje přesného zdroje referenčního napětí +10 V řady REF-01

Mezní údaje			
Vstupní napětí			
REF-01, REF-01A, E, H, RC, čipy	$U_I \leq +40$	V	
REF-01C	$U_I \leq +30$	V	
Doba trvání zkratu výstupu vůči zemi nebo vstupnímu napětí			
t <sub>K</sub>	neomezeno		
Teplota přechodu	$\vartheta_J = -65 \text{ až } +150$	°C	
Rozsah provozní terloty okolo			
RCF-01, REF-01A, REF-01RC	$\vartheta_B = -55 \text{ až } +125$	°C	
REF-01E, H, CJ, CZ	$\vartheta_B = 0 \text{ až } +125$	°C	
REF-01CP, REF-01CS	$\vartheta_B = -40 \text{ až } +85$	°C	
Rozsah skladovací terloty			
REF-01 v pouzdru J, RC, Z	$\vartheta_{stg} = -65 \text{ až } +150$	°C	
REF-01 v pouzdru P	$\vartheta_{stg} = -65 \text{ až } +125$	°C	
Charakteristické údaje			
Přistí při $U_I = +15$ V, $\vartheta_B = 25$ °C, není-li uvedeno jinak.			
Výstupní napětí			
REF-01, REF-01A, REF-01E	$U_O = \text{jmen. } 10; \pm 0,97 \text{ až } 10,03$	V	
REF-01, REF-01H	$U_O = \text{jmen. } 10; 9,95 \text{ až } 10,05$	V	
REF-01C	$U_O = \text{jmen. } 10; 9,90 \text{ až } 10,10$	V	
Rozsah nastavení výstupního napětí			
$R_p = 10 \text{ k}\Omega$	$\Delta U_{TR} = \text{jmen. } \pm 3,3; \pm 3,0$	%	
jen REF-01C	$\Delta U_{TR} = \text{jmen. } \pm 3,3; \pm 2,7$	%	
Výstupní napětí šumové, mezihradlové			
f = 0,1 Hz až 10 Hz	$U_{ON M/M} = \text{jmen. } 20; \leq 30$	V	
jen REF-01C	$U_{ON M/M} = \text{jmen. } 25; \leq 35$	V	
Změna výstupního napětí se změnou vstupního napětí			
$U_I = 13 \text{ až } 33$ V	$\Delta U_{OI} = \text{jmen. } 0,006; \leq 0,01$	%/V	
$U_I = 13 \text{ až } 30$ V REF-01C	$\Delta U_{OI} = \text{jmen. } 0,009; \leq 0,015$	%/V	
Změna výstupního napětí se změnou zatěžovacího proudu			
$I_L = 0 \text{ až } 10 \text{ mA}$ REF-01A, REF-01E	$\Delta U_{OL} = \text{jmen. } 0,005; \leq 0,008$	%/mA	
$I_L = 0 \text{ až } 10 \text{ mA}$ REF-01H	$\Delta U_{OL} = \text{jmen. } 0,006; \leq 0,01$	%/mA	
$I_L = 0 \text{ až } 8 \text{ mA}$ REF-01C	$\Delta U_{OL} = \text{jmen. } 0,006; \leq 0,015$	%/mA	
Doba ustálení			
na ±0,1 % koncové hodnoty	$t_{QK} = \text{jmen. } 5$	μs	
Nanější proud v klidu	$I_{Q0} = \text{jmen. } 1; \leq 1,4$	mA	
REF-01C	$I_{Q0} = \text{jmen. } 1; \geq 1,6$	mA	
Zatěžovací proud	$I_L = \text{jmen. } 21; \geq 10$	mA	
REF-01C	$I_L = \text{jmen. } 21; \geq 8$	mA	
Výstupní proud zkratový			
$U_O = 0$ V	$I_{OK} = \text{jmen. } 30$	mA	
Záporný proud do zdroje	$-I_S = \text{jmen. } 0,5; \geq 0,3$	mA	

Přistí při  $U_I = +15$  V,  $I_L = 0$  mA, není-li uvedeno jinak.

$\vartheta_B = -55 \text{ až } +125$  °C

$\vartheta_B = 0 \text{ až } +70$  °C REF-01CJ, REF-01CZ

$\vartheta_B = -40 \text{ až } +85$  °C REF-01CP, REF-01CS

Změna výstupního napětí při změně terloty $1$			
$\vartheta_B = 0 \text{ až } +70$ °C	REF-01E	$\Delta U_{OT} = \text{jmen. } 0,02; \leq 0,06$	%
$\vartheta_B = 0 \text{ až } +70$ °C	REF-01H	$\Delta U_{OT} = \text{jmen. } 0,07; \leq 0,17$	%
$\vartheta_B = -55 \text{ až } +125$ °C	REF-01A	$\Delta U_{OT} = \text{jmen. } 0,06; \leq 0,15$	%
$\vartheta_B = -55 \text{ až } +125$ °C	REF-01	$\Delta U_{OT} = \text{jmen. } 0,18; \leq 0,45$	%
$\vartheta_B = 0 \text{ až } +70$ °C	REF-01CJ, CZ	$\Delta U_{OT} = \text{jmen. } 0,14; \leq 0,45$	%
$\vartheta_B = -40 \text{ až } +85$ °C	REF-01CP, CS	$\Delta U_{OT} = \text{jmen. } 0,14; \leq 0,45$	%
Terlotní součinitel výstupního napětí $2$			
REF-01A, REF-01S	TKU <sub>OT</sub>	= jmen. 3; $\leq 8,5$	ppm/K
REF-01	TKU <sub>OT</sub>	= jmen. 10; $\leq 25$	ppm/K
REF-01C	TKU <sub>OT</sub>	= jmen. 20; $\leq 65$	ppm/K
Změna terlotního součinitela výstupního napětí s nestavením výstupu			
$R_p = 10 \text{ k}\Omega$		= jmen. 0,7	ppm/%
Změna výstupního napětí se změnou vstupního napětí			
$U_I = 13 \text{ až } 33$ V			
$\vartheta_B = 0 \text{ až } +70$ °C	REF-01E, H	$\Delta U_{OI} = \text{jmen. } 0,007; \leq 0,012$ %/V	
$\vartheta_B = -55 \text{ až } +125$ °C	REF-01A	$\Delta U_{OI} = \text{jmen. } 0,009; \leq 0,015$ %/V	
$U_I = 13 \text{ až } 30$ V			
$\vartheta_B = 0 \text{ až } +70$ °C	REF-01CJ, CZ	$\Delta U_{OI} = \text{jmen. } 0,011; \leq 0,018$ %/V	
$\vartheta_B = -40 \text{ až } +85$ °C	REF-01CJ, CZ	$\Delta U_{OI} = \text{jmen. } 0,011; \leq 0,018$ %/V	
Změna výstupního napětí se změnou zatěžovacího proudu			
$I_L = 0 \text{ až } 8 \text{ mA}$			
$\vartheta_B = 0 \text{ až } +70$ °C	REF-01E	$\Delta U_{OL} = \text{jmen. } 0,006; \leq 0,010$ %/mA	
REF-01H			
$\vartheta_B = -55 \text{ až } +125$ °C	REF-01A	$\Delta U_{OL} = \text{jmen. } 0,007; \leq 0,012$ %/mA	
REF-01			
$I_L = 0 \text{ až } 5 \text{ mA}$			
$\vartheta_B = 0 \text{ až } +70$ °C	REF-01CJ, CZ	$\Delta U_{OL} = \text{jmen. } 0,008; \leq 0,018$ %/mA	
$\vartheta_B = -40 \text{ až } +85$ °C	REF-01CP, CS	$\Delta U_{OL} = \text{jmen. } 0,008; \leq 0,018$ %/mA	

1.  $\Delta U_{OT}$  je definována jako absolutní rozdíl mezi maximálním a minimálním výstupním napětím v uvedeném rozsahu terloty okolí, vyjádřeno v procentech 10 V.

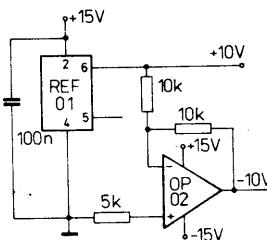
$$\Delta U_{OT} = \left| \frac{U_{max} - U_{min}}{10V} \right| \cdot 100$$

$\Delta U_{OT}$  může být definována s trimovaným výstupem na +10,000 V nebo výstupem netrimovaným.

2. TKU<sub>OT</sub> je definován jako  $\Delta U_{OT}$  děleno rozsahem terloty, např.

$$TKU_{OT} (0 \text{ až } 70 \text{ °C}) = \frac{\Delta U_{OT} (0 \text{ až } 70 \text{ °C})}{70 \text{ °C}}, \text{ poněk.}$$

$$TKU_{OT} (-55 \text{ až } +125 \text{ °C}) = \frac{\Delta U_{OT} (-55 \text{ až } +125 \text{ °C})}{180 \text{ °C}}$$

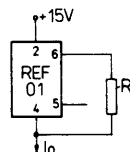


Obr. 95. Zdroj symetrického referenčního napětí  $\pm 10$  V s obvodem REF-01 a operačním zesilovačem

napájí napětím 18 V, proudová spotřeba je typicky 1,1 mA. Pro dosažení nejlepších vlastností zdroje (ale i všech dále popsaných zapojení) se doporučuje blokovat přívody napájecího napětí přímo na vývodech obvodu nebo na objímce terčovým keramickým kondenzátorem s kapacitou 100 nF. Potenciometrem 100 k $\Omega$  je možné přesně nastavit výstupní napětí na +10 000 V.

Na obr. 95 je zapojení zdroje symetrického referenčního napětí  $\pm 10$  V. Základní zapojení obvodu REF-01 je zde rozšířeno o operační zesilovač OP-02 (místo něj se může použít domácí výrobek MAA741), kterým se jednoduše zajišťuje výstupní záporné napětí 10 V. Kladné výstupní napětí 10 V dodává přímý výstup referenčního obvodu REF-01.

Integrovaný obvod REF-01 může pracovat též jako proudový zdroj v zapojení na obr. 96. Zemnicí vývod GND (vývod č. 4) není



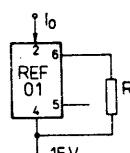
Obr. 96. Proudový zdroj s referenčním obvodem REF-01

uzemněn, ale slouží jako výstup proudového zdroje. Výstupní proud je dán vztahem

$$I_O = \frac{10 \text{ V}}{R} + 1 \text{ mA}.$$

Zapojení se napájí kladným napětím 15 V. Napěťová pružnost výstupu je v rozsahu od -25 do +3 V.

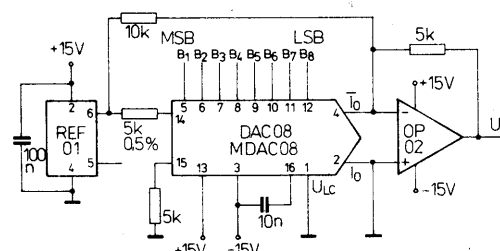
Mírně pozměněné zapojení podle obr. 97 slouží jako obvod odebírající proud. Napáje-



Obr. 97. Obvod REF-01 v zapojení, které odebírá proud. Napěťová pružnost výstupu od -3 V do +25 V

cí napětí záporné -15 V se přivádí na vývod 4, vývod 2 se používá jako proudový výstup (jinak slouží jako přívod napájecího napětí). Výstupní proud zapojení je dán vztahem jako v předchozím případě. Napěťová pružnost výstupu je v rozsahu od -3 V do +25 V.

Obr. 98. Zdroj referenčního napětí s obvodem REF-01 ve spojení s převodníkem DAC-08



Integrovaný obvod REF-01 v zapojení jako zdroj referenčního napětí pro nejčastěji používaný číslicově-analogový převodník 8 bit DAC-08 (nebo též TESLA MDAC08) je uvedeno na obr. 98. Referenční napětí 10 V se přivádí přes přesný rezistor 5000  $\Omega$  na vývod 14 převodníkového obvodu. K výstupu (vývody 2 a 4) převodníku je připojen operační zesilovač OP-02, na jehož výstupu se odebrá analogové výstupní napětí. Výstupní analogové napětí je dán funkční tabulkou převodníku (tab. 34).

Integrovaný obvod REF-01 se může použít jako zdroj referenčního napětí pro převodníkový obvod DAC-08, pracující jako analogově číslicový převodník ve spojení s postupným approximačním registrum AM2502 (nebo TESLA MH1502). K výstupu převodníkového obvodu je připojen komparátor CMP-01C, jehož výstup je spojen se vstupem registru. Návrh zapojení je na obr. 99.

Přesný proudový zdroj s výstupním napětím od 0 do +25 V, který má velmi výhodnou výstupní impedanci, je možné sestrojit se dvěma obvody REF-01 a operačním zesilovačem OP-02 v zapojení podle obr. 100. Integrovaný obvod IO-1 (REF-01) udržuje konstantní linkové napětí a ztrátový výkon obvodu IO-2. Jediným závažným nedostatkem tohoto zapojení při pokojové provozní teplotě je záporné potlačení vlivu napájecího zdroje OP-02. Typické potlačení vlivu napájecího zdroje OP-02 je uváděno asi 3  $\mu\text{V/V}$ , což se může projevit jako změna 8 ppm výstupního proudu v napěťovém rozsahu 25 V. Například proudový zdroj 10 mA má při odporu rezistoru 1 k $\Omega$  výstupní impedanci 300 M $\Omega$ . Výstupní odpor je dán vztahem

$$R_O = \frac{25}{8 \cdot 10^{-6} \cdot 10 \text{ mA}}.$$

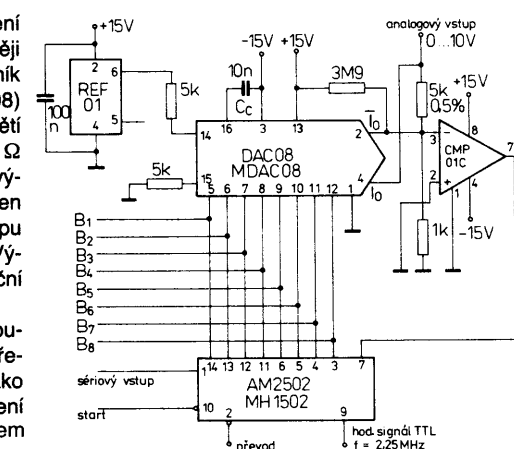
Výstupní proud zdroje ovlivňuje rezistor R. Jeho odporem se může přesně nastavit výstupní proud podle vztahu

$$I_O = 10 \text{ V} / R.$$

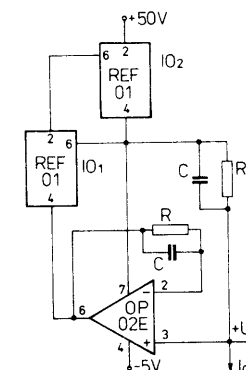
Použité součástky členu RC mají mít časovou konstantu  $10^{-5}$  s. Nevhodou popsaného zapojení je poměrně velké potřebné napájecí napětí (asi +50 V).

Tři referenční obvody REF-01 se mohou použít v zapojení podle obr. 101 jako univerzální zdroj tří referenčních napětí (10, 20 a 30 V).

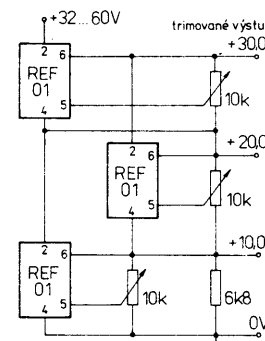
(Dokončení v příštém čísle)



Obr. 99. Zdroj referenčního napětí s obvodem REF-01 ve spojení s analogově číslicovým převodníkem



Obr. 100. Přesný proudový zdroj se dvěma obvody REF-01 s výstupním napětím od 0 do +25 V



Obr. 101. Tři obvody REF-01 vytvoří zdroj tří přesných referenčních napětí 10, 20, 30 V

Tab. 34. Funkční tabulka převodníku D/A podle zapojení na obr. 98

	B <sub>1</sub>	B <sub>2</sub>	B <sub>3</sub>	B <sub>4</sub>	B <sub>5</sub>	B <sub>6</sub>	B <sub>7</sub>	B <sub>8</sub>	U <sub>0</sub>
Kladná plná stupnice									
-1 LSB	1	1	1	1	1	1	1	1	+4,960
Nula na stupni	1	0	0	0	0	0	0	0	0,000
Záporná plná stupnice +1 LSB	0	0	0	0	0	0	0	1	-4,960
Záporná plná stupnice	0	0	0	0	0	0	0	0	-5,000

Tah. 35 . Elektrické údaje přesného zdroje referenčního napětí +10 V řady REF-01 výrobce Linear Technology Inc.

Mezní údaje		
Napájecí napětí		
REF-01, REF-01A, REF-01B, REF-01H	$U_I \leq +40$	V
REF-01C	$U_I \leq +30$	V
Ztrátový výkon celkový	$P_{tot} \leq 500$	mW
Doba trvání zkratu výstupu proti zemi		
při $U_I \leq 16$ V	$t_K$ není definována	
při $U_I > 16$ V	$t_K$ není definována	
Rozsah pracovní teploty okolí		
REF-01, REF-01A	$\vartheta_a = -55 \text{ až } +125$	°C
REF-01E, REF-01H, REF-01C, REF-01D	$\vartheta_a = 0 \text{ až } +70$	°C
Rozsah skladovací teploty	$\vartheta_{stg} = -65 \text{ až } +150$	°C
Charakteristické údaje		
Platí při $U_I = +15$ V, $\vartheta_a = 25$ °C, není-li uvedeno jinak.		
Výstupní napětí		
$I_L = 0$		
REF-01AH, REF-01EH, EJ8, EN8	$U_O = \text{jmen. } 10; 9,97 \text{ až } 10,03$	V
REF-01H, REF-01HH, HJ8, HN8	$U_O = \text{jmen. } 10; 9,95 \text{ až } 10,05$	V
REF-01CH, RSF-01CJ8, CN8	$U_O = \text{jmen. } 10; 9,90 \text{ až } 10,10$	V
Rozsah nastavení výstupního napětí		
$R_P = 10 \text{ k}\Omega$		
REF-01AH, EH, EJ8, EN8	$\Delta U_O = \text{jmen. } +5, -27; \pm \pm 3$	%
REF-01H, HH, HJ8, HN8	$\Delta U_O = \text{jmen. } +5, -27; \pm \pm 3$	%
REF-01CH, CJ8, CN8	$\Delta U_O = \text{jmen. } +5, -27$	%
Výstupní napětí šumové, mezivrcholové		
$f = 0,1 \text{ až } 10 \text{ Hz}$	$U_{ON} = \text{jmen. } 20$	µV
REF-01CH, CJ8, CN8	$U_{ON} = \text{jmen. } 30$	µV
Rozsah výstupního napětí		
mimo REF-01CH, CJ8, CN8	$U_I = 12 \text{ až } 40$	V
Změna výstupního napětí při změně výstupního napětí 1		
( $U_O + 3$ V) až 33 V	$\Delta U_O = \text{jmen. } 0,0001; \leq 0,008$	%/V
REF-01CH, CJ8, CN8	$\Delta U_O = \text{jmen. } 0,0001; \leq 0,015$	%/V
Změna výstupního napětí při změně zátěžovacího proudu		
$I_L = 0 \text{ až } 10 \text{ mA}$		
REF-01AH, EH, EJ8, EN8	$\Delta U_O = \text{jmen. } 0,0005; \leq 0,008$	%/mA
REF-01H, HH, HJ8, HN8	$\Delta U_O = \text{jmen. } 0,0005; \leq 0,010$	%/mA
$I_L = 0 \text{ až } 8 \text{ mA}$		
REF-01CH, CJ8, CN8	$\Delta U_O = \text{jmen. } 0,0005; \leq 0,015$	%/mA
Napájecí proud v klidu		
bez zátěže	$I_{CC0} = \text{jmen. } 0,65; \leq 1,4$	mA
Výstupní proud	$I_O = \text{jmen. } 20; \geq 10$	mA
REF-01CH, CJ8, CN8	$I_O = \text{jmen. } 20; \geq 8$	mA
Výstupní proud zkratočinný		
$U_O = 0$	$I_{OK} = \text{jmen. } 25$	mA
Tepelné výstupní napětí 2	$U_{OT} = \text{jmen. } 620$	mV
Platí při $U_I = +15$ V, $I_L = 0$ , není-li uvedeno jinak.		
$\vartheta_a = -55 \text{ až } +125$ °C: REF-01AH, REF-01H		
$\vartheta_a = 0 \text{ až } +70$ °C: REF-01EH, EJ8, EN8, REF-01H, HJ8, HN8		
Změna výstupního napětí se změnou teploty 3, 4		
$\vartheta_a = 0 \text{ až } +70$ °C REF-01A, E	$\Delta U_O = \text{jmen. } 0,02; \leq 0,06$	%
$\vartheta_a = 0 \text{ až } +70$ °C REF-01C, H	$\Delta U_O = \text{jmen. } 0,035; \leq 0,17$	%
$\vartheta_a = -55 \text{ až } +125$ °C REF-01A, E	$\Delta U_O = \text{jmen. } 0,09; \leq 0,15$	%
$\vartheta_a = -55 \text{ až } +125$ °C REF-01C, H	$\Delta U_O = \text{jmen. } 0,144; \leq 0,45$	%
$\vartheta_a = 0 \text{ až } +70$ °C REF-01C	$\Delta U_O = \text{jmen. } 0,45$	%
Tepelný součinitel výstupního napětí 5		
REF-01A, E	$TKU_O = \text{jmen. } 5; \leq 8,5$	ppm/K
REF-01C, H	$TKU_O = \text{jmen. } 8; \leq 25$	ppm/K
REF-01C	$TKU_O = \text{jmen. } 8; \leq 65$	ppm/K
Změna tepelného součinitele výstupního napětí s nastavením výstupu		
$R_P = 10 \text{ k}\Omega$	$\Delta TKU_O = \text{jmen. } 0,5$	ppm/%

Změna výstupního napětí se změnou výstupního napětí 1

$$U_I = 8 \text{ až } 33 \text{ V}$$

$$\vartheta_a = 0 \text{ až } +70$$
 °C REF-01E, H

$$\vartheta_a = 0 \text{ až } +70$$
 °C REF-01C

$$\vartheta_a = -55 \text{ až } +125$$
 °C REF-01C, A

Změna výstupního napětí se změnou zátěžovacího proudu 1

$$I_L = 0 \text{ až } 8 \text{ mA}$$

$$\vartheta_a = 0 \text{ až } +70$$
 °C REF-01E,

$$\vartheta_a = 0 \text{ až } +70$$
 °C REF-01H

$$\vartheta_a = -55 \text{ až } +125$$
 °C REF-01C

$$\vartheta_a = -55 \text{ až } +125$$
 °C REF-01A

$$\vartheta_a = -55 \text{ až } +125$$
 °C REF-01A

$$\vartheta_a = -55 \text{ až } +125$$
 °C REF-01C

$$\vartheta_a = 0 \text{ až } +70$$
 °C REF-01C

$$\vartheta_a = 0 \text{ až } +70$$
 °C REF-01C

Změna výstupního napětí se změnou výstupního napětí a změnou zátěžovacího proudu je definována včetně jevu samovolného ohřívání.

2. Průtok do a z vývodu 3 je omezen na 50 nA, kapacita tohoto vývodu na 30 pF.

3.  $\Delta U_{OT}$  je definována jako absolutní rozdíl mezi maximálním a minimálním výstupním napětím v celém specifikovaném teplotním rozsahu a je vyjádřena v procentech nominálního výstupního napětí podle vztahu

$$\Delta U_{OT} = \left| \frac{U_{max} - U_{min}}{U_0} \right| \cdot 100$$

4.  $\Delta U_{OT}$  je definována s trimovaným nebo netrimovaným výstupem.

5. Teplotní součinitel  $TKU_O$  je definován jako  $\Delta U_O$ , díleno specifikovaným teplotním rozsahem, např.

$$TKU_O = \left| \frac{U_O}{(\vartheta_{max} - \vartheta_{min})} \right|$$

6. Šum v kmotrovém rozsahu 0,1 až 10 Hz nelze stoprocentně v všech součástek mít moderními velmi rychlými měřicími zařízeními. Proto výrobce Linear Technology nezaručuje uváděný mezní údaj u standardních součástek. Stoprocentní měření šumu v rozsahu 0,1 až 10 Hz provádí proto jen na speciální požadavce zákazníka. K zeraření malého šumu u všech prodávaných součástek měří LT stoprocentně šum v rozsahu od 10 Hz do 1 kHz.

Tah. 36 . Elektrické údaje přesného zdroje referenčního napětí +10 V ŘEF-01 firmy Raytheon

Mezní údaje		
Napájecí napětí		
REF-01, REF-01A, E, H	$U_I \leq 40$	V
REF-01C, D	$U_I \leq 30$	V
Vnitřní ztrátový výkon	$P \leq 300$	mW
Rozsah pracovní teploty okolí		
REF-01, REF-01A	$\vartheta_a = -55 \text{ až } +125$	°C
REF-01B, H, C, D	$\vartheta_a = 0 \text{ až } +70$	°C
Teplota přechodu		
REF-01, v pouzdru D, T	$\vartheta_j \leq 175$	°C
REF-01, v pouzdru N	$\vartheta_j \leq 125$	°C
Rozsah skladovací teploty		
$\vartheta_{stg} = -65 \text{ až } +150$		°C
Teplota výrobní při nájení		
$t \leq 60$ s	$\vartheta_L \leq +300$	°C
Ztrátový výkon, $\vartheta_a \leq 50$ °C		
součástky v pouzdru D	$P_{tot} \leq 833$	mW
součástky v pouzdru I	$P_{tot} \leq 658$	mW
součástky v pouzdru N	$P_{tot} \leq 468$	mW
Teplotní odpor přechod-okolí		
součástky v pouzdru D	$R_{thje} \leq 150$	K/W
součástky v pouzdru T	$R_{thje} \leq 190$	K/W
součástky v pouzdru N	$R_{thje} \leq 160$	K/W
Teplotní odpor přechod-pouzdro		
součástky v pouzdru D	$R_{thje} \leq 45$	K/W
součástky v pouzdru T	$R_{thje} \leq 50$	K/W
Charakteristické údaje		
Platí při $U_I = +15$ V, $\vartheta_a = 25$ °C, není-li uvedeno jinak.		
Výstupní napětí bez zátěže		
$I_L = 0 \text{ mA}$		
REF-01, REF-01H	$U_O = \text{jmen. } 10; 9,95 \text{ až } 10,05$	V

REF-01A, REF-01E	$U_O = \text{jmen. } 10; \pm 9,97 \text{ až } 10,03$	V	Výstavní proud zkratový	$I_{OK} = \text{jmen. } 30$	mA
REF-01C	$U_O = \text{jmen. } 10; \pm 9,99 \text{ až } 10,10$	V			
REF-01D	$U_O = \text{jmen. } 10; \pm 9,85 \text{ až } 10,15$	V			
Rozsah nastavení výstavního napětí					
$R_P = 10 \text{ k}\Omega$	$\Delta U_{TR} = \text{jmen. } \pm 3,3; \pm \pm 3,0$	%			
REF-01, A, E, H	$\Delta U_{TR} = \text{jmen. } \pm 3,3; \pm \pm 2,7$	%			
REF-01C	$\Delta U_{TR} = \text{jmen. } \pm 3,3; \pm \pm 2,0$	%			
Výstavní životní napětí, mezi vrcholové					
$f = 0,1 \text{ až } 10 \text{ Hz}$	$U_{ON M/M} = \text{jmen. } 20; \pm 30$	A <sup>v</sup>			
REF-01, A, E, H	$U_{ON M/M} = \text{jmen. } 25; \pm 35$	A <sup>v</sup>			
REF-01C	$U_{ON M/M} = \text{jmen. } 25$	A <sup>v</sup>			
REF-01D	$U_{ON M/M} = \text{jmen. } 25$	A <sup>v</sup>			
Vstupní napájecí napětí					
REF-01, A, E, H	$U_I = 12 \text{ až } 40$	V			
REF-01C, D	$U_I = 12 \text{ až } 40$	V			
Změna výstavního napětí se změnou vstupního napětí					
$U_I = 13 \text{ až } 33 \text{ V}$	$\Delta U_{OI} = \text{jmen. } 0,006; \pm 0,01$	%/V			
REF-01, A, E, H	$\Delta U_{OI} = \text{jmen. } 0,009; \pm 0,015$	%/V			
REF-01C	$\Delta U_{OI} = \text{jmen. } 0,012; \pm 0,04$	%/V			
Změna výstavního napětí se změnou zatížovacího proudu					
$I_L = 0 \text{ až } 10 \text{ mA}$ :	$\Delta U_{OL} = \text{jmen. } 0,006; \pm 0,010$	%/mA			
REF-01, REF-01H	$\Delta U_{OL} = \text{jmen. } 0,005; \pm 0,008$	%/mA			
REF-01A, REF-01E	$\Delta U_{OL} = \text{jmen. } 0,006; \pm 0,015$	%/mA			
$I_L = 0 \text{ až } 8 \text{ mA}$ :	$\Delta U_{OL} = \text{jmen. } 0,006; \pm 0,015$	%/mA			
REF-01C	$\Delta U_{OL} = \text{jmen. } 0,006; \pm 0,015$	%/mA			
$I_L = 0 \text{ až } 4 \text{ mA}$ :	$\Delta U_{OL} = \text{jmen. } 0,006; \pm 0,015$	%/mA			
REF-01C	$\Delta U_{OL} = \text{jmen. } 0,009; \pm 0,04$	%/mA			
REF-01D	$t_{ON} = \text{jmen. } 5$	s			
na $\pm 0,1\%$ konečné hodnoty					
Napájecí proud v klidu bez zátěže					
REF-01, REF-01A, E, H	$I_{CC0} = \text{jmen. } 1,0; \pm 1,4$	mA			
REF-01C	$I_{CC0} = \text{jmen. } 1,0; \pm 1,6$	mA			
REF-01D	$I_{CC0} = \text{jmen. } 1,0; \pm 2,0$	mA			
Zatížovací proud					
REF-01, REF-01A, E, H	$I_L = \text{jmen. } 21; \pm 10$	mA			
REF-01C, D	$I_L = \text{jmen. } 21; \pm 8$	mA			
Zatížovací proud do zdroje					
REF-01, REF-01A, E, H	$-I_S = \text{jmen. } 0,5; \pm 0,3$	mA			
REF-01C, D	$-I_S = \text{jmen. } 0,5; \pm 0,2$	mA			
Platí při $U_I = +15 \text{ V}$ , není-li uvedeno jinak.					
Změna výstavního napětí se změnou terloty					
$\vartheta_a = -55 \text{ až } +125^\circ\text{C}$ :	$\Delta U_0/\vartheta_a = \text{jmen. } 0,18; \pm 0,45$	%			
REF-01	$\Delta U_0/\vartheta_a = \text{jmen. } 0,06; \pm 0,15$	%			
$\vartheta_a = 0 \text{ až } +70^\circ\text{C}$ :	$\Delta U_0/\vartheta_a = \text{jmen. } 0,02; \pm 0,06$	%			
REF-01E	$\Delta U_0/\vartheta_a = \text{jmen. } 0,07; \pm 0,17$	%			
REF-01H	$\Delta U_0/\vartheta_a = \text{jmen. } 0,14; \pm 0,45$	%			
REF-01C	$\Delta U_0/\vartheta_a = \text{jmen. } 0,49; \pm 1,7$	%			
Tepelný součinitel výstavního napětí v celém povoleném tepelném rozsahu					
REF-01	$TKU_0 = \text{jmen. } 10; \pm 25$	ppm/K			
REF-01A	$TKU_0 = \text{jmen. } 3; \pm 8,5$	ppm/K			
REF-01E	$TKU_0 = \text{jmen. } 3; \pm 8,5$	ppm/K			
REF-01H	$TKU_0 = \text{jmen. } 10; \pm 25$	ppm/K			
REF-01C	$TKU_0 = \text{jmen. } 20; \pm 65$	ppm/K			
REF-01D	$TKU_0 = \text{jmen. } 70; \pm 250$	ppm/K			
Změna teplotního součinitele výstupního napětí s nastavením výstupu					
$R_P = 10 \text{ k}\Omega$	$= \text{jmen. } 0,7$	ppm/K			
Změna výstavního napětí se změnou vstupního napětí					
$U_I = 13 \text{ až } 33 \text{ V}, \vartheta_a = -55 \text{ až } +125^\circ\text{C}$ :	$\Delta U_{OI} = \text{jmen. } 0,009; \pm 0,015$	%/V			
REF-01, REF-01A	$\Delta U_{OI} = \text{jmen. } 0,007; \pm 0,012$	%/V			
REF-01E, REF-01H	$\Delta U_{OI} = \text{jmen. } 0,012; \pm 0,018$	%/V			
REF-01C	$\Delta U_{OI} = \text{jmen. } 0,011; \pm 0,018$	%/V			
REF-01D	$\Delta U_{OI} = \text{jmen. } 0,02; \pm 0,025$	%/V			
Změna výstavního napětí se změnou zatížovacího proudu					
$I_L = 0 \text{ až } 3 \text{ mA}, \vartheta_a = -55 \text{ až } +125^\circ\text{C}$ :	$\Delta U_{OL} = \text{jmen. } 0,007; \pm 0,012$	%/mA			
REF-01, REF-01A	$\Delta U_{OL} = \text{jmen. } 0,006; \pm 0,01$	%/mA			
$I_L = 0 \text{ až } 8 \text{ mA}, \vartheta_a = 0 \text{ až } +70^\circ\text{C}$ :	$\Delta U_{OL} = \text{jmen. } 0,007; \pm 0,012$	%/mA			
REF-01S	$\Delta U_{OL} = \text{jmen. } 0,006; \pm 0,01$	%/mA			
REF-01H	$\Delta U_{OL} = \text{jmen. } 0,007; \pm 0,012$	%/mA			
$I_L = 0 \text{ až } 5 \text{ mA}, \vartheta_a = 0 \text{ až } +70^\circ\text{C}$ :	$\Delta U_{OL} = \text{jmen. } 0,006; \pm 0,018$	%/mA			
REF-01C	$\Delta U_{OL} = \text{jmen. } 0,02; \pm 0,025$	%/mA			
REF-01D	$\Delta U_{OL} = \text{jmen. } 0,02; \pm 0,025$	%/mA			

Dalším, ostře sledovaným parametrem, bylo v SDC chvění, vibrace. Tolerovaná úroveň vibrací je v „čistých“ místnostech fotolitografického oddělení velice malá, 125 mikropalců za sekundu (1 palec = 25,4 mm, 1 mikropalec = 10<sup>-6</sup> palce), protože jakékoli sebepatrnejší vibrace mohou způsobit problémy. Jen pro srovnání. Pro nemocniční operační sály se vyžaduje maximální chvění asi 4, pro běžné kancelářské budovy asi 16 milipalců za sekundu.

Ještě jeden údaj je pro SDC charakteristický, a to požadavek na elektrický příkon SDC využívá až 86 MW elektrického příkonu, což odpovídá (v USA) spotřebě města s asi 10 000 obyvateli.

Jakost všech materiálů pro výrobu se velmi pečlivě sleduje a navíc se materiály upravují tak, aby se zabránilo vytváření elektrostatického náboje na jejich povrchu.

Aby se všechny investice co nejlépe zhodnotily, pracuje SDC 24 hodin denně po sedm dnů v týdnu.

#### Stručná souhrnná fakta

Rozměry SDC: 35 000 čtverečních stop „čistých“ prostor (1 čtverečná

stopa, sq. ft = 0,093 m<sup>2</sup>, tj. asi 3235 m<sup>2</sup>).

**Hmotnost:** Ke stavbě bylo použito asi 100 milionů liber betonu (tj. asi 45 tisíc tun); hmotnost betonu se tedy blíží váze moderní letadlové lodi.

**Výrobní kapacita:** 3000 šestipalcových plátek, popř. 2000 osmipalcových.

**Cistota:** Třída 1 v 0,1 mikronové úrovni.

**Náklady:** Větší než 250 milionů dolarů k datu uvedené do provozu.

Firma MACRO GROUP UK je autorizovaný distributor firmy AMD, všechny součástky dodává přímo od výrobce, zajišťuje speciální zacházení s nimi a tím 100% kvalitu dodávky.

Detailní informace o všech součástkách firmy Advanced Micro Devices i těch nejmodernějších (včetně prodeje) můžete obdržet u obchodních zastoupení na těchto adresách:

**MACRO WEIL**, spol. s r.o., Bechyňova 3, 160 00 Praha 6, fax/tel. (02) 311 34 54, tel. (02) 311 21 82

**MACRO Components**, spol. s r.o., Vysokoskolákov 6, 010 01 Žilina, fax 89 341 09, tel. 89 341 81.

Inzerci přijímá osobně a poštou Vydavatelství Magnet-Press inzerční oddělení (inzerce ARB), Vladislavova 26, 113 66 Praha 1, tel. 26 06 51-9 linka 342, fax 23 62 439 nebo 23 53 271. Uzávěrka tohoto čísla byla 2. 12. 1992, do kdy jsme museli obdržet úhradu na inzerát. Cena za první řádku činí 44 Kčs a za každou další (i započítanou) 22 Kčs. Platba za plošnou inzerci se řídí velikostí inzerátu. Za 1 cm<sup>2</sup> plochy je cena stanovena na 18 Kčs. Text pište čitelně, aby se předešlo chybám vznikajícím z nečitelnosti předloh.

#### PRODEJ

Prodám úplný překlad technického popisu a uživatelské příručky k polskopu X1-42, 80 stran strojopisu za 250 Kčs. Z. Poštulka, Ke koupališti 262, 789 83 Loštice, tel. (0648) 522 55.

Prodám magnetický polarizér s ozářovacím pro kruh. i offset. parabolou asi 60 mA (4 V) za 485 Kčs. J. Starosta, Stínadla 1064, 584 01 Ledeč n. S., tel. (0452) 26 18.

## INZERCE